

Fysisk størrelse: Målbar (som regel!) størrelse for fysisk fenomen.

Eks: Lengde,  $l = 17.3 \text{ km}$

symbol      māttall      enhet, inkl. dekadisk prefiks (k)

Vanlig notasjon:  $[l] = \text{m}$

"enheten til lengde er meter"

SI - enheter:

Grunnenheter (7 stk):

Navn	Symbol (f.eks.)	Enhet	
lengde	$l, s, \dots$	$\text{m}$	De viktige i Mekfys.
masse	$m, M, \dots$	$\text{kg}$	
tid	$t, \dots$	$\text{s}$	
elektrisk strømstyrke	$I$	$\text{A}$	(ELMag)
temperatur	$T$	$\text{K}$	(Termisk)
stoff mengde	$n$	$\text{mol}$	(Kjemi, Mekfys...)
Lysstyrke	$I$	$\text{cd}$	(Sjeldent!)

Sammensatte enheter:

hastighet (fart)	$v$	$\text{m/s} = \text{m} \cdot \text{s}^{-1}$
akselerasjon	$a$	$\text{m/s}^2 = \text{m} \cdot \text{s}^{-2}$
kraft	$F$	$\text{kg m/s}^2 \stackrel{\text{def}}{=} N$
trykk	$p$	$\text{N/m}^2 \stackrel{\text{def}}{=} \text{Pa}$
energi	$W, E, \dots$	$\text{Nm} \stackrel{\text{def}}{=} J$

$\text{m/s} = \text{m} \cdot \text{s}^{-1}$   
 $\text{m/s}^2 = \text{m} \cdot \text{s}^{-2}$   
 $\text{kg m/s}^2 \stackrel{\text{def}}{=} N$   
 $\text{N/m}^2 \stackrel{\text{def}}{=} \text{Pa}$   
 $\text{Nm} \stackrel{\text{def}}{=} J$

= av-  
ledete  
enheter

## Dekadiske prefikser:

(3)

Navn	Symbol	Tallfaktor
femto	f	$10^{-15}$
piko	p	$10^{-12}$
nano	n	$10^{-9}$
mikro	$\mu$	$10^{-6}$
milli	m	$10^{-3}$
centi	c	$10^{-2}$
desi	d	$10^{-1}$
kilo	k	$10^3$
mega	M	$10^6$
giga	G	$10^9$
tera	T	$10^{12}$
peta	P	$10^{15}$

Omregning til og fra SI-enheter; eksempler:

- Hvor fort er  $10 \text{ m/s}$  angitt i  $\text{km/h}$ ? ( $1\text{h} = 1\text{time}$ )
 
$$10 \text{ m/s} = 10 \cdot \underbrace{\left(10^{-3} \text{ km/m}\right)}_{=1} \cdot \underbrace{\left(3600 \text{ s/h}\right)}_{=1} \text{ m/s} = 36 \text{ km/h}$$
- Hva er energimengden  $1 \text{ kWh}$  (evt  $1 \text{ kWt}$ ) i SI-enheter?
 
$$1\text{W} = 1 \frac{\text{J}}{\text{s}} \text{ (effekt; energi pr tidsenhet)}$$

$$1\text{kWt} = 1 \cdot 1000 \frac{\text{J}}{\text{s}} \cdot 3600 \text{ s} = 3.6 \cdot 10^6 \text{ J} = 3.6 \text{ MJ}$$

(4)

## Kinematikk [YF 2 og 3, LL 1]

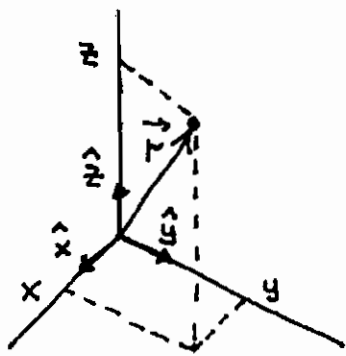
= beskrivelsen av bevegelse

[Senere: Dynamikk - Hva forårsaker bevegelsen? Krefter, Newtons lover.]

Ser først på punktpartikler; kan betraktes som modell / tilnærming for virkelige legemer.

[Senere: Stive legemers dynamikk. Rotasjon etc.]

### Posisjon:



$$\vec{r}(t) = x(t)\hat{x} + y(t)\hat{y} + z(t)\hat{z}$$

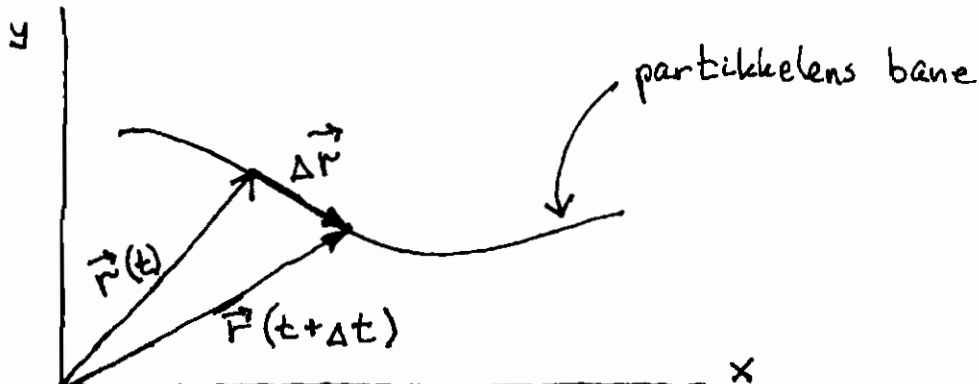
= posisjon angitt i fast (dvs: tids-uavhengig) kartesisk koordinatsystem (høyrehendt)

$\hat{x}, \hat{y}, \hat{z}$  = enhetsvektorer i hhv (positiv) x; y; z-retning  
 $|\hat{x}| = |\hat{y}| = |\hat{z}| = 1$ ;  $[\hat{x}] = [\hat{y}] = [\hat{z}] = 1$  (dvs dimensjonsløs)

Alternativ notasjon:

$$\hat{x} = \hat{i} = \vec{e}_x = \vec{u}_x ; \quad \hat{y} = \hat{j} = \dots ; \quad \hat{z} = \hat{k} = \dots$$

Bevegelse i (f.eks) xy-planet [enklere å tegne i 2D enn 3D]:

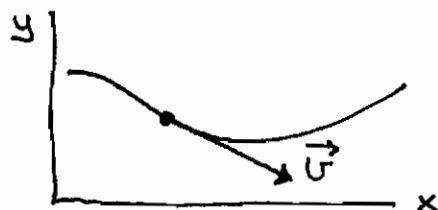


(5)

Hastighet = forflytning pr tidsenhet:

$$\vec{v}(t) = \lim_{\Delta t \rightarrow 0} \frac{\vec{r}(t + \Delta t) - \vec{r}(t)}{\Delta t} = \lim_{\Delta t \rightarrow 0} \frac{\Delta \vec{r}}{\Delta t} = \frac{d\vec{r}}{dt} = \dot{\vec{r}}$$

(Vanlig notasjon:  $\frac{d}{dt}(\dots) = (\dots)$ ,  $\frac{d^2}{dt^2}(\dots) = (\dots)$  etc)



$\vec{v}$  er rettet  
tangentelt til banen

Akselerasjon = hastighetsendring pr tidsenhet:

$$\vec{a}(t) = \lim_{\Delta t \rightarrow 0} \frac{\Delta \vec{v}}{\Delta t} = \frac{d\vec{v}}{dt} = \ddot{\vec{v}} = \frac{d}{dt}\left(\frac{d\vec{r}}{dt}\right) = \frac{d^2\vec{r}}{dt^2} = \ddot{\vec{r}}$$

På komponentform (her: kartesiske komponenter):

$$\vec{v} = v_x \hat{x} + v_y \hat{y} + v_z \hat{z}$$

$$|| \qquad || \qquad || \qquad ||$$

$$\frac{d\vec{r}}{dt} = \frac{dx}{dt} \hat{x} + \frac{dy}{dt} \hat{y} + \frac{dz}{dt} \hat{z}$$

$$\text{Tilsvarende: } a_x = \frac{dv_x}{dt} = \frac{d^2x}{dt^2} = \ddot{x} \quad \text{etc.}$$

Vi finner altså  $\vec{a}$  og  $\vec{v}$  fra hvr  $\vec{v}$  og  $\vec{r}$  ved derivasjon (mhp tida t).

Omvendt kan vi finne  $\vec{v}$  og  $\vec{r}$  fra hvr  $\vec{a}$  og  $\vec{v}$  ved integrasjon (mhp t).

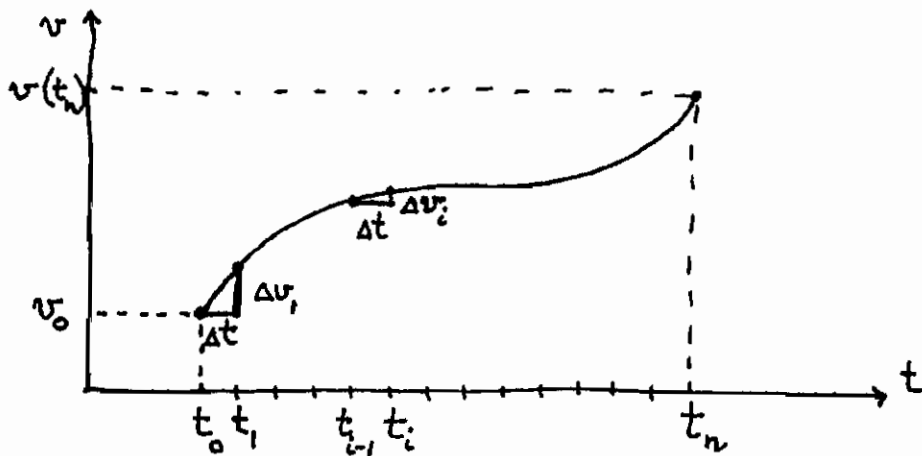
(6)

Ser for enkelhets skyld på 1D, dvs berøgelse

Langs rett linje, f.eks x-aksen:

$$a = \frac{\Delta v}{\Delta t} \Rightarrow \Delta v = a \cdot \Delta t$$

Anta  $v = v_0$  ved  $t = t_0$ :



$$\Rightarrow v(t_n) = v_0 + \Delta v_1 + \dots + \Delta v_i + \dots + \Delta v_n$$

$$= v_0 + \sum_{i=1}^n \Delta v_i$$

$$\approx v_0 + \sum_{i=1}^n a_i \cdot \Delta t$$

Når vi nå lar  $\Delta t \rightarrow 0$ , vil  $\sum \rightarrow \int$  og  $\Delta t \rightarrow dt$

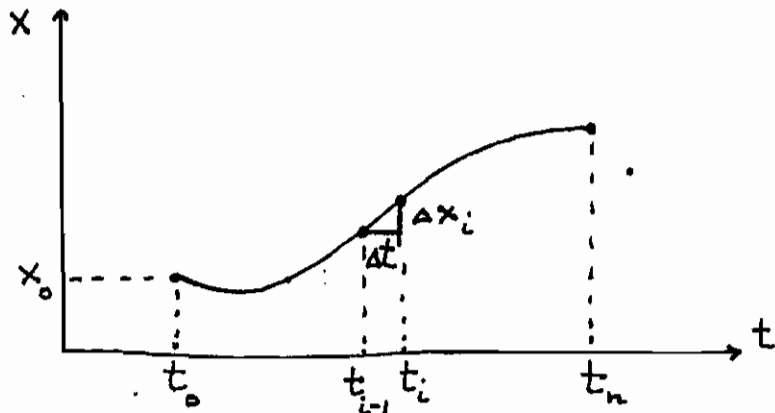
$$\Rightarrow v(t_n) = v_0 + \int_{t_0}^{t_n} a(t) dt$$

$$\Rightarrow v(t_n) - v_0 = \int_{v(t_0)}^{v(t_n)} dv = \int_{t_0}^{t_n} a(t) dt$$

(7)

Tilsvarende:

$$v = \frac{\Delta x}{\Delta t} \Rightarrow \Delta x = v \cdot \Delta t$$

Anta  $x = x_0$  ved  $t = t_0$ :

$$\Rightarrow x(t_n) = x_0 + \Delta x_1 + \dots + \Delta x_n$$

$$= x_0 + \sum_{i=1}^n \Delta x_i$$

$$\approx x_0 + \sum_{i=1}^n v_i \cdot \Delta t$$

$$\xrightarrow{\Delta t \rightarrow 0} x_0 + \int_{t_0}^{t_n} v(t) dt$$

$$\Rightarrow x(t_n) - x_0 = \int_{x(t_0)}^{x(t_n)} dx = \int_{t_0}^{t_n} v(t) dt$$

Hit 31.08.11

Kinematikk (forts.)

Oppsummering fra sist, inkl. generalisering til 3D av integral-sammenhengene:

$$\vec{v} = \frac{d\vec{r}}{dt} = \dot{\vec{r}} \quad (v_x = \dot{x} \text{ etc.})$$

$$\vec{a} = \frac{d\vec{v}}{dt} = \frac{d^2\vec{r}}{dt^2} = \ddot{\vec{r}} \quad (a_x = \ddot{x} \text{ etc.})$$

$$\vec{r}(t) \quad \int d\vec{r} = \int_{t_0}^t \vec{v}(t) dt \quad \left( \begin{array}{l} x(t) \\ x(t_0) \end{array} \right) \quad \left( \int dx = \int_{t_0}^t v_x(t) dt \text{ etc.} \right)$$

$$\vec{v}(t) \quad \int d\vec{v} = \int_{t_0}^t \vec{a}(t) dt \quad \left( \begin{array}{l} v_x(t) \\ v_x(t_0) \end{array} \right) \quad \left( \int dv_x = \int_{t_0}^t a_x(t) dt \text{ etc.} \right)$$

Viktig spesialtilfelle:  $\vec{a} = \text{konstant}$

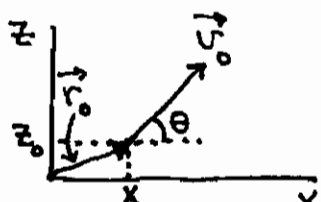
Anta  $\vec{r}(t_0) = \vec{r}_0$  og  $\vec{v}(t_0) = \vec{v}_0$  (gitte initialbetingelser)

Da er:  $\vec{v}(t) = \vec{v}_0 + \vec{a} \cdot (t - t_0)$

$$\vec{r}(t) = \vec{r}_0 + \vec{v}_0 \cdot (t - t_0) + \frac{1}{2} \vec{a} \cdot (t - t_0)^2$$

Eks: Kast i tyngdefeltet,  $\vec{a} = -g \hat{z}$ .

Ved  $t_0 = 0$ :



$$\Rightarrow x(t) = x_0 + v_0 t \cos \theta$$

$$z(t) = z_0 + v_0 t \sin \theta - \frac{1}{2} g t^2$$

Eliminasjon av  $t$  gir banen:

$$z(x) = z_0 + [x(t) - x_0] \tan \theta - \frac{g}{2} \frac{[x(t) - x_0]^2}{v_0^2 \cos^2 \theta}$$

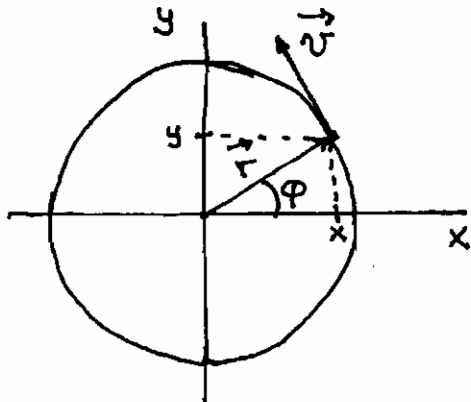
= PARABEL

(9)

Annet viktig spesialtilfelle:

Sirkelbevegelse [YF 3.4, LL 1.7, eks 1.6]

Anta først konstant  $v = |\vec{v}|$  (uniform sirkelbev.) og bevr. i xy-planet:



Ser fra figur:

$$x = r \cos \varphi$$

$$y = r \sin \varphi$$

$$\text{med } r = |\vec{r}| = \text{konst.}$$

Uunnværlig størrelse:

Vinkelhastighet ( $\equiv$  vinkelfrekvens) = vinkelendring pr tidsenhet

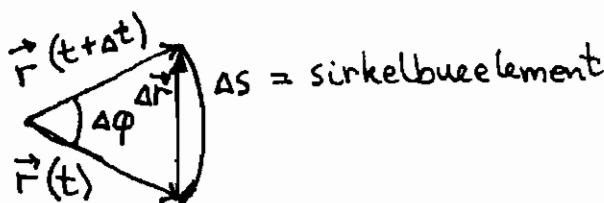
$$\omega = \lim_{\Delta t \rightarrow 0} \frac{\Delta \varphi}{\Delta t} = \frac{d\varphi}{dt} = \dot{\varphi}$$

$$[\omega] = \text{s}^{-1}$$

(eut. rad/s)

Vinkel = buelengde delt på radius:

$$\Delta \varphi = \frac{\Delta s}{r}$$



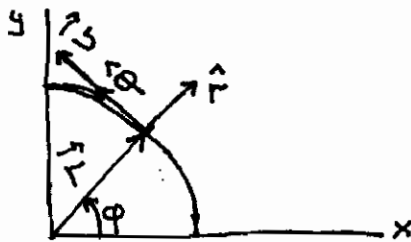
Når  $\Delta t \rightarrow 0$ , vil også  $\Delta \varphi \rightarrow 0$ ,  $\Delta \vec{r} \perp \vec{r}$ ,

$$\text{og } |\Delta \vec{r}| \approx \Delta s = r \Delta \varphi$$

$$\text{Derved: } \underline{v} = |\vec{v}| = \left| \lim_{\Delta t \rightarrow 0} \frac{\Delta \vec{r}}{\Delta t} \right| = \lim_{\Delta t \rightarrow 0} \frac{r \Delta \varphi}{\Delta t} = r \dot{\varphi} = \underline{r \omega}$$

Hva med  $\vec{v}$ , inkl. retningen?  $\Delta \vec{r}$  og  $\vec{v}$  har samme retning, og  $\Delta \vec{r} \perp \vec{r}$ . Altså er  $\vec{v}$  tangentiell til sirkelbanen:

(10)



$$\Rightarrow \vec{v} = r \omega \hat{\phi}$$

( $\hat{\phi}$  = enhetsvektor i "φ-retning", dvs retning som øker φ uten å endre r)

Når  $v$ , og dermed  $\omega$ , er konstant, øker φ lineært med t:

$$\omega = \frac{d\varphi}{dt} \Rightarrow d\varphi = \omega dt \xrightarrow[\substack{\text{ant a} \\ \varphi=0 \\ \text{ved} \\ t=0}]{} \varphi(t) = \omega t$$

Dermed:

$$\vec{r}(t) = x(t)\hat{x} + y(t)\hat{y} = r \cos \omega t \cdot \hat{x} + r \sin \omega t \cdot \hat{y}$$

Kartesiske komponenter av  $\vec{v}$ :

$$\dot{x}(t) = -r\omega \sin \omega t, \quad \dot{y}(t) = r\omega \cos \omega t$$

### Akselerasjon ved uniform sirkelbevegelse

$$\ddot{x}(t) = -r\omega^2 \cos \omega t = -\omega^2 x(t)$$

$$\ddot{y}(t) = -r\omega^2 \sin \omega t = -\omega^2 y(t)$$

$$\Rightarrow \vec{a}(t) = \ddot{x}(t)\hat{x} + \ddot{y}(t)\hat{y} = -\omega^2 [x(t)\hat{x} + y(t)\hat{y}] = -\omega^2 \vec{r}(t)$$

$\vec{a}(t) = -\omega^2 \vec{r}(t)$

Sentripetalaks,  
(retning inn mot sentrum)

$$\text{Da } v = \omega r : a = |\vec{a}| = \omega^2 r = v^2/r \quad (\text{mer kjent?}) \quad (11)$$

Kan også skrive:  $\vec{a} = -\omega^2 r \hat{r}(t) = -(v^2/r) \hat{r}(t)$

[Merk at  $\hat{r}$  og  $\hat{\phi}$  avhenger av stedet ( $x, y$ ) og dermed av tida  $t$ , i motsetning til  $\hat{x}$  og  $\hat{y}$  som ligger fast i et fast kartesisk koordinatsystem.]

Noen flere nyttefulle størrelser:

Vinkelakselerasjon:  $\alpha = \frac{d\omega}{dt} = \dot{\omega} = \ddot{\phi}$ ,  $[\alpha] = s^{-2}$

Periode:  $T = \text{tid pr omdreining}$ ,  $[T] = s$

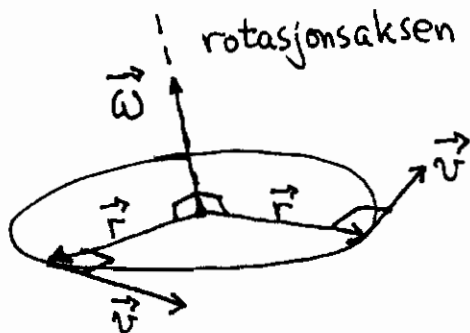
Frekvens:  $f = \text{antall omdreininger pr tidsenhet}$ ,  $[f] = Hz (= s^{-1})$

Dette gir diverse sammenhenger, f.eks:

$$v = \frac{2\pi r}{T} \Rightarrow T = \frac{2\pi r}{v} = \frac{2\pi}{\omega}$$

$$f = \frac{1}{T} = \frac{\omega}{2\pi}$$

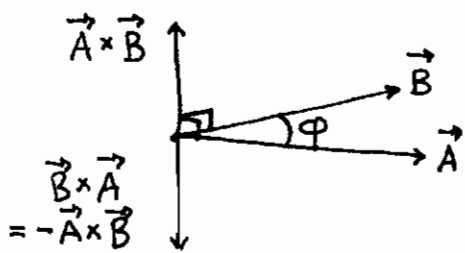
### Vinkelhastighet som vektor



Ved å la  $\vec{\omega}$  peke langs rotasjonsaksen kan vi skrive

$$\boxed{\vec{v} = \vec{\omega} \times \vec{r}}$$

## Kryssprodukt:



$$|\vec{A} \times \vec{B}| = A \cdot B \cdot \sin \varphi$$

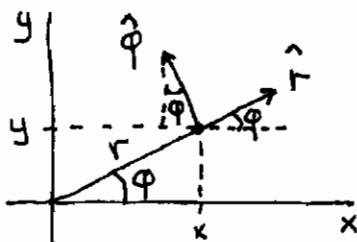
Retning med høyrehåndsregel.

For sirkelbevegelsen ser vi at  $\vec{\omega} \perp \vec{r}$  (og  $\vec{\omega} \perp \vec{v}$ )

$$\Rightarrow |\vec{\omega} \times \vec{r}| = \omega \cdot r \cdot \sin \frac{\pi}{2} = \omega r = v; \text{ OK!}$$

Hvis  $\vec{\omega}$  opp:  $\vec{\omega} \times \vec{r}$  tangentelt mot klokka } se fig. s 11  
 Hvis  $\vec{\omega}$  ned:  $\vec{\omega} \times \vec{r}$  med -- med --

Merk:  $\hat{x} \times \hat{y} = \hat{z}, \hat{y} \times \hat{z} = \hat{x}, \hat{z} \times \hat{x} = \hat{y}$   
 $\hat{x} \times \hat{x} = \hat{y} \times \hat{y} = \hat{z} \times \hat{z} = 0$

Litt (mer) om polarbevegelse:

Ser fra figur:  $x = r \cos \varphi, y = r \sin \varphi,$   
 $r = \sqrt{x^2 + y^2}, \tan \varphi = y/x$

Ser også:  $\dot{r} = \hat{x} \cos \varphi + \hat{y} \sin \varphi, \dot{\varphi} = -\hat{x} \sin \varphi + \hat{y} \cos \varphi$

[Øving 2: Trening med  $\hat{r}, \hat{\varphi}, \dot{\hat{r}}, \dot{\hat{\varphi}}$  når  $\varphi = \omega t$ , dvs sirkelbev.]

Merk:  $\hat{r} \cdot \hat{\varphi} = 0, \hat{r} \cdot \hat{r} = \hat{\varphi} \cdot \hat{\varphi} = 1,$   
 $\hat{r} \times \hat{\varphi} = \hat{z}, \hat{z} \times \hat{r} = \hat{\varphi} \quad \text{etc.}$

- Empiriske lover, dvs basert på eksperimenter
- For litt historikk, se YF 4-intro, LL1-Essay (Impetus)

Newton 1. lov (N1):  $\vec{F} = 0 \Rightarrow \vec{v} = \text{konst.}$

Når netto ytre kraft  $\vec{F}$  er null, forblir legemet i ro eller i rettlinjet bevegelse med vendret hastighet.

Newton 2. lov (N2):  $\vec{F} = m\vec{a}$

Når det virker en netto ytre kraft  $\vec{F}$  på et legeme, får legemet en akselerasjon proporsjonal med nettokraften.  $m = \text{legemets masse.}$

Generalisering av N2 dersom massen ikke er konstant:

$$\vec{a} = \frac{d\vec{v}}{dt}; \quad \vec{F} = \frac{d}{dt}(m\vec{v}) \quad [= m\vec{a} \text{ hvis } m \text{ er konst.}]$$

Eks: Rakett som forbrenner drivstoff.

[Kommer tilbake til dette senere.]

Newton 3. lov (N3):  $\vec{F}_{BA} = -\vec{F}_{AB}$

Når A virker på B med kraften  $\vec{F}_{AB}$ , virker B på A med kraften  $\vec{F}_{BA} = -\vec{F}_{AB}$ , dvs motsatt rettet og like stor i absoluttverdi.

— • —

- $[F] = \text{kg m/s}^2 \equiv \text{N (newton)}$
- Krefter virker alltid mellan to legemer/partikler (jf N3!), vi sier at legemene vekselvirker med hverandre. (Eng: "Interact")

# Fundamentale vekselvirkninger (v.v.) [YF 5.5, LL 2.1]

(14)

## Gravitasjons v.v. [FY 3452]

Tiltrekkende kraft mellom to legemer pga masse.

Lang rekkevidde. Meget svak.

## Elektromagnetiske v.v. [FY 1003/TFY 4/55, TFY 4240, ...]

Tiltr. eller frastøtende kraft pga elektrisk ladning.

Lang rekkevidde (som grav.). Mye sterkere enn gravitasjon.

## Svake v.v. [FY 3402]

Kort rekkevidde. Årsak til  $\beta$ -decay (en form for radioaktiv stråling):  $n \rightarrow p + e^- + \bar{\nu}$   
(neutron) (proton) (elektron) (antineutrino)

## Sterke v.v. [FY 3466]

Kort rekkevidde. Holder kjernepartikler sammen i atomkjernen.

Mye sterkere enn el.magn. krefter på avstander  $\sim 10^{-15} m$ .

60- og 70-åra: Felles teori for el.magn. og svake v.v.:

Elektrosvak v.v. Verifisert eksperimentelt.

Senere: GUT (Grand Unified Theory)

Strengteori

TOE (Theory of everything)

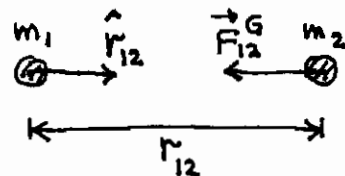
:

Ikke verifisert eksperimentelt.

J MekFys er bare gravitasjon og elektromagn. krefter relevante.

Newton s gravitasjons lov:

$$\vec{F}_{12}^G = -G \frac{m_1 \cdot m_2}{r_{12}^2} \hat{r}_{12}$$

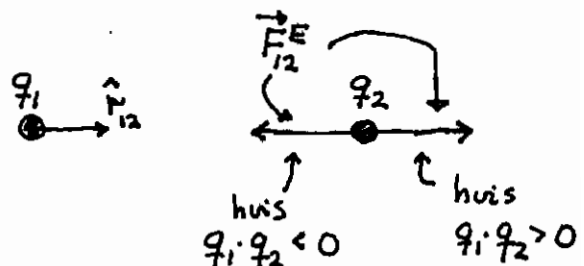


$G \approx 6.67 \cdot 10^{-11} \text{ N m}^2/\text{kg}^2$  = gravitasjonskonstanten

[ $G$  måles i labøkt nr 4]

Coulombs lov:

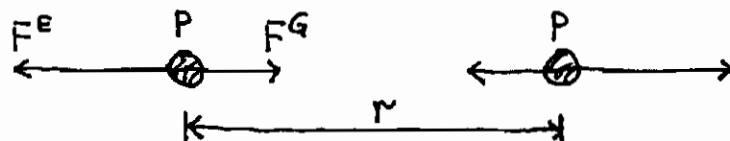
$$\vec{F}_{12}^E = \frac{1}{4\pi\epsilon_0} \frac{q_1 \cdot q_2}{r_{12}^2} \hat{r}_{12}$$



$$\frac{1}{4\pi\epsilon_0} \approx 9 \cdot 10^9 \text{ N m}^2/\text{C}^2, [q] = C = \text{coulomb}$$

( $\epsilon_0$  = vakuumpermittiviteten; mer i FY1003/TFY4155)

Eks: For to protoner, hva er  $|F^G/F^E|$ ?



$$m_p \approx u \approx 1.67 \cdot 10^{-27} \text{ kg}, q_p = e \approx 1.6 \cdot 10^{-19} \text{ C}$$

$$\Rightarrow |F^G/F^E| \approx \frac{G u^2}{e^2/4\pi\epsilon_0} \approx \frac{6.67 \cdot 10^{-11} \cdot (1.67 \cdot 10^{-27})^2}{(1.6 \cdot 10^{-19})^2 \cdot 9 \cdot 10^9} \sim 10^{-36}$$

$\Rightarrow$  Dagliglivet kun styrt av  $F^E$  ?!

Nei! Atomer har  $Z$  protoner og  $Z$  elektroner

$$\Rightarrow q_{\text{Atom}} = Ze - Ze = 0$$

$\Rightarrow$  elektriske krefter er i stor grad "nøytralisiert"

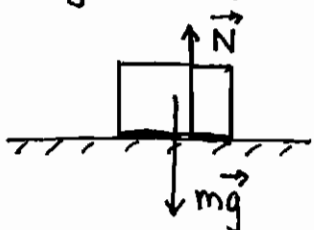
pga at tiltr. og frastøt. krefter kansellerer

$\Rightarrow$  gravitasjon ("tyngdekrefter") styrer dagliglivet sammen med el.magn. krefter

# Elektrostatiske krefter i MekFys, eksempler:

(16)

## Trykk-krefter

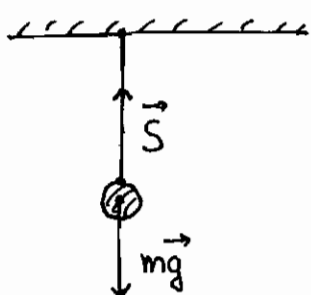


Kloss i ro  $\Rightarrow N = mg$  (pga N1)

Normalkraft  $N$  skyldes frastøt.

coulombkretter mellom kloss og underlag.

## Strek-krefter

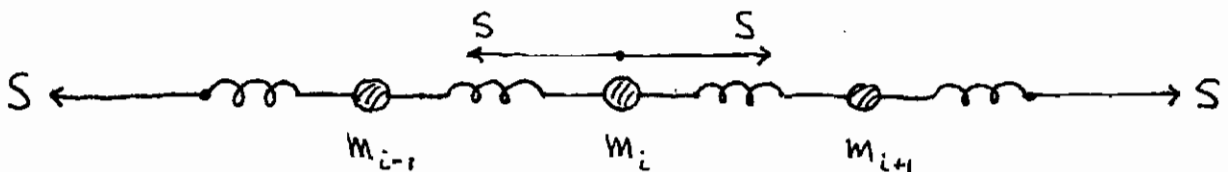


Kule i ro  $\Rightarrow S = mg$  (pga N1)

Snorkraft  $S$  skyldes tiltrekksende

coulombkretter mellom snor og kule.

Inne i strukket snor, stang eller fjer (modell):

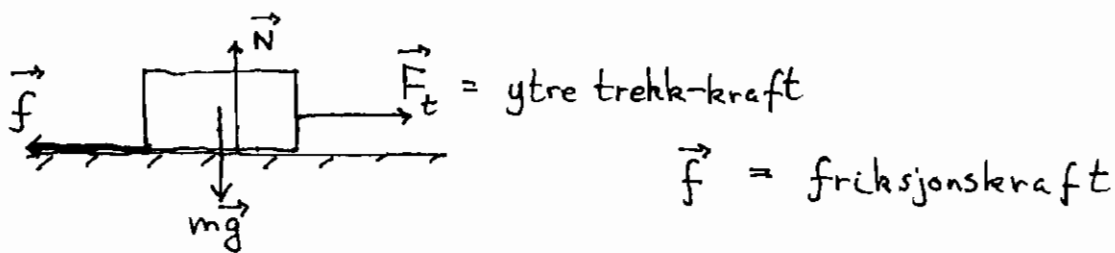


$m_i$  i ro  $\Rightarrow$  snorkraft  $S$  like stor i begge retninger

Hvis  $M_{\text{snor}} \cdot g \ll S$ , har vi tilnærmet masseløs snor.

Da må  $S$  være like stor langs hele snora. Ofte nyttig!

## Friksjonskrafter

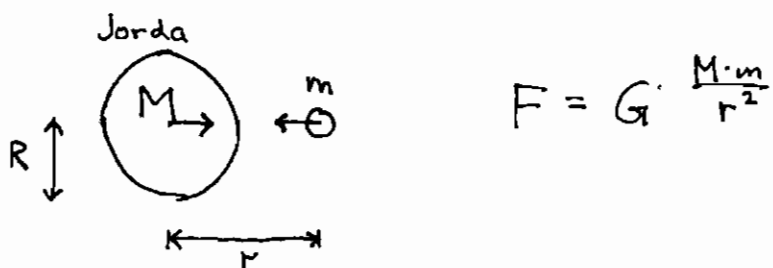


Hvis kloss er i ro:  $f = F_t$  (N1)

Hvis kloss akselererer:  $f < F_t$

Alle disse (trykk-, strekk-, friksjonskrafter) er kontaktkrafter. Sammen med tyngdekraften styrer de mye av hverdagen omkring oss.

## Masse og tyngde [YF 4.4, LL 2.5]



Masse  $m$  på jordoverflaten trekkes mot jorda med tyngdekraften ( $M$ =jordmassen,  $R$ =jordradius)

$$F = mg, \quad g = \frac{GM}{R^2} \approx 9.8 \text{ m/s}^2 = \text{tyngdeaks.}$$

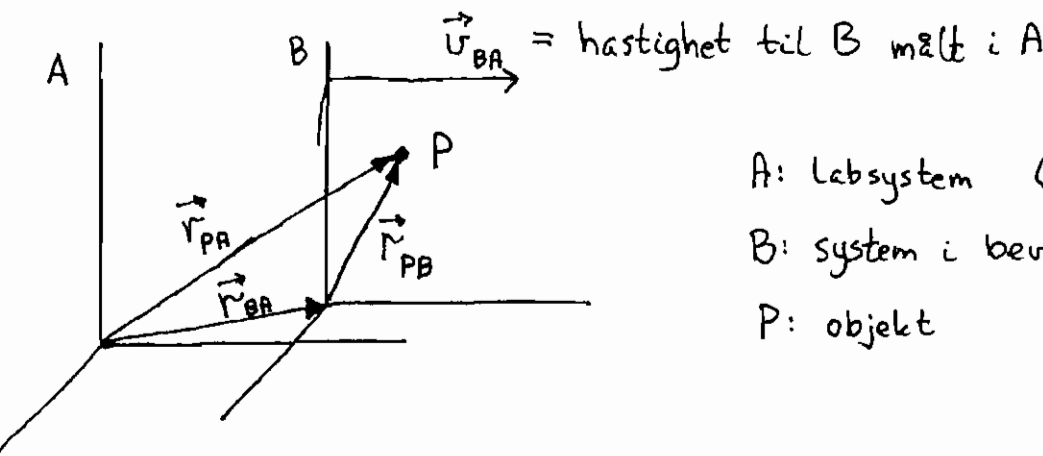
Hvis  $mg$  er eneste kraft: Fritt fall

$$\Rightarrow mg = ma \quad (N2)$$

$$\Rightarrow a = g \approx 9.8 \text{ m/s}^2$$

## Newtons lover og beregning i ulike referansesystem

[YF 3.5 + 4.2, LL 1.9 + 2.7]



$$\vec{r}_{PA} = \vec{r}_{PB} + \vec{r}_{BA} \Rightarrow \vec{v}_{PA} = \vec{v}_{PB} + \vec{v}_{BA} \Rightarrow \vec{a}_{PA} = \vec{a}_{PB} + \vec{a}_{BA}$$

Vi ser at kun hvis  $\vec{a}_{BA} = 0$ , dvs  $\vec{v}_{BA} = \text{konst.}$ , vil observatører i A og B måle samme akselerasjon for objektet P,  $\vec{a}_{PA} = \vec{a}_{PB}$ .

Da er A og B inertialsystemer relativt hverandre.

Hvis N1 gjelder i A, vil da N1 også gjelde i B.

Videre, hvis en netto ytre kraft  $\vec{F}$  virker på P, vil samme ligning,  $\vec{F} = m\vec{a}$ , med  $\vec{a}_{PA} = \vec{a}_{PB} = \vec{a}$ ,

beskrive den observerte bevegelsen til P for observatorene i både A og B. Dette er i samsvar med relativitetsprinsippet, som slår fast at fysikkens lover må ha samme form i alle inertialsystemer.

Jorda roterer omkring sin egen akse (og omkring sola).

$\Rightarrow$  Jordoverflaten er bare tilnærmet inertialsystem.

I roterende ref. system oppleses krefter som skyldes rotasjonen: sentrifugalkraft og corioliskraft.

[Kanskje mer om det senere!]

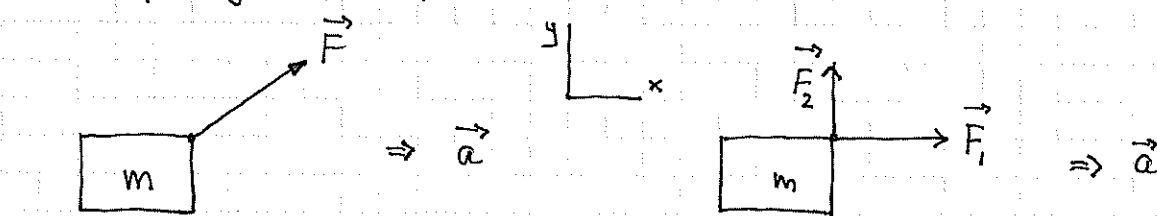
Kort rep. fra sist:

$$N1 : \vec{F} = 0 \Rightarrow \vec{G} = \text{konst.}$$

$$N2 : \vec{F} = m\vec{a}$$

$$N3 : \vec{F}_{BA} = -\vec{F}_{AB}$$

### Superposisjonsprinsippet (SPP) [YF 4.1]



$$\text{Hvis } \vec{F}_1 + \vec{F}_2 = \vec{F} \text{ er } \vec{a}' = \vec{a}$$

Kanskje oppgått, i hvert fall nyttig!

Kan regne ut  $x(t)$  fra  $F_1$  og  $y(t)$  fra  $F_2$  separat.

Oftest en betydelig forenkling.

### Anwendelser av Newtons Lover [YF 5, LL 3]

Strategi:

- Identifiser alle ytre krefter  $\vec{F}_i$  som virker på legemet/-ene.  
(Tyngde  $\vec{mg}$ , Snordrag  $\vec{S}$ , Friksjon  $\vec{f}$ , Normalkraft  $\vec{N}$ , ...)
- Tegn figur(er): Kraftdiagram (Free Body Diagram, Frelegemediag.)

[YF 4.6, LL 3.2]

\* Legemets omgivelser representeres av krefter på legemet

\* Tegn alle ytre krefter en gang

\* Pil starter der  $\vec{F}_i$  angriper

\* Pilenes lengde prop. med  $|F_i|$

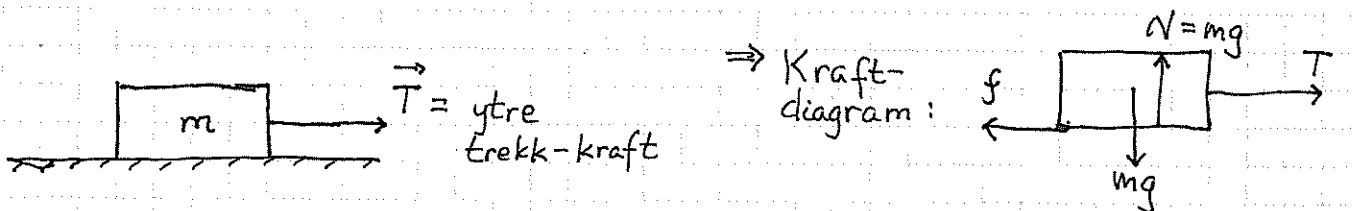
- Velg passende koordinatsystem

- Bruk  $\vec{a} = \sum_i \vec{F}_i / m$  (N2) evt  $\sum_i \vec{F}_i = 0$  (N1)

## Friksjon [YF 5.3, LL 3.1]

- Kontaktkrefter rettet mot (potensiell) relativ bevegelse
- Ønsket (svinge, bremse bil) eller uønsket (dårlig glid på ski, energitap i motor ( $\Rightarrow$  varme)... ) !

## Tørr friksjon



Statisk friksjon: (klass i ro)

$$N1 \Rightarrow f = T \quad (\vec{f} = -\vec{T})$$

Erfaringsmessig (siden da Vinci ca 1500!):

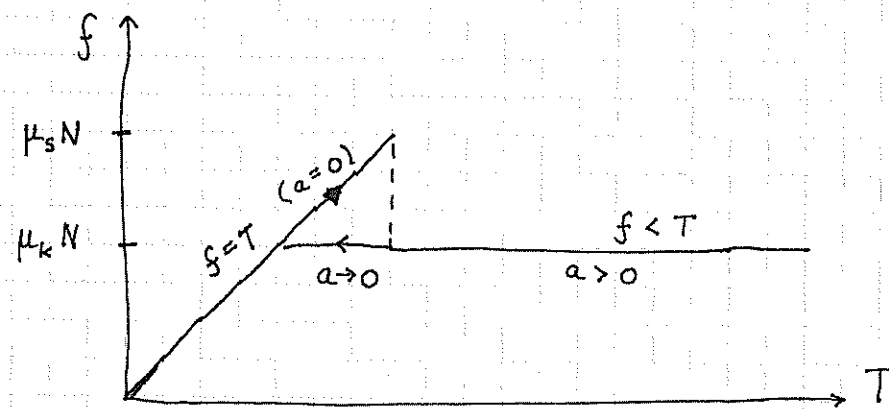
$$f \leq \mu_s \cdot N \quad (= \mu_s Mg) \quad (\text{her})$$

Kinetisk friksjon:

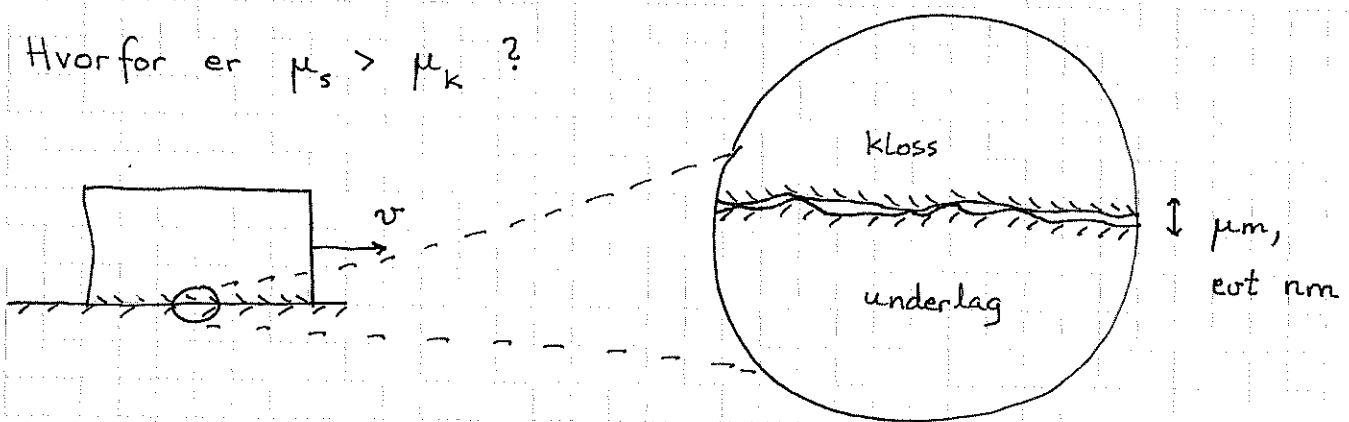
$$f = \mu_k \cdot N$$

$\mu_k < \mu_s$  (alltid, såvidt meg bekjent)

$$[\mu_k] = [\mu_s] = 1$$



Hvorfor er  $\mu_s > \mu_k$ ?



$v = 0 \Rightarrow$  godt grep mellom flatene [på molekylnivå: bindinger]

$v > 0 \Rightarrow$  dårligere grep, tendens til å flyte oppå [bindinger brytes og dannes, som krever energi  $\Rightarrow$  friksjonsarbeid, varme]

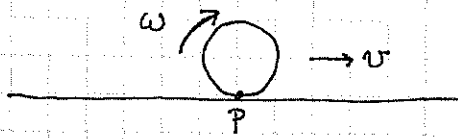
$$\Rightarrow \mu_s > \mu_k$$

Tallverdier:

Materialer	$\mu_s$	$\mu_k$
tre mot tre	0,25-0,50	0,2
ski mot snø	0,1	0,05
gummi mot tørr asfalt	1,0	0,8
— " — vat	0,30	0,25

sånn omrent

Rulling:



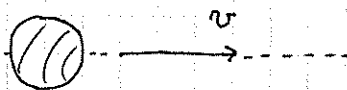
Hvis ren rulling:

Kontaktpunkt P i ro

⇒ praktisk talt null friksjonsarbeid

### Friksjon i gasser og væsker (fluider) [YF 5.3]

Anta rotasjonsymmetrisk legeme omkring  $\vec{v}$ -aksen:



• For tilstrekkelig liten  $v$ :

"Pen", Laminær strømning rundt legemet,  $\vec{f}_e = -k\vec{v} = -kv\hat{v}$

Kan utledes fra Newtons lover

Eks: Kule.  $f_e = 6\pi\eta Rv$

$R$  = kulas radius,  $\eta$  ("eta") = fluidets viskositet

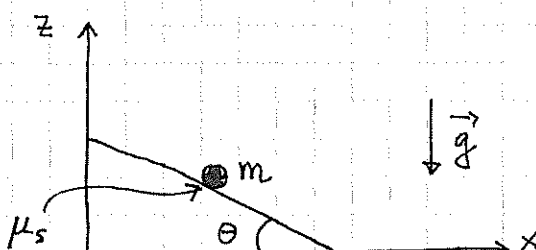
[Mer i TEP4105 Fluidmekanikk]

• Stor  $v$ :

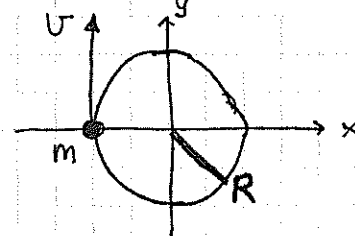
Turbulent strømning,  $\vec{f}_t = -Dv^2\hat{v}$  ("drag")

Tommelfingerregel

Eks 1: Doseret swing [YF 5.4, LL 3.4]



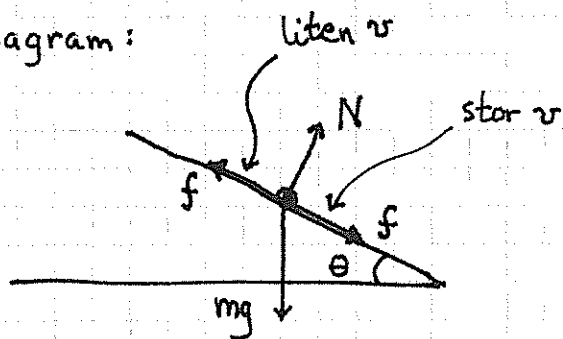
$\theta$  = doseringsvinkel



R = krumningsradius

Finn  $v_{min} < v < v_{max}$  slik at bilen ikke skir inn/ut!

Kraftdiagram:



$$f_{max} = \mu_s N$$

$$\text{uniform sirkelberegelse: } a = v^2/R$$

[Merk: Kan her ikke sette N lik  $mg \cdot \cos\theta$ !]

[Vi har akseleasjon  $\perp$  skråplanet!]

$$\text{Dermed: } \vec{N} + \vec{f} + \vec{mg} = (mv^2/R) \hat{x}$$

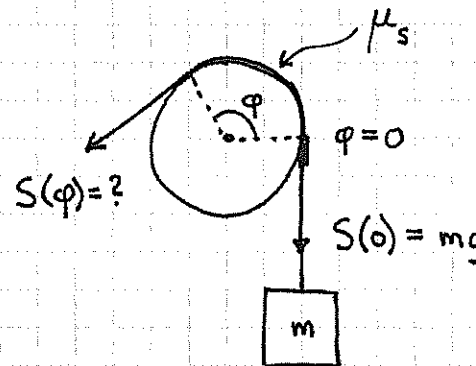
$$\text{i x-retn: } N \sin\theta \pm \mu_s N \cos\theta = mv^2/R \quad (1)$$

$$\text{i z-retn: } N \cos\theta \mp \mu_s N \sin\theta = mg \quad (2)$$

(Med  $f = \mu_s N$  gir dette  $v_{max}$  (øvre fortegn) og  $v_{min}$  (nedre fortegn).)

$$(1)/(2) \Rightarrow v_{max/min} = \sqrt{gR \frac{\sin\theta \pm \mu_s \cos\theta}{\cos\theta \mp \mu_s \sin\theta}} = \sqrt{gR \frac{\tan\theta \pm \mu_s}{1 \mp \mu_s \tan\theta}}$$

[Analyse av resultatet: 19.09.11]

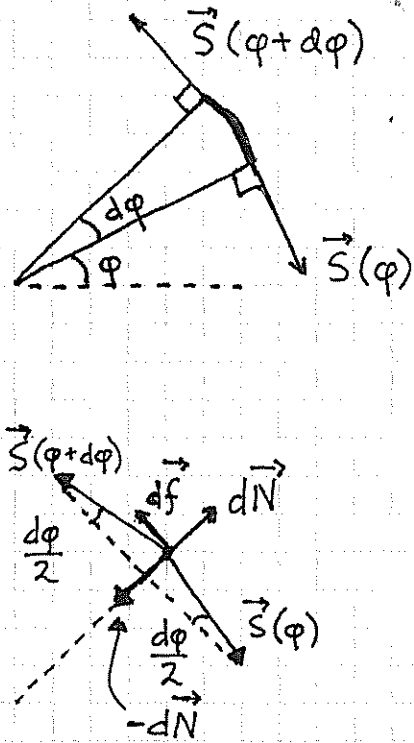
Eks 2: Tau rundt sylinder

Demo:

- PVC-rør
- Basthyssing
- Blylodd (ca 335 g)
- Fjærvekter

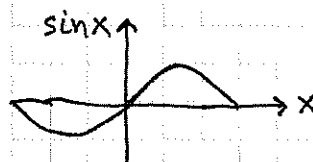
Strategi:

- Krefter? Figur! N1! ....
- Tenk smått! Tenk differensielt!



- Se på liten taubit mellom  $\phi$  og  $\phi + d\phi$
- $\vec{S}(\phi + d\phi) + \vec{S}(\phi) \neq 0$  og balanseres av (liten) normalkraft  $\vec{dN}$  fra sylinderen på taubitsen og (liten) friksjonskraft  $\vec{df}$  tangentelt
- $\vec{df}$  rettet mot klokka når friksjonen hjelper oss å holde loddet i ro, og  $df = \mu_s dN$  er max friksjonskraft på taubit

• Fra figur:  $dN = S(\phi) \sin \frac{d\phi}{2} + S(\phi + d\phi) \sin \frac{d\phi}{2}$

Ser at  $\sin x \approx x$  for små x.

$$\Rightarrow dN \approx \frac{d\phi}{2} \{ S(\phi) + S(\phi + d\phi) \} \approx S(\phi) d\phi \approx S(\phi)$$

- Kraftbalanse tangentielt:

$$\underbrace{S(\varphi + d\varphi) - S(\varphi)}_{dS} \pm \underbrace{df}_{\mu_s S d\varphi} = 0$$

+ :  $\vec{df}$  mot klokka  
 - :  $\vec{df}$  med -"

$$\Rightarrow dS = \mp \mu_s S d\varphi$$

$$\Rightarrow \int_{S(0)}^{S(\varphi)} \frac{dS}{S} = \mp \int_0^\varphi \mu_s d\varphi$$

$$\Rightarrow \ln \frac{S(\varphi)}{S(0)} = \mp \mu_s \varphi$$

$$\Rightarrow \underline{\underline{S(\varphi) = S(0) e^{\mp \mu_s \varphi}}}$$

Hit  
14.09.11

Motivasjonsforedrag nr 1 14.09.11:

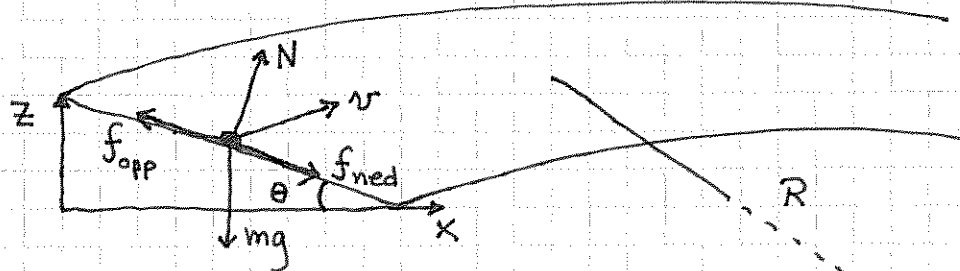
Espen R. Jakobsen, IMF : Aksjer, opsjoner og matematikk

19.09.11

Eks 1 fra 12.09.11, dørsatt svung (s. 23) :

(26)

- utregning av  $N$  og  $f$
- plotting i Matlab



$$N \sin \theta \pm f \cos \theta = mv^2/R \quad (\text{x})$$

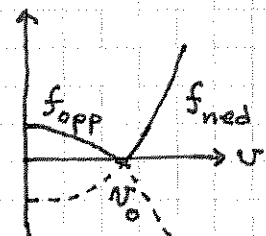
$$N \cos \theta \mp f \sin \theta = mg \quad (\text{z})$$

$$(\text{x}) \cdot \sin \theta \pm (\text{z}) \cdot \cos \theta$$

$$\Rightarrow N = \frac{m \sin \theta}{R} v^2 + mg \cos \theta$$

$$(\text{x}) \cdot \cos \theta - (\text{z}) \cdot \sin \theta$$

$$\Rightarrow f = \pm \frac{m \cos \theta}{R} v^2 \mp mg \sin \theta$$

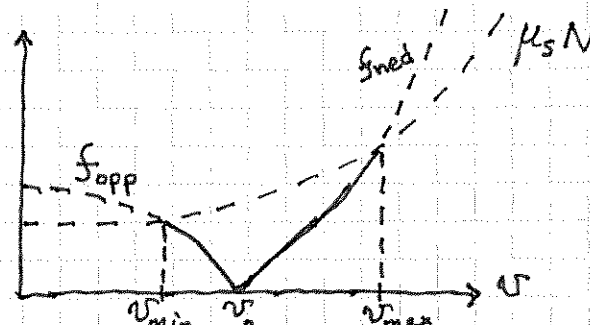


Fra 12.09.11:

$$f_{\max} = \mu_s N$$

$$\Rightarrow v_{\min} < v < v_{\max}$$

$$v_{\max} = \left\{ gR \frac{\tan \theta \pm \mu_s}{1 \mp \mu_s \tan \theta} \right\}^{1/2}$$



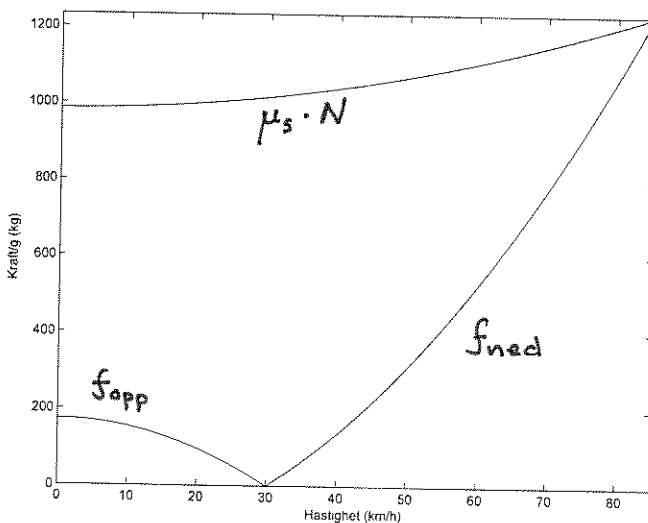
$$v_0 = \sqrt{gR \tan \theta}$$

Tallverdier brukt i Matlab-programmet swing-dosert.m

(lagt ut på hjemmesida) :  $g = 9.81 \text{ m/s}^2$ ,  $R = 40 \text{ m}$ ,  $m = 1000 \text{ kg}$ ,  $\theta = 10^\circ$ .

Tørr asfalt,  $\mu_s = 1.0$ :

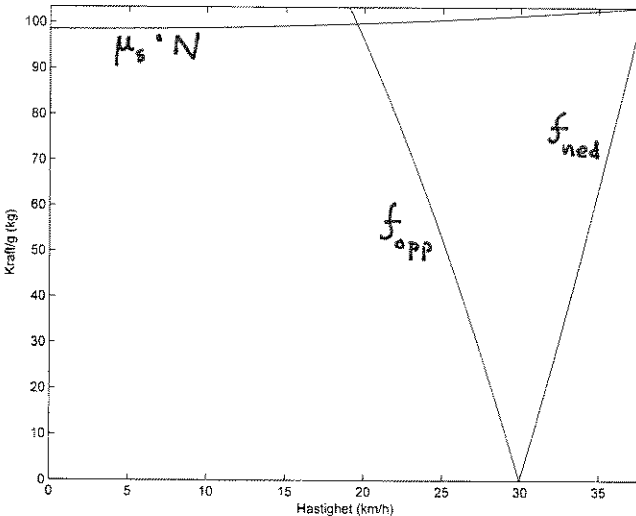
$$v_0 = 30 \text{ km/h}$$



$v_{min} = 0$  (kan stå  
i ro uten å gli nedover)

$$v_{max} = 85 \text{ km/h}$$

Jset veibane,  $\mu_s = 0.1$ :



$$v_{min} = 20 \text{ km/h}$$

$$v_{max} = 38 \text{ km/h}$$

Motivasjonsforedrag nr 2 19.09.11 :

Tore Lindmo, IFY: Medisinsk utbildning - en kombinasjon av  
fysikk og matematikk.

N 1, 2, 3

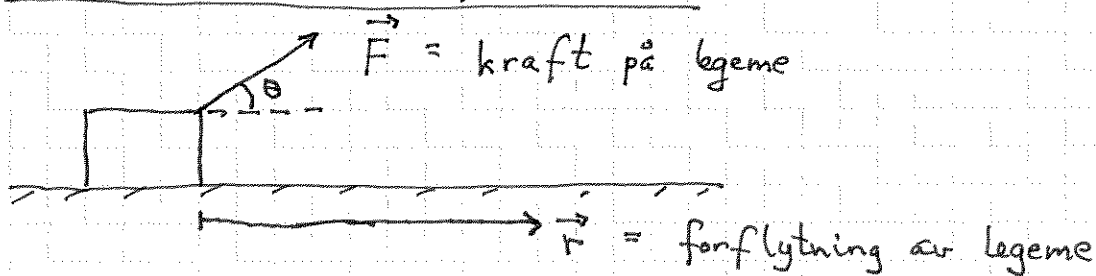
 $\Rightarrow$  bevaringslover (energi, impuls, dreieimpuls)

= fundament

"ingen" ny fysikk!

Men svært myttig! Gir innsikt, og  
snarveier til å løse mange problemer.

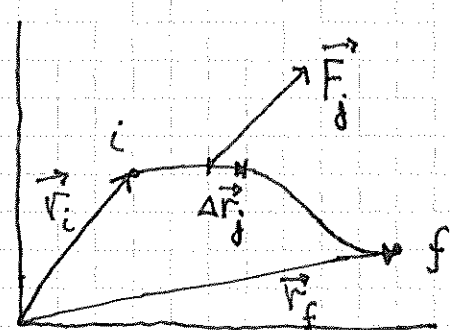
Arbeid [YF 6.1-3, LL 4.1]

Arbeid utført av  $\vec{F}$  på legeme: (W for "work")

$$W \stackrel{\text{def}}{=} \vec{F} \cdot \vec{r} = F r \cos \theta$$

$$[W] = N \cdot m \stackrel{\text{def}}{=} J \quad (\text{joule})$$

Hvis  $\vec{F}$  varierer langs veien og/eller veien ikke  
er rett linje:

 $i = \text{"initial state", start-tilstand}$  $f = \text{"final state", slutt-tilstand}$ 

Tilhørende tidspunkt, posisjon, hastighet:

 $i : t_i, \vec{r}_i, \vec{v}_i$  $f : t_f, \vec{r}_f, \vec{v}_f$

Arbeid utført ved forflytning  $\Delta \vec{r}_j$ :  $\Delta W_j = \vec{F}_j \cdot \Delta \vec{r}_j$

$\Rightarrow$  Totalt arbeid utført ved forflytning fra  $\vec{r}_i$  til  $\vec{r}_f$ :

$$W = \sum_j \vec{F}_j \cdot \Delta \vec{r}_j \xrightarrow{|\Delta \vec{r}_j| \rightarrow 0} \int_{\vec{r}_i}^{\vec{r}_f} \vec{F} \cdot d\vec{r}$$

$\underbrace{\quad \quad \quad}_{\text{"veiintegral"}}$

$(\vec{F} = \vec{F}(\vec{r}))$

Utgangspunkt for å beregne

W med datamaskin, dvs

numerisk løsning.

Altså:

$$W = \int_{\vec{r}_i}^{\vec{r}_f} \vec{F} \cdot d\vec{r}$$

### Kinetisk energi [YF 6.2, LL 4.2]

$$d\vec{r} = \frac{d\vec{r}}{dt} \cdot dt = \vec{v} dt; \quad \vec{F} = m\vec{a} = m \frac{d\vec{r}}{dt}$$

$$\Rightarrow W = \int_{t_i}^{t_f} m \frac{d\vec{r}}{dt} \cdot \vec{v} dt = m \frac{1}{2} \int_{t_i}^{t_f} dt \underbrace{(\vec{v} \cdot \vec{v})}_{= v^2} dt$$

$$= \frac{1}{2} m v_f^2 - \frac{1}{2} m v_i^2$$

Kinetisk energi:

$$K \stackrel{\text{def}}{=} \frac{1}{2} m v^2$$

$$\Rightarrow W = K_f - K_i = \Delta K$$

Dvs: Arbeid utført på legeme av ytre nettkraft

= Endringen i legemets kinetiske energi,

## Effekt [YF 6.4, LL 4.1]

Effekt  $\stackrel{\text{def}}{=}$  arbeid pr. tidsenhet:

$$\boxed{P \stackrel{\text{def}}{=} \frac{dW}{dt}}$$

$$\Rightarrow P = \frac{\vec{F} \cdot d\vec{r}}{dt} = \vec{F} \cdot \vec{v}$$

$$[P] = J/s = Nm/s \stackrel{\text{def}}{=} W \text{ (watt)}$$

Oftre brukte enheter for energi:

$$1 \text{ eV (elektronvolt)} = 1.6 \cdot 10^{-19} \text{ J}$$

$$1 \text{ kWh (kilowatt-time)} = 3.6 \text{ MJ}$$

Hit  
21.09.11

Motivasjonsforedrag nr. 3 21.09.11:

Åsmund Ervik, 5.kl. Teknisk fysikk

Anders Hoff, 5.kl. Industriell matematikk

Espen Brønstad, 5.kl. Biofysikk og medisinske teknologi

Faglig bruk av IKT i studiet → programmering, simulering, visualisering → både nyttig og artig!

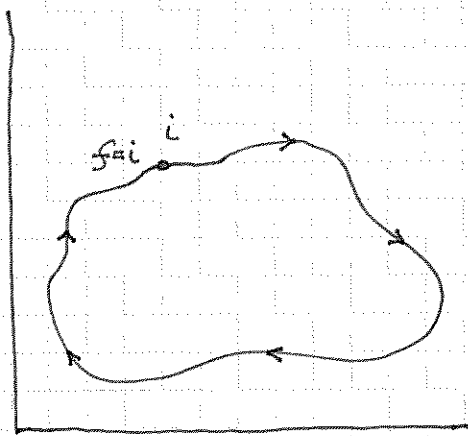
# Konservative krefter. Potensiell energi. Energibevarelse.

[YF 7.1 - 7.4, LL 4.3 - 4.5]

Konservativt mekanisk system  $\stackrel{\text{def}}{=}$  system uten energilekkasje (dissipasjon) fra mekanisk energi til andre energiformer.

Eks. på dissipasjon: Friksjon. Da går mek. energi over til varme, lyd etc.

Kons. kraft  $\vec{F}$ :



i ("initial") = legemets mek. tilstand initiat, bestemt ved  $\vec{r}_i$  og  $\vec{v}_i$ . Hvis kons. kraft  $\vec{F}$  påvirker legemet på rundturen, fra i til slutt-tilst.  $f = i$  ("final"), er  $\vec{r}_f = \vec{r}_i$ ,  $\vec{v}_f = \vec{v}_i$ ,  $K_f = K_i$ , og dermed utført arbeid  $W = 0$ .

Dvs:

$$\int_{\vec{r}_i}^{\vec{r}_f} \vec{F} \cdot d\vec{r} = \boxed{\oint \vec{F} \cdot d\vec{r} = 0}$$

Gjelder for kons. kraft  $\vec{F}$

betyr (vei-)integral rundt lukket kurve

## Potensiell energi:

$$U(\vec{F}) \stackrel{\text{def}}{=} - \int_{\vec{r}_0}^{\vec{r}} \vec{F} \cdot d\vec{r}$$

Her er  $\vec{r}_0$  en vilkårlig valgt "referanseposisjon",  $\vec{F}$  er en kons. kraft, og vi har valgt  $U(\vec{r}_0) = 0$

Førerter nå at  $-\vec{F}$  er en slags derivert av  $U$ !

Litt matematikk!

### Gradient. Partiellderivert.

$U = U(\vec{r}) = U(x, y, z)$  = skalar funksjon av  $x, y$  og  $z$

$$\frac{\partial U}{\partial x} = \lim_{\Delta x \rightarrow 0} \frac{U(x + \Delta x, y, z) - U(x, y, z)}{\Delta x}$$

= den partiellderiverte av  $U$  med hensyn på  $x$

Tilsvarende for  $\frac{\partial U}{\partial y}$  og  $\frac{\partial U}{\partial z}$ . (Skriv ned selv!)

Eks: Hvis  $U(x, y, z) = 2xy + \sin(x/z)$ , så er

$$\frac{\partial U}{\partial x} = 2y + \frac{1}{z} \cos(x/z)$$

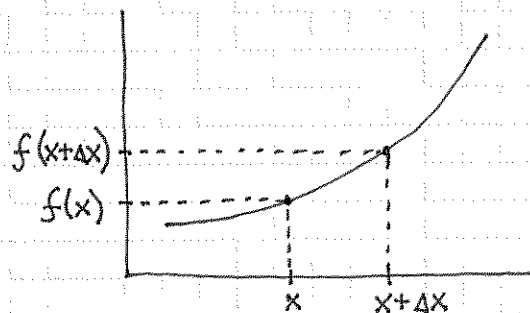
$$\frac{\partial U}{\partial y} = 2x$$

$$\frac{\partial U}{\partial z} = -\frac{x}{z^2} \cos(x/z)$$

Liten forflytning, fra  $\vec{r}$  til  $\vec{r} + \Delta\vec{r}$ , gir liten endring i  $U$ :

$$\Delta U = U(\vec{r} + \Delta\vec{r}) - U(\vec{r}) \approx \frac{\partial U}{\partial x} \Delta x + \frac{\partial U}{\partial y} \Delta y + \frac{\partial U}{\partial z} \Delta z$$

Som er en generalisering av velkjente saker for funksjoner av en variabel:



$$\begin{aligned}\Delta f &= f(x+\Delta x) - f(x) \\ &\approx \frac{df}{dx} \Delta x\end{aligned}$$

Hvis liten  $\Delta\vec{r} \rightarrow$  infinitesimal  $d\vec{r}$ , fås

$$dU = U(\vec{r} + d\vec{r}) - U(\vec{r}) = \frac{\partial U}{\partial x} dx + \frac{\partial U}{\partial y} dy + \frac{\partial U}{\partial z} dz$$

= totalt differensial

Ser at vi kan skrive

$$dU = \left\{ \hat{x} \frac{\partial U}{\partial x} + \hat{y} \frac{\partial U}{\partial y} + \hat{z} \frac{\partial U}{\partial z} \right\} \cdot \left\{ \hat{x} dx + \hat{y} dy + \hat{z} dz \right\}$$

$$(Siden \hat{x} \cdot \hat{y} = \hat{y} \cdot \hat{z} = \hat{z} \cdot \hat{x} = 0 \quad mens \quad \hat{x} \cdot \hat{x} = \hat{y} \cdot \hat{y} = \hat{z} \cdot \hat{z} = 1)$$

tit  
26.09.11

Motivasjonsforedrag nr 4 26.09.11 :

Kristian Gjøsteen, IMF: Nettpoker, kryptografi og tallteori.

Vi definerer symbollet  $\nabla$  (nabla):

$$\nabla = \hat{x} \frac{\partial}{\partial x} + \hat{y} \frac{\partial}{\partial y} + \hat{z} \frac{\partial}{\partial z} \quad ("derivasjonsoperator")$$

Videre er

$$d\vec{r} = \hat{x} dx + \hat{y} dy + \hat{z} dz \quad ("veielement")$$

Dermed:

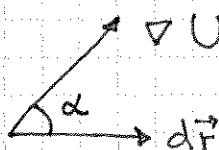
$$dU = \nabla U \cdot d\vec{r}$$

skalar      vektor      vektor

$$\nabla U = \text{gradienten til } U = \hat{x} \frac{\partial U}{\partial x} + \hat{y} \frac{\partial U}{\partial y} + \hat{z} \frac{\partial U}{\partial z}$$

Fra def. av skalarprod:

$$dU = |\nabla U| \cdot |d\vec{r}| \cdot \cos \alpha$$



$\Rightarrow$  vi har maksimal  $dU$  när vi väljer  $d\vec{r}$  i samma  
retning som  $\nabla U$  (dvs  $\alpha=0$  och  $\cos\alpha = 1$ )

$\Rightarrow \nabla U$  peker i den retning som  $U$  øker raskest

(og:  $-\nabla U$ ) " avtar" —!!—

$$\text{Dessuten er } |\nabla U| = \frac{dU_{\max}}{|\vec{dr}|}$$

Tilbake til fysikken!

$$U(\vec{r}) = - \int_{\vec{r}_0}^{\vec{r}} \vec{F} \cdot d\vec{r} \quad (\text{med } U(\vec{r}_0) = 0)$$

$$\text{Siden } U(\vec{r}) = \int_{\vec{r}_0}^{\vec{r}} dU, \text{ er } dU = - \vec{F} \cdot d\vec{r}$$

Sammenligning med det generelle uttrykket  $dU = - \nabla U \cdot d\vec{r}$  gir:

$$\boxed{\vec{F} = - \nabla U}$$

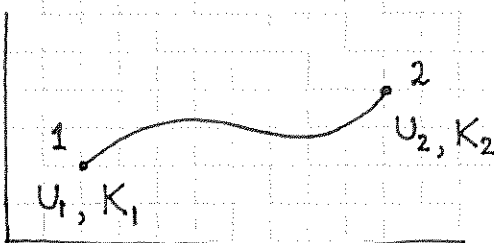
Kons. kraft

$U$  = pot. energi ("potensial")

$$\text{Komponenter: } F_x = - \frac{\partial U}{\partial x}, \quad F_y = - \frac{\partial U}{\partial y}, \quad F_z = - \frac{\partial U}{\partial z}$$

Siden  $U(\vec{r})$  og  $U(\vec{r}) + \text{konst.}$  gir samme  $\vec{F}$ , og dermed samme fysikk, kan vi fritt velge  $U=0$  hvor vi vil.

Mekanisk energibevarelse [YF 7.3, LL 4.5]



$$U_1 = - \int_{\vec{r}_0}^{\vec{r}_1} \vec{F} \cdot d\vec{r}, \quad U_2 = - \int_{\vec{r}_0}^{\vec{r}_2} \vec{F} \cdot d\vec{r} \Rightarrow U_1 - U_2 = - \int_{\vec{r}_0}^{\vec{r}_2} \vec{F} \cdot d\vec{r}$$

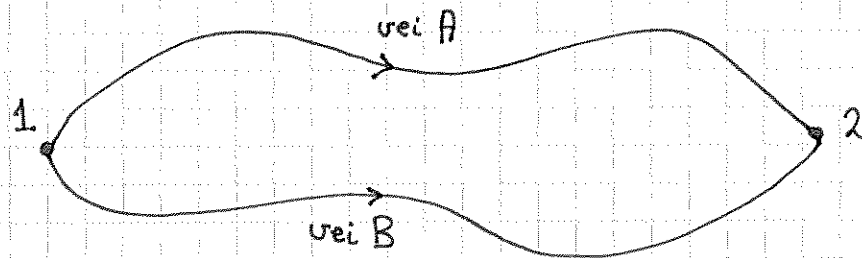
$$\text{Fra før: } K_2 - K_1 = \int_{\vec{r}_1}^{\vec{r}_2} \vec{F} \cdot d\vec{r}$$

$$\text{Dermed: } U_1 - U_2 = K_2 - K_1 \Rightarrow K_1 + U_1 = K_2 + U_2$$

Dvs: Total mek. energi  $E = K + U$  er konstant for kons. system.

Kons. kraft  $\vec{F}$  utfører arbeid  $W$  som er uavhengig av veien

Beweis:



$$\oint \vec{F} \cdot d\vec{r} = 0$$

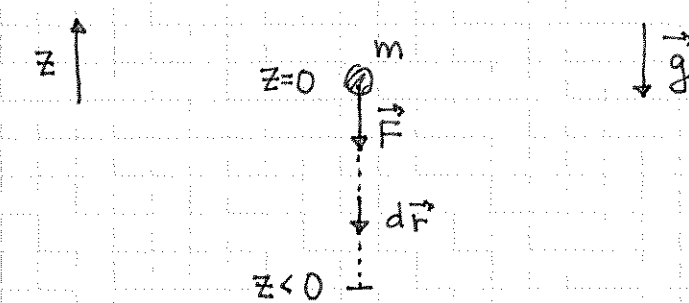
$$\rightarrow \left\{ \int_1^2 \vec{F} \cdot d\vec{r} \right\}_A + \left\{ \int_2^1 \vec{F} \cdot d\vec{r} \right\}_B = 0 \\ = \left\{ - \int_1^2 \vec{F} \cdot d\vec{r} \right\}_B$$

$$\Downarrow \left\{ \int_1^2 \vec{F} \cdot d\vec{r} \right\}_A = \left\{ \int_1^2 \vec{F} \cdot d\vec{r} \right\}_B$$

qed

Tid for noen eksempler!

# Eks 1: Tyngdefeltet



$$\vec{F} = mg = -mg\hat{z}$$

$d\vec{r} = \hat{z} dz$  [Merk: Fortegn ivaretas via integrasjonsgrensene.]

Dvs,  $dz$  kan være positiv eller negativ.]

$$U(z) = - \int_0^z (-mg\hat{z}) \cdot (\hat{z} dz) = mgz \quad (\text{OK!})$$

velger  $U(0)=0$

Anta  $v=0$  i  $z=0 \Rightarrow E_0 = K_0 + U_0 = 0$  (tot. energi)

$$\text{I } z < 0: U(z) = mgz, K = W = \int_0^z F dz = -mgz$$

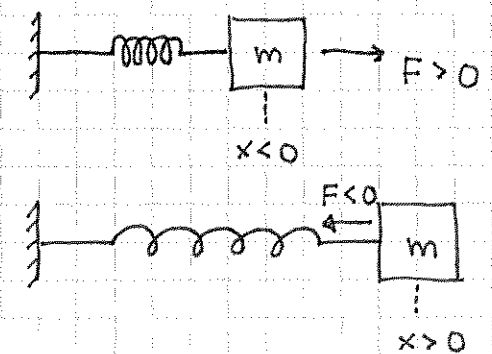
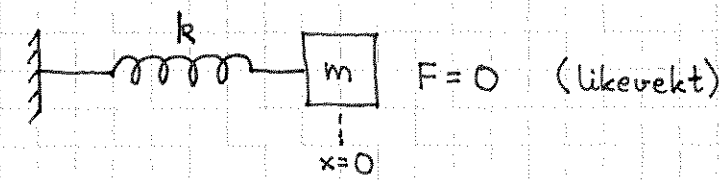
$$\Rightarrow E = K + U = -mgz + mgz = 0 = E_0$$

OK, energibevarelse!



## Eks 2: Ideell fjer. Hookes lov

(38)



$$\text{Hookes lov: } F = -kx \hat{x}$$

( $k$  = fjærkonstanten,  $[k] = \text{N/m}$ )

Velg  $U=0$  for  $x=0$

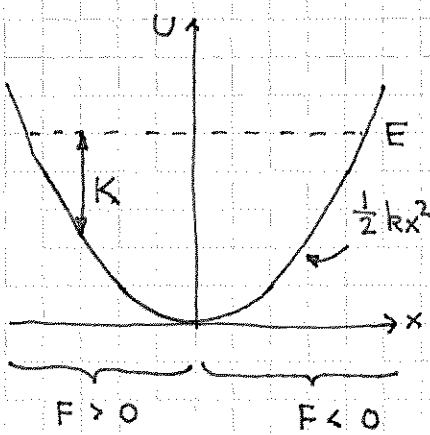
$$\Rightarrow U(x) = - \int_0^x (-kx \hat{x}) \cdot (\hat{x} dx) = \frac{1}{2} k x^2$$

Anta  $v = v_0$  når  $t=0$ , og  $x(0)=0$

$$\Rightarrow E_0 = K_0 + U_0 = \frac{1}{2} m v_0^2$$

$$\begin{aligned} \text{Når } x \neq 0: \quad U(x) &= \frac{1}{2} k x^2, \quad K = K_0 + W = \frac{1}{2} m v_0^2 + \int_0^x (-kx) dx \\ &= \frac{1}{2} m v_0^2 - \frac{1}{2} k x^2 \end{aligned}$$

$$\Rightarrow E = K + U = \frac{1}{2} m v^2 = E_0 \quad (\text{OK!})$$

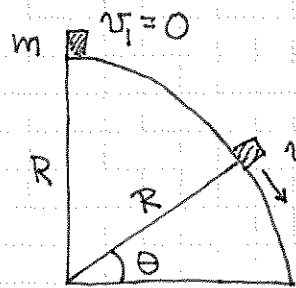


$$\Rightarrow F = -\nabla U$$

$$= -x \frac{\partial}{\partial x} \left( \frac{1}{2} k x^2 \right)$$

$$= -kx \hat{x} \quad (\text{OK!})$$

### Eks 3: Halkule uten friksjon



$$\Delta E = 0 \Rightarrow E_1 = E_2$$

$$\Rightarrow 0 + mgR = \frac{1}{2}mv_2^2 + mgR \sin\theta$$

$$\Rightarrow v_2 = \sqrt{2gR(1 - \sin\theta)}$$

$\theta = 0 \Rightarrow v_2 = \sqrt{2gR}$ , OK, men hva hvis  $N \rightarrow 0$ ?

### Ikke-kons. krefter

(f. eks. friksjon)

Mek. energi  $\xrightarrow{\text{dissipasjon}}$  varme, lyd, lys,...

$$\Delta E = W_f = \int_1^2 \vec{f} \cdot d\vec{r} < 0$$

$\uparrow$  da  $f$  er rettet mot  $d\vec{r}$

Friksjonsarbeidet  $W_f$  avhenger av veien fra 1 til 2

$\Rightarrow \vec{f}$  er ikke kons.

$\Rightarrow$  har ikke et tilhørende potensial

## Impuls, Kollisjoner, Partikkelsystemer [YF 8, LL 5]

For partikkkel/legeme med konstant masse  $m$ :

$$N2: \vec{F} = m\vec{a} = m \frac{d\vec{v}}{dt} = \underset{m=\text{konst.}}{=} \frac{d(m\vec{v})}{dt}$$

$$\boxed{\vec{p} \stackrel{\text{def}}{=} m\vec{v} = \text{impuls}}$$

Alternative namn på  $\vec{p}$ : bevegelsesmenge (LL),  
massefart, driv

På engelsk (YF): (linear) momentum

Dermed blir N2:

$$\boxed{\vec{F} = \frac{d\vec{p}}{dt}}$$

$$[\vec{p}] = \text{kg} \cdot \text{m/s}$$

Impulsbevarelse:

Hvis  $\sum \text{ytre krefter} = 0$ , er legemets impuls  $\vec{p}$  bevart

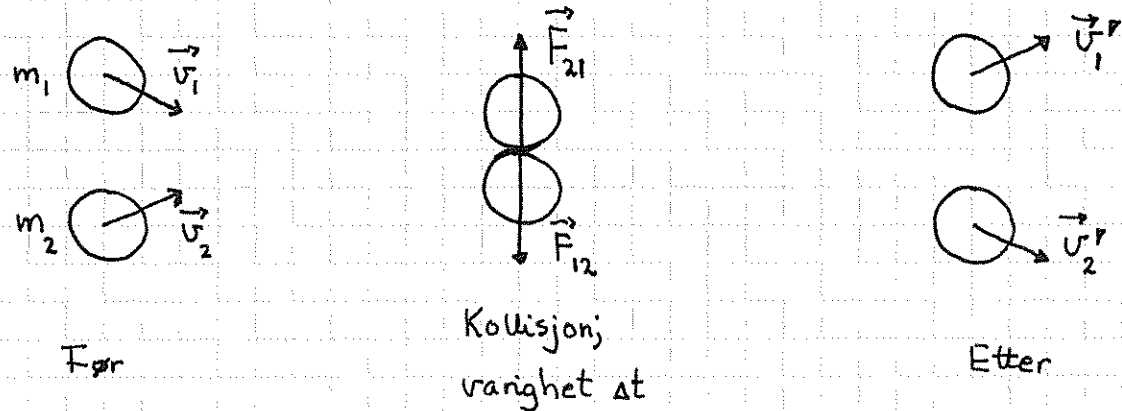
Meget nyttig resultat!

Vi har mange prosesser / kollisjoner der mekanisk energi ikke er bevart,  $\Delta E \neq 0$ , men så lenge

$$\vec{F} = \vec{F}_{\text{ytre}} = 0, \text{ er alltid } \vec{\Delta p} = 0.$$

# Kollisjoner [8.3 - 8.4, LL 5.3]

= kortvarige stat mellom to legemer



$$N3 \Rightarrow \vec{F}_{21} = -\vec{F}_{12} \quad N2 \Rightarrow \frac{d\vec{p}_1}{dt} = -\frac{d\vec{p}_2}{dt}$$

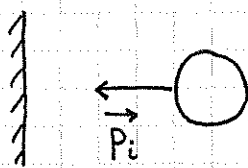
$$\Rightarrow d(\vec{p}_1 + \vec{p}_2) = 0 \quad \Rightarrow \vec{p}_1 + \vec{p}_2 = \text{konst.}$$

Kommentarer:

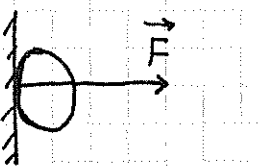
- $\vec{F}_{12}(t)$  er typisk ukjent, men det påvirker ikke systemets totale impuls  $\vec{P} = \sum_i \vec{p}_i$ , som er konstant
- Så lenge  $\vec{F}_{ytre} = \sum_i \vec{F}_{i,ytre} = 0$ , er  $\vec{P}$  konstant
- Hvis  $\vec{F}_{ytre} \neq 0$ , er  $\vec{P} \approx$  konst. dersom  $F_{ytre} \ll F_{indre}$  i løpet av kollisjonen

## Kraftstøt [YF 8.1, LL 5.2]

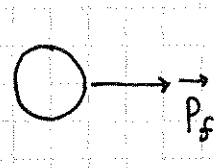
Se på kollisjon av ball mot vegg:



Før (i)



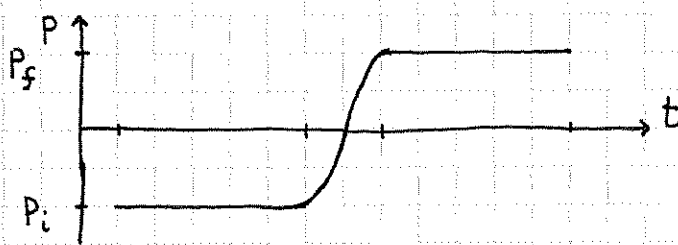
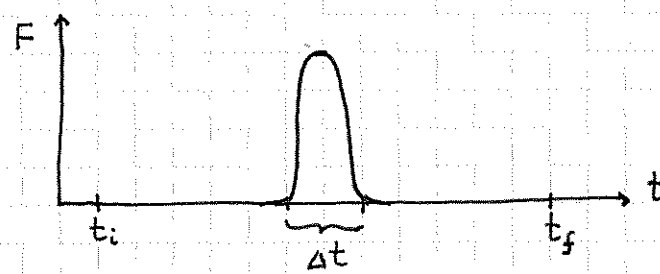
Kollisjon,  
varighet  $\Delta t$



Etter (f)

Fra N2:  $d\vec{p} = \vec{F} \cdot dt$  = ballens impulsending i løpet av  $dt$

$$\Rightarrow \int_{P_i}^{P_f} d\vec{p} = \int_{t_i}^{t_f} \vec{F} \cdot dt = \int_{\Delta t} \vec{F} \cdot dt$$



Kraftstøtet  $\vec{J}$  er:  $\vec{J} = \int_{t_i}^{t_f} \vec{F} \cdot dt$  (Engelsk: impulse)

$$\Rightarrow |\vec{J}| = \int_{P_i}^{P_f} d\vec{p} = \vec{P}_f - \vec{P}_i = \Delta \vec{p} \quad (\text{Impulsloven})$$

Kommentarer:

- $\vec{F}(t)$  som regel ukjent

- Kjennskap til  $\Delta \vec{p}$  og estimat for  $\Delta t \Rightarrow$  kan anslå  $\langle \vec{F} \rangle$

Eks: Tennisball,  $v \sim 50 \text{ m/s}$ ,  $m \sim 57 \text{ g}$ ,  $\Delta t \sim 0.01 \text{ s}$

for støt mot racket. Finn gjennomsnittlig kraft i støtet,  $\langle F \rangle$ , og vurder om det er OK å se bort fra

$$G = mg \text{ i støtet.} \\ (\text{slaget})$$

Løsning:

$$\langle F \rangle = \frac{\Delta p}{\Delta t} = \frac{0.057 \text{ kg} \cdot 2 \cdot 50 \text{ m/s}}{0.01 \text{ s}} = 570 \text{ N}$$

$$G = mg = 0.057 \text{ kg} \cdot 9.8 \text{ m/s}^2 \approx 0.56 \text{ N}$$

$$\Rightarrow \langle F \rangle / G \sim 1000 \Rightarrow \text{OK å neglisjere } G \text{ i slaget.}$$

### Ulike typer kollisjoner [YF 8.3, LL 5.3]

- Elastisk kollisjon:  $\Delta E = 0$  ( $\Delta K = 0$ )
- Uelastisk:  $\Delta K < 0$
- Fullstendig uel.: Kolliderende legemer henger sammen etter kollisjonen. Felles hastighet etter koll. Maksimal  $|\Delta K|$ .

Tap i kinetisk energi,  $\Delta K$ , resulterer i (varige) deformasjoner, lyd, varme etc.

Merk: Så lenge  $\vec{F}_{\text{ytre}} = 0$  (eller kan neglisjeres under kollisjoner), er  $\vec{\Delta p} = 0$  for alle typer kollisjoner.

Alle indre krefter opptrer i par (N3),  $\vec{F}_{ij} = -\vec{F}_{ji}$ , og bidrar ikke til noen endring i systemets totale impuls.

Eks: Sentralt støt [YF 8.2-8.4, LL 5.3]

Før:



(i)

Etter:



(f)

Vansett type støt er  $\Delta p = 0$

$$\Rightarrow \underbrace{m_A u_A + m_B u_B}_{P_i} = \underbrace{m_A u'_A + m_B u'_B}_{P_f}$$

Dvs:  $u_B < 0$  og  
 $u'_A < 0$  i figuren

Hvis støtet er elastisk, er  $\Delta K = 0$

$$\Rightarrow \frac{1}{2} m_A u_A^2 + \frac{1}{2} m_B u_B^2 = \frac{1}{2} m_A u'_A^2 + \frac{1}{2} m_B u'_B^2$$

Løses typisk ved å samle ledd med  $m_A$  og  $m_B$  på hver sin side og ta " $\Delta K = 0$ " / " $\Delta p = 0$ ":

$$m_A (u_A - u'_A) = m_B (u'_B - u_B) \quad (\Delta p = 0)$$

$$m_A (u_A^2 - u'^2_A) = m_B (u'^2_B - u_B^2) \quad \} \quad (\Delta K = 0)$$

$$\text{dvs } m_A (u_A + u'_A)(u_A - u'_A) = m_B (u'_B + u_B)(u'_B - u_B)$$

$$\Rightarrow u_A + u'_A = u_B + u'_B$$

$$\Rightarrow u'_A - u'_B = u_B - u_A = -(u_A - u_B)$$

$\Rightarrow$  partiklene relativhastighet skifter fortegn i kollisjonen

Kan videre bestemme  $u'_A$  og  $u'_B$  uten problemer.

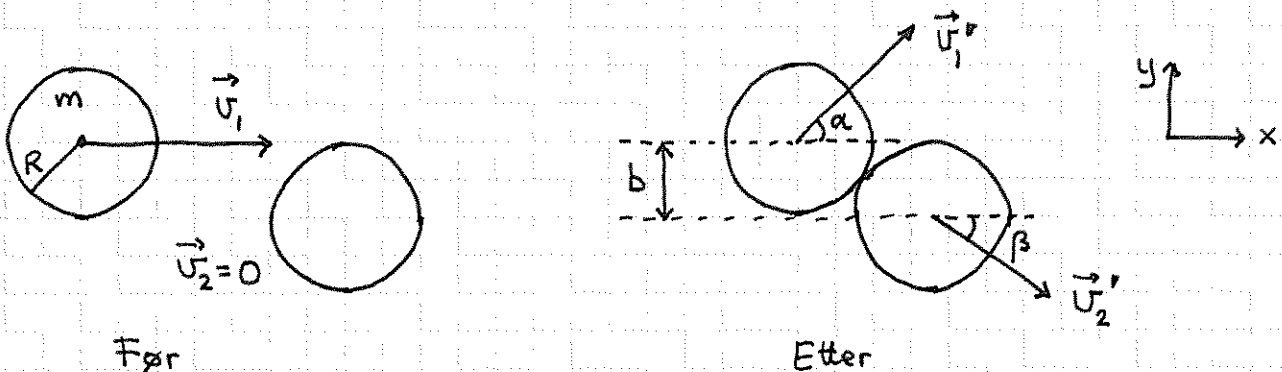
Hvis støtet er fullstendig uelastisk, er

$$U_A' = U_B' = \frac{m_A U_A + m_B U_B}{m_A + m_B} \quad (\text{Enkleste tilfelle!})$$

Hvis støtet er delvis uelastisk, har vi kun 1 ligning ( $\Delta p = 0$ ) for de 2 ukjente ( $U_A'$  og  $U_B'$ ). Løsning betinger dermed en ekstra opplysning, f.eks. kjent  $U_A'$ ,  $U_B'$ ,  $\Delta K, \dots$

Eks: Jekte-sentralt elastisk støt mellom to like kuler / pucker

[YF Ex 8.6 + 8.12, LL 5.3]



$$\vec{U}_1 = U_1 \hat{x}, \quad \vec{U}_2 = 0, \quad R = \text{kuleradius}$$

$b$  = støtparameter ("impact parameter"); inngår ikke i regningene nedenfor, men viktig størrelse i diskusjon av mer generelle kollisjoner (spredningsteori)

[Merk at hvis det ikke er friksjon i støtet, peker  $\vec{F}_{12}$  og  $\vec{F}_{21}$  langs linjen mellom kulenes sentrum, og  $\vec{U}_2'$  får retning gitt ved  $\sin \beta = b/2R$ . Da kan problemet løses fullstendig. Men generelt har vi friksjon mellom kulene.]

Vi har 4 ukjente skalare størrelser,

$$U_{1x}', U_{1y}', U_{2x}', U_{2y}' ; \text{ evt } U_1^*, U_2^*, \alpha, \beta$$

men bare 3 skalare ligninger,

$$\Delta p_x = 0, \quad \Delta p_y = 0, \quad \Delta K = 0$$

så ikke alle ukjente kan fastlegges.

Men vi kan finne ut en god del!

[La oss anta at kulene ikke blir relativt hverandre, slik at det ikke utføres noe friksjonsarbeid!]

$$\Delta p_x = 0 \Rightarrow U_1 = U_1^* \cos \alpha + U_2^* \cos \beta$$

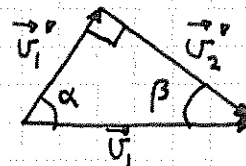
(kan forkorte felles faktor m i alle ledd)

$$\Delta p_y = 0 \Rightarrow 0 = U_1^* \sin \alpha - U_2^* \sin \beta$$

$$\text{eller i en smekk: } \Delta p = 0 \Rightarrow \vec{U}_1 = \vec{U}_1^* + \vec{U}_2^*$$

$$\Delta K = 0 \Rightarrow U_1^2 = U_1^{*2} + U_2^{*2}$$

Geometrisk:



$$\Rightarrow \alpha + \beta = \pi/2$$

$$\left. \begin{aligned} \Delta p_x = 0 &\Rightarrow U_2^* \cos \beta = U_1 - U_1^* \cos \alpha \\ \Delta p_y = 0 &\Rightarrow U_2^* \sin \beta = U_1^* \sin \alpha \end{aligned} \right\} \text{Kvadrér og addér!} \Rightarrow U_2^{*2} = U_1^2 - 2U_1 U_1^* \cos \alpha + U_1^{*2}$$

Som innsatt i  $\Delta K = 0$  gir  $U_1^* (U_1^* - U_1 \cos \alpha) = 0$ , som har 2 mulige løsninger:

a)  $U_1^* = 0$ . Da er  $U_2^* = U_1$ , dvs kule 1 og 2 bytter hastighet

b)  $U_1^* = U_1 \cos \alpha = U_1 \sin(\pi/2 - \alpha) = U_1 \sin \beta$ , som innsatt i  $\Delta p_y = 0$  gir

$$U_2^* \sin \beta = U_1 \sin \beta \sin \alpha \Rightarrow U_2^* = U_1 \sin \alpha$$

Da er det lett å se at vi har energibevarelse:

$$\left. \begin{aligned} K_1' &= \frac{1}{2} m U_1^*{}^2 = \frac{1}{2} m U_1^2 \cos^2 \alpha \\ K_2' &= \frac{1}{2} m U_2^*{}^2 = \frac{1}{2} m U_1^2 \sin^2 \alpha \end{aligned} \right\} \Rightarrow K' = K_1' + K_2' = \frac{1}{2} m U_1^2 = K_1 = K$$

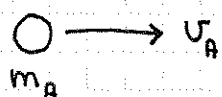
OK!

Eks: Ball som støter elastisk mot vegg

På s. 42 ble dette eksemplet diskutert i lys av at veggens påvirker ballen med et kraftstøt  $\vec{J} = \int \vec{F} \cdot dt$  slik at ballens impuls endres med beløpet  $\Delta \vec{p} = \vec{p}_f - \vec{p}_i = \vec{J}$ .

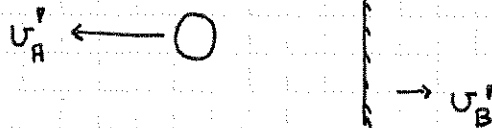
La oss nå i stedet inkludere veggens (og det som veggens er festet til, huset, og dermed hele jorda...) som en del av systemet og se på impuls- og energibevarelse.

Før:  
(i)



$m_B$  ( $m_B \gg m_A$ )  
 $v_B = 0$

Etter:  
(f)



$$\Delta p = 0 \Rightarrow m_A v_A = m_A v'_A + m_B v'_B$$

$$\Delta K = 0 \Rightarrow \frac{1}{2} m_A v_A^2 = \frac{1}{2} m_A v'_A^2 + \frac{1}{2} m_B v'_B^2$$

Gjør som på s 44  $\Rightarrow v_A + v'_A = v'_B$ ; settes inn for  $v'_B$  i  $\Delta p = 0$

$$\Rightarrow m_A v_A = m_A v'_A + m_B (v_A + v'_A)$$

$$\Rightarrow v'_A = \frac{m_A - m_B}{m_A + m_B} v_A; \text{ som innsatt for } v'_A \text{ i } v_A + v'_A = v'_B \text{ gir}$$

$$v'_B = \frac{2m_A}{m_A + m_B} v_A$$

De ulike impulsene og kinetiske energiene blir:

$$P_A^i = m_A v_A, P_A^f = m_A v_A (m_A - m_B) / (m_A + m_B)$$

$$P_B^i = 0, P_B^f = 2 m_A v_A m_B / (m_A + m_B)$$

$$K_A^i = \frac{1}{2} m_A v_A^2, \quad K_A^f = \frac{1}{2} m_A v_A^2 \left( \frac{m_A - m_B}{m_A + m_B} \right)^2$$

$$K_B^i = 0, \quad K_B^f = \frac{1}{2} m_B v_A^2 \left( \frac{2m_A}{m_A + m_B} \right)^2$$

Vi ser nå at vi har impulsbevarelse:

$$p^f = p_A^f + p_B^f = m_A v_A \frac{m_A - m_B + 2m_B}{m_A + m_B} = m_A v_A = p^i$$

Vi har også energibeharrelse:

$$K^f = K_A^f + K_B^f = \frac{1}{2} m_A v_A^2 \frac{(m_A - m_B)^2 + 4m_A m_B}{(m_A + m_B)^2} = \frac{1}{2} m_A v_A^2 = K^i$$

$\underbrace{\phantom{0}}_{=1}$

Nå lar vi  $m_B$  bli mye større enn  $m_A$ , mer presist  $m_B \rightarrow \infty$ .

Da blir:

$$p_A^f \rightarrow m_A v_A \cdot \frac{(-m_B)}{m_B} = -m_A v_A$$

$$p_B^f \rightarrow m_A v_A \cdot \frac{2m_B}{m_B} = 2 m_A v_A$$

$$K_A^f \rightarrow \frac{1}{2} m_A v_A^2 \cdot \left( \frac{-m_B}{m_B} \right)^2 = \frac{1}{2} m_A v_A^2$$

$$K_B^f \rightarrow \frac{1}{2} m_A v_A^2 \cdot \frac{4m_A m_B}{m_B^2} \xrightarrow{m_B \rightarrow \infty} 0$$

Konklusjon: Veggens får en endelig impuls  $p_B^f \approx 2 m_A v_A$  som følge av kollisjonen med ballen.

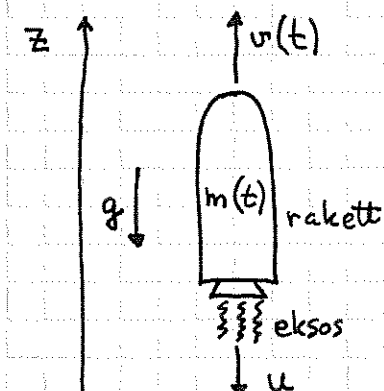
Veggens kinetiske energi  $K_B^f$ , derimot, blir lik null i grensen  $m_B \rightarrow \infty$ .

Veggens hastighet  $v_B^f \rightarrow 0$  siden  $v_A^f \rightarrow -v_A$ .

Merk: Vi kan skrive  $K_B^f = \frac{1}{2} m_B (p_B^f/m_B)^2 = (p_B^f)^2 / 2m_B$ , og da ser vi

uten videre at  $K_B^f = 0$  dersom  $p_B^f$  er endelig og  $m_B \rightarrow \infty$ .

## Eks: Variabel masse. Rakettprinsipp. [YF 8.6, LL 5.4]



Anta  $v(0) = 0$ ,  $m(0) = m_0$ ,  $-dm/dt$  er forbrukt drivstoff pr tidsenhet ( $dm < 0$ ), og  $u$  er eksosens hastighet relativt raketten (anta  $u > 0$ ).

Bruk N2 til å finne ligning for  $v(t)$ .

Løsning:

$p(t) = m(t)v(t) =$  impulsen til "restraketten" (dvs: rakett + gjenværende drivstoff) ved tid  $t$

$$\text{N2: } F_{\text{ytre}}(t) = \frac{dp}{dt} \quad \text{med} \quad F_{\text{ytre}} = -m(t)g$$

$\Rightarrow$  Vi må finne  $dp = p(t+dt) - p(t)$

$$p(t+dt) = \underbrace{[m(t) + dm] \cdot [v(t) + dv]}_{m(t+dt)} + \underbrace{(-dm) \cdot (v(t) - u)}_{\substack{\text{forbrukt} \\ \text{drivstoff} \\ \text{i løpet av } dt}}$$

eksosens hastighet  
relativt jorda

$$= m(t)v(t) + m(t)dv + dm \cdot v(t) - dm \cdot v(t) + dm \cdot u$$

( $+ dm \cdot dv$ , men dette bidraget er "dobbelt infinitesimalt" og kan negligeres; jf. det du gjør når du fins. deriverer  $x^2$ )

Dermed:

$$dp = p(t+dt) - p(t) = m(t)dv + u dm$$

$$\Rightarrow \boxed{\frac{dp}{dt} = m(t) \frac{dv}{dt} + u \frac{dm}{dt}}$$

Siden  $F_{\text{ytre}} = dp/dt$ , kan vi skrive dette på formen

$$\boxed{F_{\text{ytre}} + F_{\text{skyv}} = m(t) \frac{dv}{dt}}$$

$$\text{med } F_{\text{skyv}} = -u \frac{dm}{dt} > 0$$

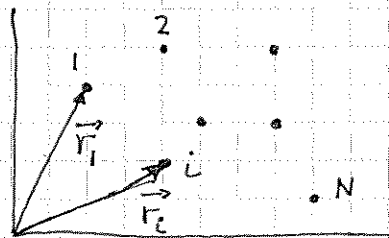
[Konkret  $m(t)$  + tallverdier i øving!]

# Motivasjonsforedrag nr 5 05.10.11

Bjørn Petter Felle, Sintef/NTNU:

Fysikk og nanoteknologi i husets fire vegger.

10.10.11 Tyngdepunkt [YF 8.5, LL 5.6 + 5.8]



System med  $N$  partikler,  $1, 2, \dots, N$

med masse  $m_1, m_2, \dots, m_N$   
i posisjon  $\vec{r}_1, \vec{r}_2, \dots, \vec{r}_N$

$$\vec{R}_{CM} \stackrel{\text{def}}{=} \frac{\sum_i m_i \vec{r}_i}{\sum_i m_i}$$

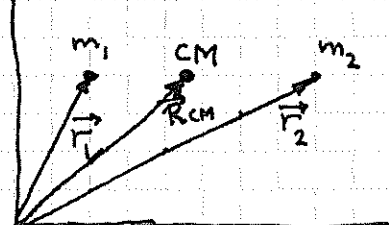
Tyngdepunkt (= massemiddelpunkt  
= massesenter; "center of mass")  
(YF:  $\vec{r}_{CM}$ , LL:  $\vec{R}$ )

(Hvis  $g$  varierer fra øverst til nederst i systemet,  
blir tyngdepunktet litt forskjellig fra massesenteret.)

Siden  $\sum_i m_i = M$  = total masse, har vi

$$\vec{R}_{CM} = \frac{1}{M} \sum_i m_i \vec{r}_i$$

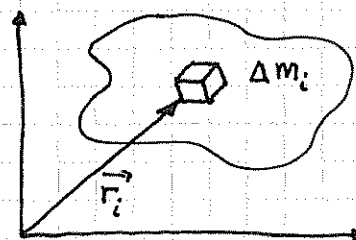
Eks:  $N=2$



$$\vec{R}_{CM} = \frac{m_1 \vec{r}_1 + m_2 \vec{r}_2}{m_1 + m_2} = \begin{cases} \frac{1}{2} (\vec{r}_1 + \vec{r}_2) &; m_1 = m_2 \\ \approx \vec{r}_1 &; m_1 \gg m_2 \\ \approx \vec{r}_2 &; m_2 \gg m_1 \end{cases}$$

# Kontinuerlig massefordeling [L1 6.1]

(51)



$$\vec{R}_{CM} = \frac{\sum_i \Delta m_i \vec{r}_i}{\sum_i \Delta m_i} \xrightarrow{\Delta m_i \rightarrow 0} \frac{\int dm \vec{r}}{\int dm}$$

der integralene går "over legemet".

$$\int dm \underset{\text{legemet}}{=} M = \text{legemets masse}$$

$$\Rightarrow \boxed{\vec{R}_{CM} = \frac{1}{M} \int \vec{r} dm \underset{\text{legemet}}{}}$$

Kan ha 3-, 2- og 1-dimensjonale legemer (f.eks kloss, skive, stang):

$$3D: dm = g \cdot dV, g = \text{masse pr volumenhet}, [g] = \text{kg/m}^3$$

$$2D: dm = \sigma \cdot dA, \sigma = \text{flateenhet}, [\sigma] = \text{kg/m}^2$$

$$1D: dm = \lambda \cdot dl, \lambda = \text{lengdeenhet}, [\lambda] = \text{kg/m}$$

$$dV = \text{volumelement} \quad (dV = dx \cdot dy \cdot dz \text{ i kartesiske koord.})$$

$$dA = \text{flateelement} \quad (dA = dx \cdot dy \quad \text{" " } \quad )$$

$$dl = \text{Lengdeelement} \quad (dl = dx \quad \text{" " } \quad )$$

Formen på legemet (typen symmetri) er avgjørende

for hva slags koordinater som er hensiktsmessig.

## N2 for system med flere partikler. Tyngdepunktbevegelse.

52

[YF 8.5, LL 5.8]

$$\ddot{\vec{r}}_i = \vec{F}_{i,ytre} + \sum_{j \neq i} \vec{F}_{ji}$$

der  $\vec{F}_{ji}$  = kraft fra partikkel j på partikkel i, slik at

$\sum_{j \neq i} \vec{F}_{ji}$  = total(indre) kraft på part. i fra alle andre part. i systemet

Bruker nå def. av  $\vec{R}_{CM}$  (fra s 50), tar  $\frac{d^2}{dt^2}$  på begge sider og ganger med M. Dermed:

$$\ddot{\vec{R}}_{CM} = \sum_i m_i \ddot{\vec{r}}_i = \sum_i \left\{ \vec{F}_{i,ytre} + \sum_{j \neq i} \vec{F}_{ji} \right\}$$

$$\begin{aligned} \sum_i \sum_{j \neq i} \vec{F}_{ji} &= \vec{F}_{21} + \vec{F}_{31} + \dots + \vec{F}_{N1} \\ &\quad + \vec{F}_{12} + \vec{F}_{32} + \dots + \vec{F}_{N2} \\ &\quad + \vec{F}_{13} + \vec{F}_{23} + \dots + \vec{F}_{N3} \\ &\quad + \dots \\ &\quad + \vec{F}_{1N} + \vec{F}_{2N} + \dots + \vec{F}_{N-1,N} \\ &= \underbrace{\vec{F}_{21} + \vec{F}_{12}}_{=0} + \underbrace{\vec{F}_{31} + \vec{F}_{13}}_{=0} + \dots + \underbrace{\vec{F}_{N,N-1} + \vec{F}_{N-1,N}}_{=0} = 0 \end{aligned}$$

(pga N3!)

Kortversjonen av dette:

$$\sum_i \sum_{j \neq i} \vec{F}_{ji} = \frac{1}{2} \sum_i \sum_{j \neq i} \left\{ \vec{F}_{ji} + \vec{F}_{ij} \right\} = 0$$

Dermed:

$$\ddot{\vec{R}}_{CM} = \vec{F}_{ytre}$$

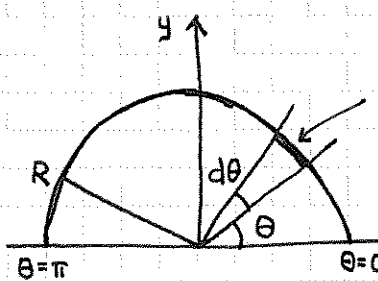
der  $\vec{F}_{ytre} = \sum_i \vec{F}_{i,ytre}$

Altså: Tyngdepunktet,  $\vec{R}_{CM}$ , til et system med flere partikler (f.eks et stift legeme) beveger seg som om hele massen,  $M$ , er samlet i  $\vec{R}_{CM}$  og blir utsatt for summen av alle ytre krefter,  $\vec{F}_{ytre}$ , som virker på systemet.

Dermed: Systemets totale bevegelse blir bevegelsen til CM, gitt ved  $M\vec{R}_{CM} = \vec{F}_{ytre}$ , pluss eventuell bevegelse relativt CM, slik som rotasjon og vibrasjon.

Eksempler på bestemmelse av  $R_{CM}$ :

1D-eks: Halvsirkel, radius  $R$ , masse  $\lambda$  pr lengdeenhet



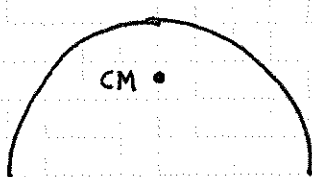
buelengde  $dl = R d\theta$ , masse  $dm = \lambda dl = \lambda R d\theta$ , posisjon  $x = R \cos\theta$ ,  $y = R \sin\theta$

$$\vec{R}_{CM} = X_{CM} \hat{x} + Y_{CM} \hat{y}; \text{ ser at } X_{CM} = 0 \text{ av symmetrirunner}$$

$$Y_{CM} = \frac{1}{M} \int y dm = \frac{1}{M} \int R \sin\theta \lambda R d\theta = \frac{\lambda R^2}{M} \left[ -\cos\theta \right]_0^\pi = \frac{2\lambda R^2}{M} = 1+1=2$$

$$M = \frac{1}{2} (2 \cdot 2\pi R) = \lambda \pi R$$

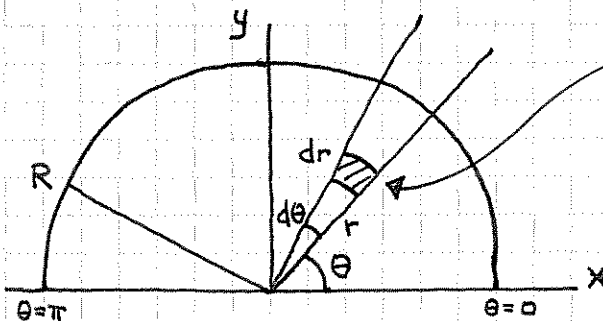
$$\Rightarrow Y_{CM} = \frac{2}{\pi} R \approx 0.64 R$$



Thomas Langø, Sintef:

Avbildning og navigasjon i kikkhulskirurgi

12.10.11

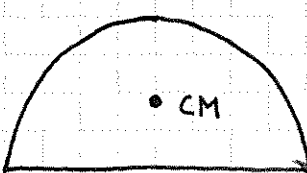
2D-eks: Halvsirkelplate, masse  $\sigma$  pr flateenhetflateelement  $dA = dr \cdot r d\theta$ ,masse  $dm = \sigma dA = \sigma dr r d\theta$ ,posisjon  $x = r \cos \theta$ ,  $y = r \sin \theta$ Igjen: ser at  $X_{CM} = 0$  av symmetrigrunner

$$Y_{CM} = \frac{1}{M} \int y dm = \frac{1}{M} \int_{r=0}^R \int_{\theta=0}^{\pi} r \sin \theta \sigma dr r d\theta$$

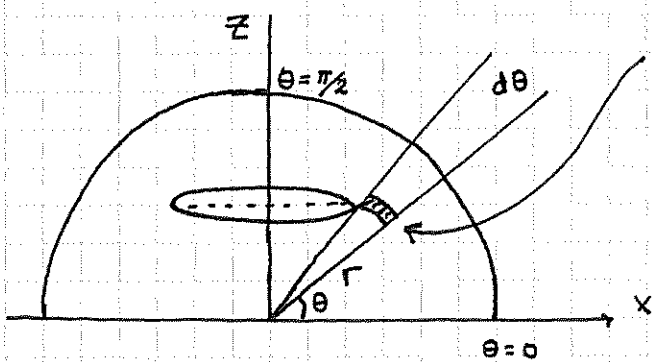
$$= \frac{\sigma}{M} \underbrace{\int_0^R r^2 dr}_{\frac{1}{3} R^3} \underbrace{\int_0^{\pi} \sin \theta d\theta}_{2} = \frac{2 \sigma R^3}{3 M}$$

$$M = \frac{1}{2} \cdot (\sigma \cdot \pi R^2)$$

$$\Rightarrow Y_{CM} = \frac{4}{3\pi} R \approx 0.42 R$$



3D-eks: Halvkule, masse  $g$  pr volumenhet



flateelement  $dA = dr \cdot r d\theta$ ,  
roteres omkring  $z$ -aksen, gir  
volumelement  $dV = dA \cdot 2\pi x$   
 $= dA \cdot 2\pi \cdot r \cos \theta$ ,  
med  ~~$z = r \sin \theta$~~  felles  
for hele "ringen"

Av symmetrigrunner er  $X_{CM} = Y_{CM} = 0$ .

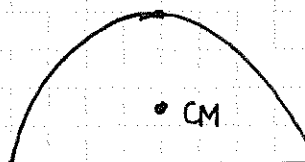
$$Z_{CM} = \frac{1}{M} \int z dm = \frac{1}{M} \int_{r=0}^R \int_{\theta=0}^{\pi/2} r \sin \theta \cdot g \cdot dr \cdot r \cdot d\theta \cdot 2\pi r \cos \theta$$

(Merk: Må her integrere  $\theta$  fra 0 til  $\pi/2$  for å dekke "kvartskiva" i "1.kvadrant". Når denne roteres om  $z$ -aksen, dekkes volumet til halvkula.)

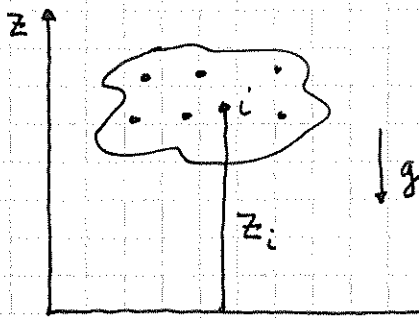
$$M = \frac{1}{2} \cdot g \cdot \frac{4}{3} \pi R^3 = \frac{2}{3} g \pi R^3$$

$$Z_{CM} = \frac{3}{2g\pi R^3} \int_0^R r^3 dr \int_0^{\pi/2} \sin \theta \cos \theta d\theta = \frac{3}{8} R = 0.375 R$$

$$\int_0^{\pi/2} \sin \theta \cos \theta d\theta = \frac{1}{2} \int_0^{\pi/2} \sin^2 \theta d\theta = 1/2$$



Eks: Tyngdens potensielle energi for partikkelsystem



Velger  $V=0$  ved  $z=0$

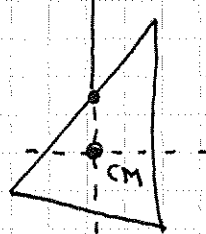
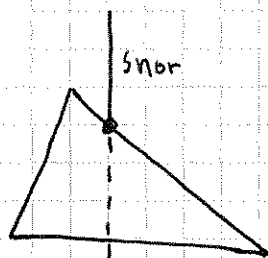
$U_i = m_i g z_i =$  pot. energi for masse  $m_i$

$$\Rightarrow U = \sum_i U_i = \sum_i m_i g z_i = g \sum_i m_i z_i \\ = g \cdot M \cdot z_{CM}$$

Dvs: som om hele massen  $M = \sum m_i$  er samlet

$$z_{CM} = \frac{1}{M} \sum_i m_i z_i$$

Eks: Eksperimentell bestemmelse av CM

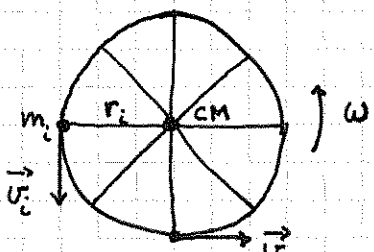


# Rotasjon

[YF 9+10, LL 5.5+5.9, 6]

Innledning:

- roterende sykkelhjul



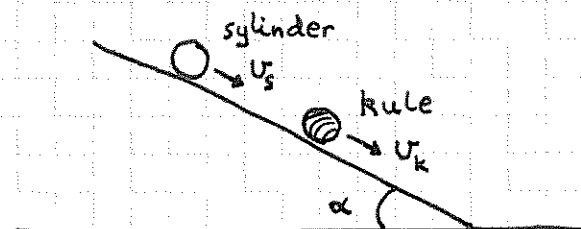
$CM \dot{=} ro$ , men rotasjonsenergi  $\sum_i \frac{1}{2} m_i v_i^2$

$\omega = v_i / r_i = \text{vinkelhastighet}$  (kjent!)

Hva med impuls knyttet til rotasjon?

Dreieimpuls! (Evt: spinn)

- rulling på skråplan



Hvilke krefter virker?

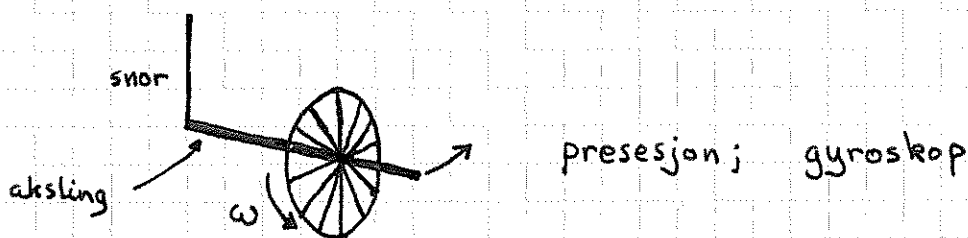
N2 og rotasjon; rotasjondynamikk

Hvor angriper kraftens?

Dreiemoment = "arm  $\times$  kraft"

Hvorfor er  $v_k > v_s$ ? Hvorfor rulling? Friksjonens rolle.

- komplisert dynamikk



$$\omega_3 = 2\pi/24h$$

- dynamikk i roterende koordinatsystem

Foucaults pendel

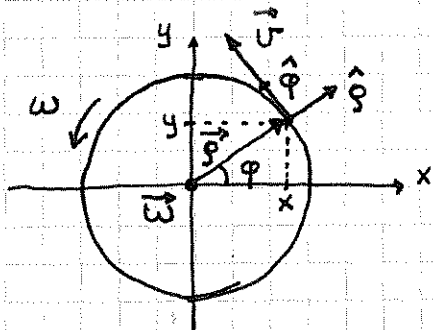
Corioliskrefter  $\Rightarrow$  avbøyning (mot høyre på nordlige halvkule)



Vi skal stort sett diskutere stive legemer  $\stackrel{\text{def}}{=}$  system med

punktmasser i fast innbyrdes avstand. [Senere: også vibrasjon]

Anta rotasjon omkring  $\hat{z}$ .



$$x = \rho \cos \varphi, \quad y = \rho \sin \varphi, \quad \rho = \sqrt{x^2 + y^2}$$

$$\varphi = \arctan(y/x) = \arccos(x/\rho) = \arcsin(y/\rho)$$

$$\vec{v} = d\vec{s}/dt = (\rho d\varphi/dt) \hat{\varphi} = \rho \dot{\varphi} \hat{\varphi}$$

$$\omega = \frac{d\varphi}{dt} = \dot{\varphi} = \text{vinkelhastighet}$$

$\vec{\omega}$  langs rotasjonsaksen, fortegn ifølge høyrehåndsregel

$$\vec{v} = \vec{\omega} \times \vec{g} \quad (\text{i figur: } \vec{v} = \rho \dot{\varphi} \hat{\varphi}, \vec{\omega} = \dot{\varphi} \hat{z}, \vec{g} = g \hat{g})$$

$$T = 2\pi/\omega = \text{periode}, \quad f = 1/T = \omega/2\pi = \text{frekvens}$$

$$\alpha = \ddot{\omega} = \ddot{\varphi} = \text{vinkelakselerasjon}$$

$$v = |\vec{v}| = \omega \rho = \text{banehastighet}$$

$$a_{||} = \vec{v} \cdot \vec{\omega} = \dot{\omega} \rho = \alpha \rho = \text{baneakselerasjon}$$

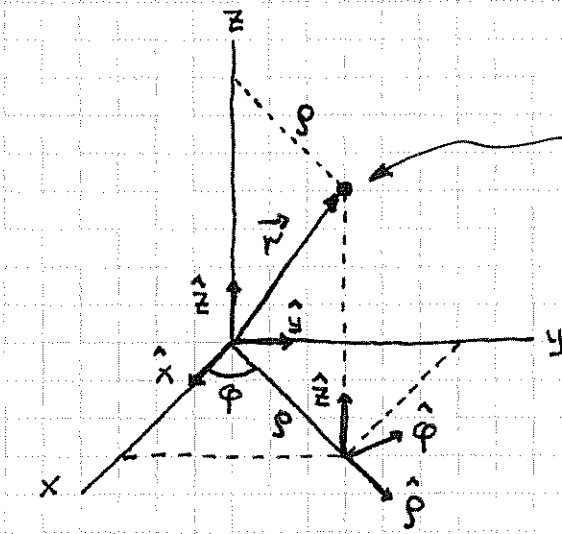
$$a_{\perp} = v^2/\rho = \omega v = \omega^2 \rho = \text{sentripetalaks.}$$

$$\vec{a}_{\perp} = \vec{\omega} \times \vec{v} = \vec{\omega} \times (\vec{\omega} \times \vec{g}) \quad (\text{se øving})$$

$$\vec{a}_d = a_{||} \hat{\varphi} - a_{\perp} \hat{g} = \text{total akselerasjon}$$

Rotasjon om gitt akse,  $\vec{\omega} = \omega \hat{z}$ , gir det naturlig med sylinderkoordinater.

## Sylinderkoordinater



del av stift legeme (punktmasse)

Kartesiske koord.:  $\vec{r} = \hat{x}\hat{x} + \hat{y}\hat{y} + \hat{z}\hat{z}$

Sylinderkoord.:  $\vec{r} = \hat{g}\hat{g} + \hat{z}\hat{z}$

Merk:  $\hat{x}, \hat{y}, \hat{z}$  er faste enhetsvektorer,  
men  $\hat{g} = \hat{g}(\varphi)$  og  $\hat{\varphi} = \hat{\varphi}(\varphi)$

Relasjoner:  $x = g \cos \varphi, y = g \sin \varphi, z = z$

$$g = \sqrt{x^2 + y^2}, \quad \varphi = \arctan(y/x)$$

$$r = \sqrt{g^2 + z^2} = \sqrt{x^2 + y^2 + z^2}$$

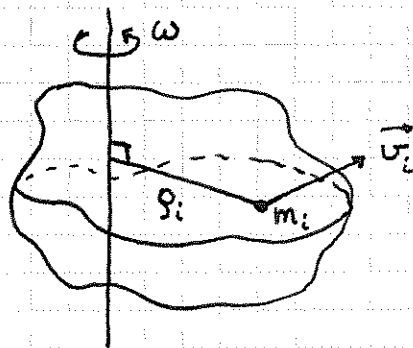
For stift legeme:

- alle m: samme  $\omega$  og  $\alpha$
- $v = \omega g$  øker med  $g$
- $a_{\perp} = \omega^2 g$  — " —
- $a_{\parallel} = \alpha g$  — " —

# Rotasjonsenergi [YF 9.4, LL 6.4]

(60)

Anta rotasjon om fast akse (f.eks. gjennom  $\vec{R}_{CM}$ , men ikke nødvendigvis) :



$$K = \sum_i \frac{1}{2} m_i v_i^2$$

$$v_i = \omega g_i$$

$$= \frac{1}{2} \left\{ \sum_i m_i g_i^2 \right\} \omega^2$$

$$\Rightarrow \sum_i m_i g_i^2 \text{ trer fram som en sentral størrelse!}$$

## Treghetsmoment [YF 9.4, LL 6.3]

"moment of inertia"

$$I \stackrel{\text{def}}{=} \sum_i m_i g_i^2$$

= legemets treghetsmoment om gitt akse,

$g_i = m_i$  sin avstand fra rotasjonsaksen

Dus:  $I$  avhenger av valgt akse

Hvis kontinuerlig massefordeling:  $m_i \rightarrow dm$   $\xrightarrow{\Delta m_i \rightarrow 0}$

$$\Rightarrow I = \int g^2 dm$$

legemet

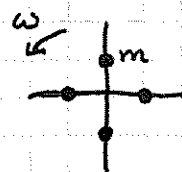
$g = dm$  sin avst. fra aksen

$dm = \lambda dl$  (1D),  $\sigma dA$  (2D),  $\rho dV$  (3D)

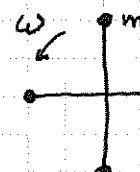
Dermed:  $K_{rot} = \frac{1}{2} I \omega^2$  (jf  $K_{trans} = \frac{1}{2} M V^2$ )

Hit 17.10.11 Motivasjonsforedrag nr 7 17.10.11: Andreas Wahl, "Universet på 42 minutter - fysikkstudent spesial"

Eks fra real-/teknostart:



liten  $g$   
uten  $K_{rot}$



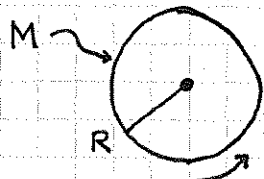
stor  $g$   
stor  $K_{rot}$

Dus:  $K_{rot}$  avhenger av massens fordeling!

Eksempler på beregning av  $I_o = \int g^2 dm$

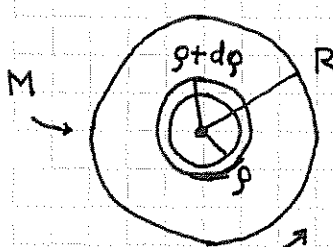
= treghetsmoment om symmetriakse gjennom CM

Eks 1: Tynn ring (f.eks sykkelhjul,  $m_{eller} \ll m_{felg} \approx M$ )



$$I_o = \int g^2 dm = R^2 \int dm = MR^2$$

Eks 2: Tynn skive, radius R



$$dm = \sigma dA = \sigma 2\pi g dg, \quad \sigma = M/\pi R^2$$

[Evt:  $dm = \text{total masse} \cdot \text{arealandel}$

$$= M \cdot (dA/A) = M \cdot (2\pi g dg / \pi R^2)]$$

$$\Rightarrow I_o = \int g^2 dm = \int_0^R g^2 M \frac{2\pi g dg}{\pi R^2} = \frac{2M}{R^2} \underbrace{\int_0^R g^3 dg}_{\frac{1}{4} R^4} = \frac{1}{2} MR^2$$

Eks 1a: Tynn sylinder  $\Rightarrow$  som eks 1  $\Rightarrow I_o = MR^2$

Eks 2a: Kompakt  $\rightarrow$   $\Rightarrow$  som eks 2  $\Rightarrow I_o = \frac{1}{2} MR^2$

Eks 3: Tynt kuleskall:  $I_o = \frac{2}{3} MR^2$

Eks 4: Kompakt kule:  $I_o = \frac{2}{5} MR^2$

Eks 5: Tynn rett stang, lengde L:  $I_o = \frac{1}{12} ML^2$



Eks 6: Om akse gjennom stangas ende:  $I = \frac{1}{3} ML^2$



## Treghetsradius $R_a$

$I_o = MR_a^2$ ; dvs som om hele massen  $M$  ligger i avstand

$R_a$  fra aksen (LL bruker  $\Gamma$  for treghetsradius)

Eks: Ring:  $R_a = R$ ; Skive:  $R_a = R/\sqrt{2}$ ; Kuleskall:  $R_a = \sqrt{\frac{2}{3}} R$ ;

Tynn stang:  $R_a = L/\sqrt{12}$

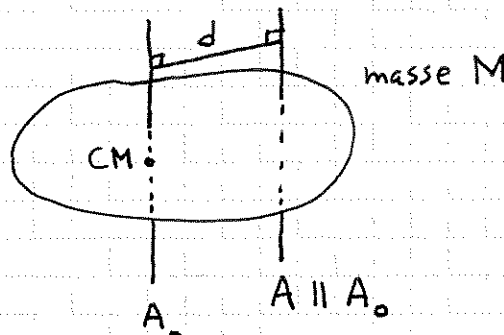
## Enhet for treghetsmoment

$$[I] = [m \cdot r^2] = \text{kg} \cdot \text{m}^2$$

## Steiners sats [YF 9.5, LL 6.3]

(Jakob Steiner, sveitsisk matematiker)

Evt: parallelaksseteoremet



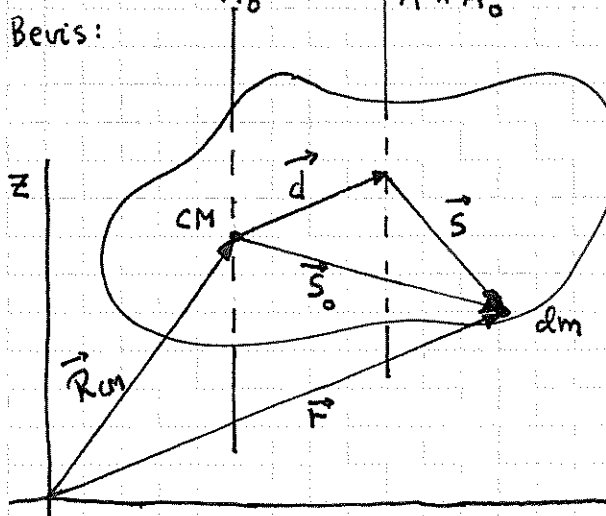
$I_o$  = treghetsmoment om  $A_0$

$$I = \dots \quad A \parallel A_0$$

$d$  = avstand mellom  $A_0$  og  $A$

$$\text{Da er } I = I_o + Md^2$$

Beweis:



Relasjoner mellom vektorer:

$$\vec{r} = \vec{R}_{CM} + \vec{s}_0$$

$$\vec{s}_0 = \vec{d} + \vec{s}$$

$$\vec{s}_0 = \vec{g}_0 + \vec{z}_0$$

$$\vec{s} = \vec{g}_0 + \vec{z}$$

$$\vec{z} = \vec{z}_0 \quad (\vec{d} \perp \vec{z})$$

$$\Rightarrow \vec{g} - \vec{g}_0 = \vec{s} - \vec{s}_0 = -\vec{d}$$

$$\Rightarrow \vec{g} = \vec{g}_0 - \vec{d}$$

Treghtsmoment om A blir da:

$$I = \int g^2 dm = \underbrace{\int g_0^2 dm}_{= I_0} + d^2 \int dm - 2\vec{d} \cdot \int \vec{g}_0 dm = M$$

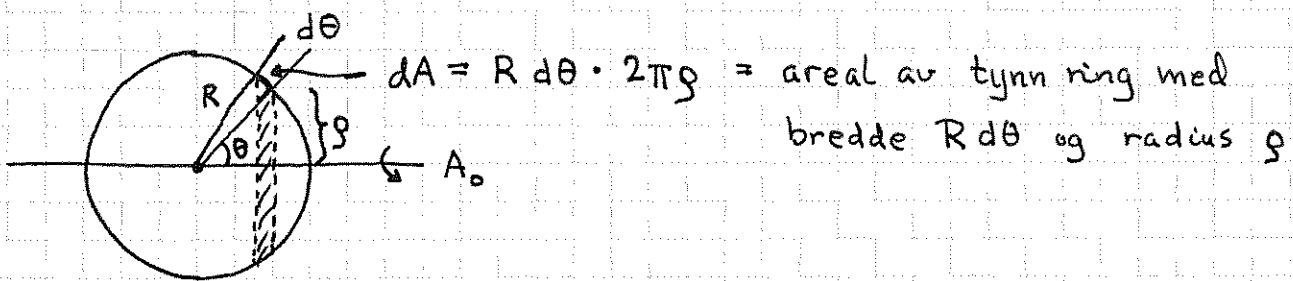
Siste ledd:

$$\begin{aligned} \vec{d} \cdot \int \vec{g}_0 dm &= \vec{d} \cdot \int (\vec{s}_0 - \vec{z}_0) dm = \vec{d} \cdot \int \vec{s}_0 dm \\ &= \vec{d} \cdot \int (\vec{r} - \vec{R}_{CM}) dm = \vec{d} \cdot \underbrace{\int \vec{r} dm}_{= M \cdot \vec{R}_{CM}} - \vec{d} \cdot \vec{R}_{CM} \int dm = 0 \\ \Rightarrow I &= I_0 + M d^2 \quad \text{qed} \end{aligned}$$

NB! Beviset for Steiners  
sats ble feil, på tavla.  
Beklager! Men her er det  
ok!

Et par tips til øving 8:

$I_0$  for tynt kuleskall:



$I_0$  for kompakt kule:

Kompakt kule = sum av mange tynne kuleskall med radius  $r$ , tykkelse  $dr$ , og dermed volum  $dV = 4\pi r^2 dr$  og masse  $dm = M \cdot dV / V$ , der  $V =$  kulerolumet

## Kinetisk energi for stive legemer [YF 10.3, LL 6.6]

(64)

Fra s. 60:  $K_{\text{rot}} = \frac{1}{2} I \omega^2$  når legemet roterer om fast akse.

Mer generell bevegelse vil være translasjon + rotasjon, f.eks hul som ruller. Total kinetisk energi er da

$$K = K_{\text{trans}} + K_{\text{rot}} = \frac{1}{2} MV^2 + \frac{1}{2} I_0 \omega^2$$

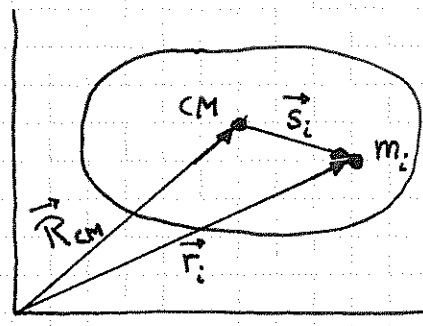
Her er  $M$  = legemets masse

$\vec{V} = \dot{\vec{R}}_{\text{CM}}$  = hastigheten til legemets tyngdepunktet

$I_0$  = treghetsmomentet om en akse gjennom CM

$\omega$  = vinkelhastigheten for legemets bevegelse relativt CM

Beweis:



$$\begin{aligned} K &= \frac{1}{2} \sum_i m_i \vec{v}_i^2 = \frac{1}{2} \sum_i m_i (\dot{\vec{r}}_i + \dot{\vec{s}}_i)^2 \\ &= \frac{1}{2} \sum_i m_i (\vec{R}_{\text{CM}} + \vec{s}_i) \cdot (\vec{R}_{\text{CM}} + \vec{s}_i) \\ &\quad \parallel \vec{V} \quad \parallel \vec{u}_i \\ &= \frac{1}{2} \sum_i m_i (V^2 + u_i^2 + 2 \vec{V} \cdot \vec{u}_i) \end{aligned}$$

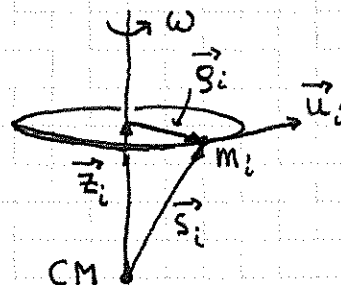
Siste ledd:  $\sum_i m_i \vec{V} \cdot \vec{u}_i = \vec{V} \cdot \frac{d}{dt} \sum_i m_i \vec{s}_i = 0$ , siden

$$\sum_i m_i \vec{s}_i = \sum_i m_i (\vec{r}_i - \vec{R}_{\text{CM}}) = M \vec{R}_{\text{CM}} - M \vec{R}_{\text{CM}} = 0$$

$$\text{Første ledd: } \frac{1}{2} \sum_i m_i V^2 = \frac{1}{2} MV^2$$

Andre ledd (beregelsen relativt CM):

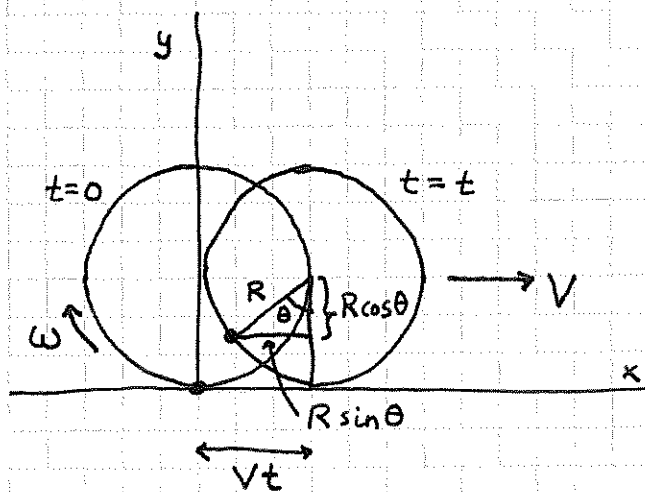
For stift legeme, ren rotasjon om akse gjennom CM (bevises ikke her!)



$$\vec{u}_i = \vec{s}_i = \vec{z}_i + \vec{g}_i = \vec{g}_i = g_i \omega \hat{\phi}$$

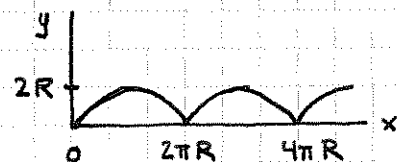
$$\Rightarrow \frac{1}{2} \sum_i m_i \vec{u}_i^2 = \frac{1}{2} \underbrace{\sum_i m_i g_i^2}_{= I_0} \omega^2 = \frac{1}{2} I_0 \omega^2$$

Ved ren rulling følger punktet på periferien en sykloide:



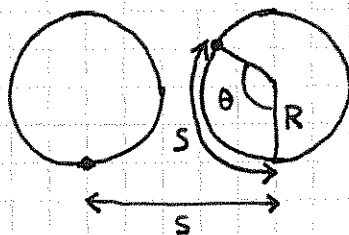
$$x(t) = Vt - R \sin \theta = Vt - R \sin \omega t$$

$$y(t) = R - R \cos \theta = R(1 - \cos \omega t)$$



[Demo: Sykkelfelt m/krift på tavla.]

$$\dot{x} = V - R\omega \cos \omega t, \quad \dot{y} = R\omega \sin \omega t$$

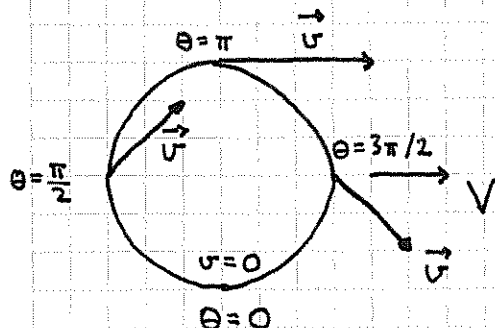


$$s = R\theta$$

$$\begin{aligned} V &= \dot{s} = R\dot{\theta} = R\omega \\ A &= \ddot{s} = R\ddot{\theta} = R\dot{\omega} = R\alpha \end{aligned} \quad \left. \begin{array}{l} \text{rullebetingelser} \\ \text{ } \end{array} \right\}$$

Dermed:

$$\vec{v}(\theta) = \hat{x} V(1 - \cos \theta) + \hat{y} V \sin \theta$$



$$\vec{v}(\pi/2) = V\hat{x} + V\hat{y}$$

$$\vec{v}(\pi) = 2V\hat{x}$$

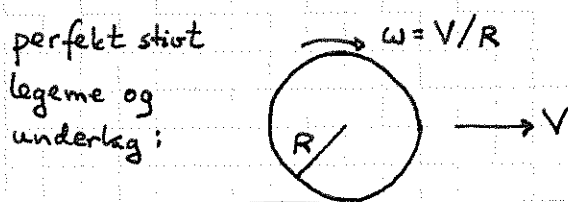
$$\vec{v}(3\pi/2) = V\hat{x} - V\hat{y}$$

$$\text{Kinetisk energi: } K = \frac{1}{2} MV^2 + \frac{1}{2} I_0 \omega^2$$

$$\omega = \frac{V}{R}, \quad I_0 = c \cdot MR^2 \quad (\text{ring: } c=1, \text{ skive: } c=\frac{1}{2}, \text{ kule: } c=\frac{2}{5})$$

$$\Rightarrow K = (1+c) \frac{1}{2} M V^2$$

## Friksjon ved rulling:

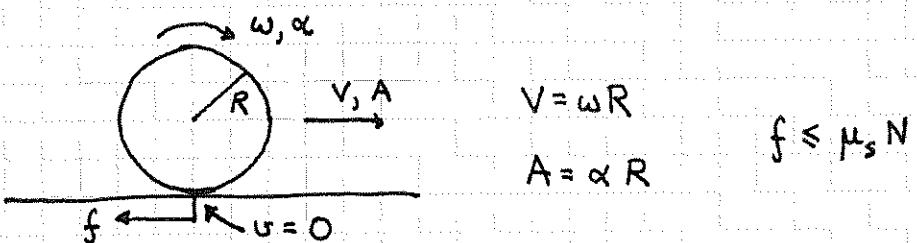


kontaktpunktet i ro  $\Rightarrow W_f = \int \vec{f} \cdot d\vec{r} = 0$

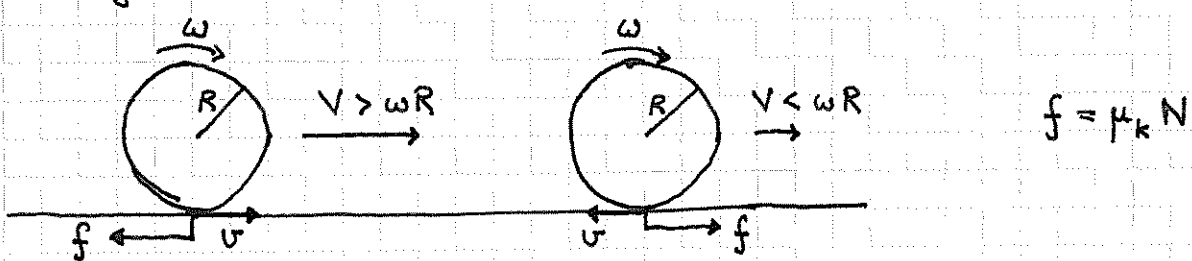
$$\Rightarrow \boxed{\mu_r = 0}$$

Men (statisk) friksjon  $\mu_s$  sørger for rulling, og  $\mu_s$  må være stør nok for å gi ren rulling.

Ren rulling:



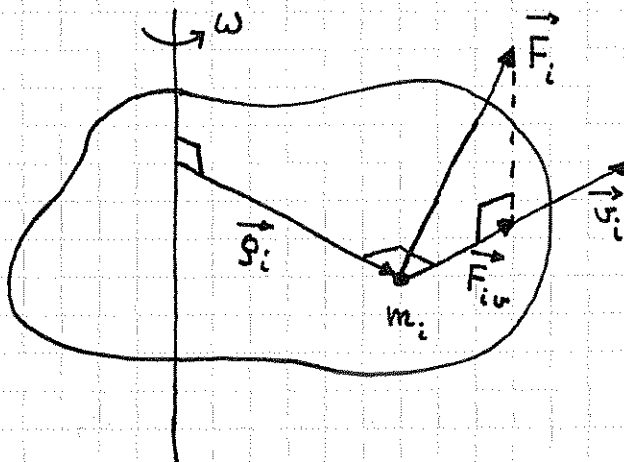
Sluring:



Som før er f rettet mot (potensiell) relativ bevegelse i kontaktpunktet.

## Rotasjonsdynamikk

Starter "enkelt" og ser på rotasjon av stiftt legeme om fast akse:



$$\vec{v}_i = \vec{s}_i \omega \hat{\phi}_i = \text{hastigheten}$$

til  $m_i$ :

$$\vec{g}_i = \vec{s}_i \hat{s}_i = \text{avstand fra}\newline \text{aksen til } m_i$$

$$\vec{F}_i = \text{netto ytre kraft på } m_i$$

$$\vec{F}_{ir} = \text{komponenten av } \vec{F}_i \text{ langs } \vec{v}_i$$

Total effekt  $\mathcal{P}$  tilført legemet:

$$\mathcal{P} = \frac{dW}{dt} = \sum_i \vec{F}_i \cdot \vec{v}_i = \sum_i F_{ir} s_i \omega = \omega \sum_i F_{ir} s_i$$

Gir endring i kinetisk energi  $K_{\text{rot}} = \frac{1}{2} I \omega^2$  ( $I = \text{treghetsmoment}$ ):

$$\mathcal{P} = \frac{dK_{\text{rot}}}{dt} = \frac{d}{dt} \left( \frac{1}{2} I \omega^2 \right) = I \omega \frac{d\omega}{dt}$$

Dermed:

$$\sum_i F_{ir} s_i = I \dot{\omega}$$

Dreiement (= Kraftmoment):

$$\tau_i = F_{ir} s_i = \text{kraftens dreiement om rotasjonsaksen}$$

der  $F_{ir}$  = kraftens komponent langs  $\vec{v}_i$

$s_i$  = kraftens arm

$$\tau = \sum_i \tau_i = \text{totalt dreiement om rot. aksen}$$

$\Rightarrow$

$$\boxed{\tau = I \dot{\omega}}$$

N2 for rotasjon om fast aks

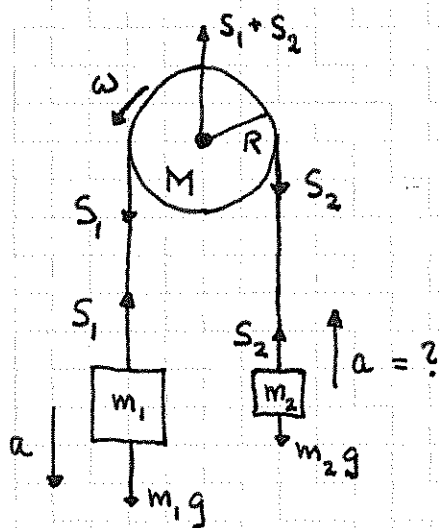
$$\text{Jf } F = M \dot{v}, \text{ N2 for translasjon (1D)}$$

$$\frac{dW}{dt} = \omega \cdot \tau, \quad \omega = \frac{d\varphi}{dt}$$

$$\Rightarrow dW = \tau d\varphi = \text{arbeid utført av } \tau \text{ ved rotasjon } d\varphi$$

$\int f \, dW = F \, ds = \text{arbeid utført av } F \text{ ved forflytning } ds$  (ID)

Eks 1: Atwoods maskin (Bring 8, oppg 3) [Demo!]



$$N2 \text{ for } m_1: m_1 g - S_1 = m_1 a$$

$$- " - m_2: S_2 - m_2 g = m_2 a$$

⇒ To ligninger, tre ukjente ( $S_1, S_2, a$ )!

Lign. nr 3: N2 for skivens rotasjon

$$\tau = I_o \dot{\omega}; \quad I_o = \frac{1}{2} MR^2$$

$$\text{Snora gir ikkee } \Rightarrow \omega = \omega R \Rightarrow a = \omega R$$

$$\text{Netto dreiemoment på skiva (fra snora): } \tau = S_1 \cdot R - S_2 \cdot R$$

$$\Rightarrow (S_1 - S_2) R = \frac{1}{2} MR^2 \cdot \frac{R}{R} = \frac{1}{2} MR^2 a \Rightarrow S_1 - S_2 = \frac{1}{2} Ma$$

$$N2 \text{ for } m_1 \Rightarrow S_1 = m_1 g - m_1 a$$

$$N2 \text{ for } m_2 \Rightarrow S_2 = m_2 g + m_2 a$$

$$\Rightarrow m_1 g - m_1 a - (m_2 g + m_2 a) = \frac{1}{2} Ma$$

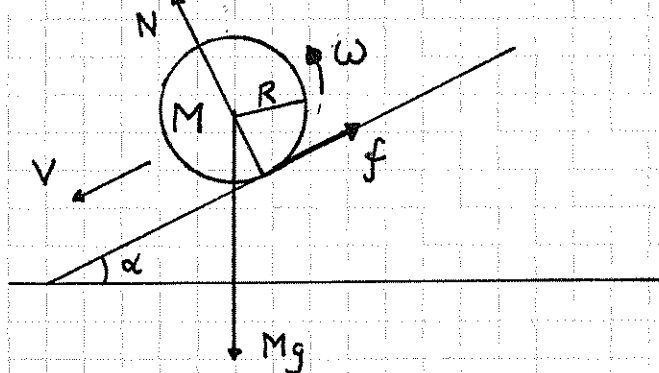
$$\Rightarrow (m_1 - m_2) g = (m_1 + m_2 + M/2) a$$

$$\Rightarrow a = \frac{m_1 - m_2}{m_1 + m_2 + M/2} g \quad (\text{som vi fant med energibetraktning})$$

26.10.11

69

## Eks 2: Rulling på skråplan



Ingen beregelse + skræplet

$$\Rightarrow a_{\perp} = 0 \Rightarrow N = Mg \cos \alpha$$

N2 Langs skräplet:  $Mg \sin \alpha - f = M \dot{v}$  (tyngdepunkt-beregelsen)  
 (1 lign., 2 ukjente:  $f$  og  $\dot{v}$ )

N2 for rot. om akse gjennom CM:

$$\tau = f \cdot R = I_0 \cdot \dot{\omega} \stackrel{\text{ren rulling}}{=} I_0 \cdot \dot{v} / R \Rightarrow f = I_0 \cdot \dot{v} / R^2$$

$$\Rightarrow Mg \sin \alpha - I_0 \cdot \dot{v} / R^2 = M \dot{v}$$

$$\Rightarrow \dot{v} = \frac{g \sin \alpha}{1 + I_0 / MR^2}$$

$$f = \frac{I_0}{R^2} \cdot \dot{v} = \frac{Mg \sin \alpha}{1 + MR^2 / I_0}$$

$$f_{\max} = \mu_s N = \mu_s Mg \cos \alpha$$

$$\Rightarrow \mu_s \text{ må minst være } \mu_s^{\min} = \frac{\tan \alpha}{1 + MR^2 / I_0} \text{ for å få ren rulling}$$

	$I_0 / MR^2$	$\dot{v}$	$\mu_s^{\min}$
Kule	$2/5$	$\frac{5}{7} g \sin \alpha$	$\frac{3}{7} \tan \alpha$
Skiire	$1/2$	$\frac{2}{3} g \sin \alpha$	$\frac{1}{3} \tan \alpha$
Ring	$1$	$\frac{1}{2} g \sin \alpha$	$\frac{1}{2} \tan \alpha$

Demo:

Kapplopp på skräplet.

Mekanisk likevekt

[YF 11.1-11.3, LL 7.1]

N1, translasjon:

$$\vec{F} = \sum_i \vec{F}_i = \vec{0} \Rightarrow \vec{V} = \text{konst.}$$

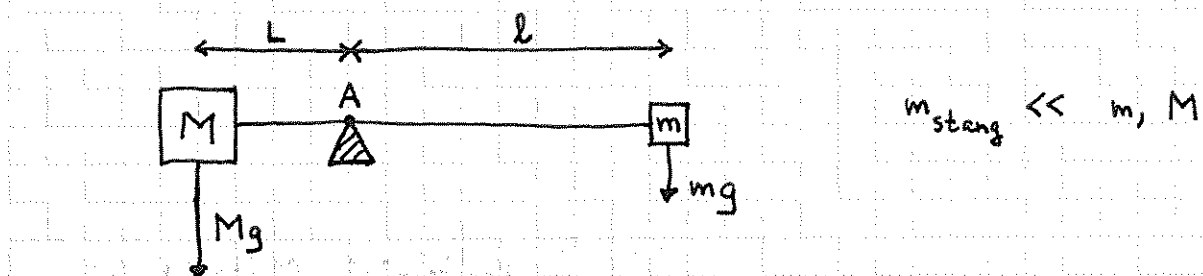
Nedvendige og tilstrekkelige betingelser for mekanisk likevekt.

N1, rotasjon om fast akse:

$$\tau = \sum_i \tau_i = 0 \Rightarrow \omega = \text{konst.}$$

Statisk likevekt:  $V = 0, \omega = 0$ 

Eks 1: Vektstang ("Vippehuske") ("Spett")



$$\text{Likevekt mhp. rotasjon om } A: Mg \cdot L - mg \cdot l = 0$$

$$\Rightarrow M \cdot L = m \cdot l$$

(N1, translasjon  $\Rightarrow$  normalkraft  $N = Mg + mg$ , rettet oppover, fra  på stanga i A)

Konvensjonelt fortegnssalg for  $\tau$ :

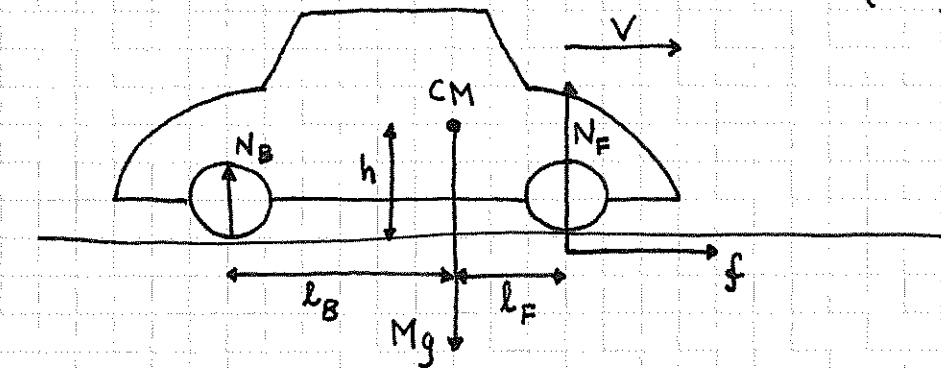
$\tau > 0 \Rightarrow$  rotasjon mot klokka ( $\Rightarrow + MgL$ )

$\tau < 0 \Rightarrow$  " " med " " ( $\Rightarrow - mgL$ )

[Pass på at fortegnene på  $V$  og  $\omega$  blir konsistente.]

## Eks 2: Bil som akselererer

Dvs: rotasjonslikverket ( $\tau = 0$ ) men ikke translasjonslikverkt  
 $\Rightarrow$  "dynamisk likverkt"



Motoren  $\Rightarrow$  dreiemoment på aksling foran (anta forhjulstrekk)

$\Rightarrow$  forhjul roterer med klokka og skyver veibanan bakover (-f)

$\stackrel{N3}{\Rightarrow}$  veibanan skyver forhjul og bil framover (f)

$$N2 \text{ vertikalt: } N_B + N_F - Mg = 0$$

$$N2 \text{ horisontalt: } f = M\dot{v}$$

N2 for rotasjon om aksje gjennom CM:

$$\tau = N_F l_F + f \cdot h - N_B l_B = 0$$

$$\Rightarrow \dot{v} = \frac{N_B l_B - N_F l_F}{Mh}$$

$$\dot{v} = 0 \Rightarrow N_B l_B = N_F l_F \quad (\text{OK; "vektstang"})$$

$\dot{v} > 0 \Rightarrow N_B l_B > N_F l_F$ , økt "vekt" på bakhjulene

$\dot{v} < 0 \Rightarrow N_B l_B < N_F l_F$ , økt "vekt" på forhjulene

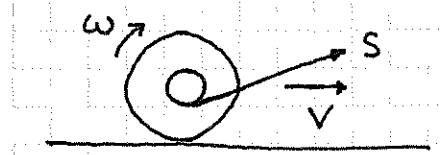
Velkjent:



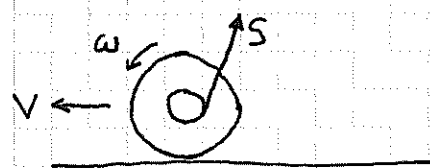
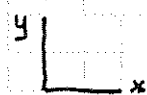
$$\dot{v} > 0$$



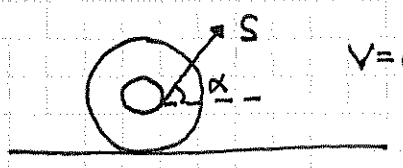
$$\dot{v} < 0$$



$$\sum F_x > 0, \sum \tau_i < 0 \quad (\sum F_y = 0)$$



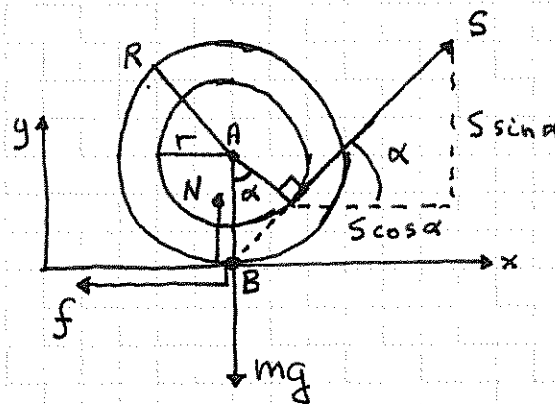
$$\sum F_x < 0, \sum \tau_i > 0 \quad (\sum F_y = 0)$$



$$v=0, \omega=0$$

$$\alpha = ?$$

$$\sum F_x = 0, \sum \tau_i = 0, \sum F_y = 0$$



Krefter på snella:

$S$  = snordrag

$f$  = frikjon

$mg$  = tyngde

$N$  = normalkraft

$$0 = \sum F_x = S \cos \alpha - f \Rightarrow f = S \cos \alpha$$

$$0 = \sum F_y = S \sin \alpha + N - mg \Rightarrow N = mg - S \sin \alpha$$

$$0 = \sum \tau_A = S \cdot r - f \cdot R \Rightarrow S_r = fR = SR \cos \alpha$$

$$\Rightarrow \cos \alpha = r/R$$

$$\left. \begin{array}{l} 2r = 157 \text{ mm} \\ 2R = 248 \text{ mm} \end{array} \right\} \Rightarrow \alpha = \arccos \frac{157}{248} \approx 51^\circ$$

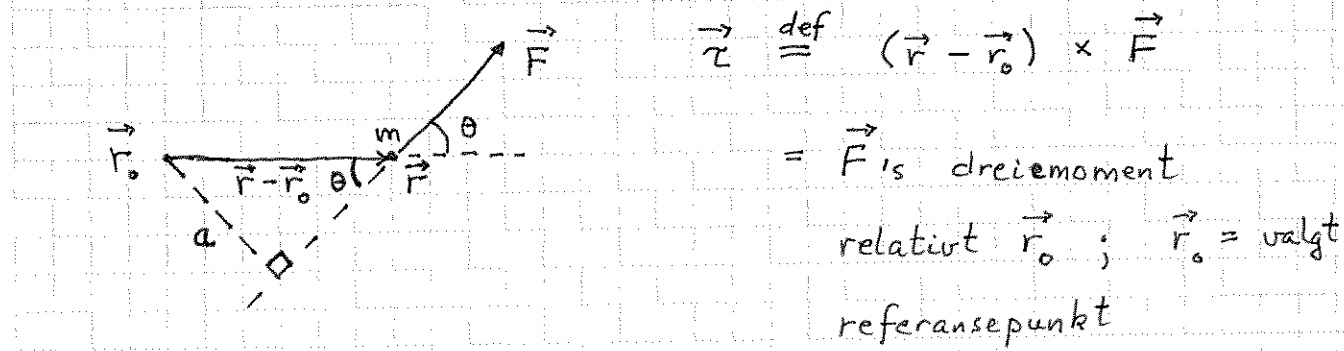
Alternativt, rot. likevekt om B:

$f, N$  og  $mg$  har null arm mhp B  $\Rightarrow$  bidrar ikke til  $\tau_B$

$\Rightarrow S$  må også ha null arm mhp B  $\Rightarrow$  Snoras forlengelse går gjennom B i statiske likevekt  $\Rightarrow \cos \alpha = r/R$  ses direkte fra figuren!

Dreiemoment

Punktmasse  $m$  i posisjon  $\vec{r}$ :



$\vec{\tau} \perp \vec{F}$  og  $\vec{\tau} \perp \vec{r} - \vec{r}_0$ ; fortegn via høyrehåndsregel  
( $\Rightarrow \vec{\tau}$  ut av planet i fig. ovenfor)

$$|\vec{\tau}| = |\vec{r} - \vec{r}_0| \cdot |\vec{F}| \cdot \sin \theta$$

dreiemoment = arm  $\times$  kraft

arm =  $a = |\vec{r} - \vec{r}_0| \sin \theta$  = avstand fra  $\vec{r}_0$  til linjen

definert ved  $\vec{F}$  (se figur ovenfor)

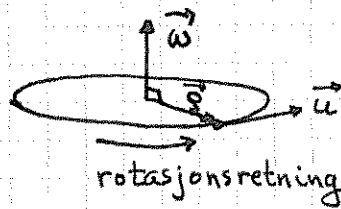
For system med flere masseelementer  $m_i$  i posisjon  $\vec{r}_i$  påvirket av krefter  $\vec{F}_i$ :

$$\vec{\tau}_i = (\vec{r}_i - \vec{r}_0) \times \vec{F}_i = \text{dreiemoment fra } \vec{F}_i, \text{ relativt } \vec{r}_0$$

$$\vec{\tau} = \sum_i \vec{\tau}_i = \sum_i (\vec{r}_i - \vec{r}_0) \times \vec{F}_i = \text{totalt dreiemoment på systemet, relativt } \vec{r}_0$$

Valgt referansepunkt  $\vec{r}_0$  er felles for hele systemet.

Vinkelhastighet som vektor,  $\vec{\omega}$  (kjent fra før, se s. 11):



$$\vec{u} = \vec{\omega} \times \vec{g} = \text{hastighet}$$

Fortegn på  $\vec{\omega}$  via h.h. regel

(rotasjon mot klokka  $\Rightarrow \vec{\omega}$  ut av planet)

### Dreieimpuls

Punktmasse  $m$  i  $\vec{r}$  med impuls  $\vec{p} = m\vec{v}$ :



$$\vec{L} \stackrel{\text{def}}{=} (\vec{r} - \vec{r}_0) \times \vec{p} = m(\vec{r} - \vec{r}_0) \times \vec{v}$$

= punktmassens dreieimpuls relativt  $\vec{r}_0$ ;

$\vec{r}_0$  = valgt referansepunkt (som for  $\vec{x}$ )

Dermed er:

$$\vec{\tau} = \frac{d\vec{L}}{dt}$$

Vektoriell N2 for rotasjon

(jf.  $\vec{F} = \frac{d\vec{p}}{dt}$ , vektoriell N2 for translasjon)

Beweis for  $\vec{\tau} = \dot{\vec{L}}$ :

$$\dot{\vec{L}} = \frac{d}{dt} \{ m(\vec{r} - \vec{r}_0) \times \vec{v} \}$$

Anta  $m = \text{konst.}$ , og  $\vec{r}_0 = \text{konst.}$  eller  $\vec{r}_0 \parallel \vec{v}$

$$\Rightarrow \dot{\vec{L}} = \underbrace{m\vec{r} \times \vec{v}}_{= m\vec{v} \times \vec{v} = 0} + m(\vec{r} - \vec{r}_0) \times \dot{\vec{v}} \stackrel{\text{N2}}{=} (\vec{r} - \vec{r}_0) \times \vec{F} \stackrel{\text{def}}{=} \vec{\tau}$$

qed

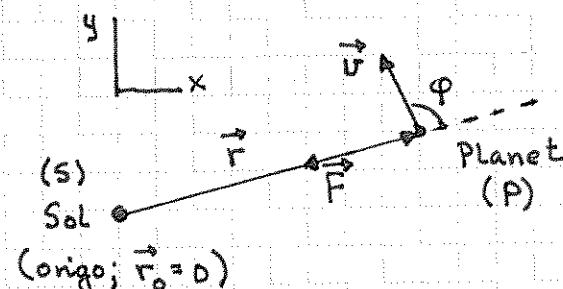
## Konserveringslov for dreiemimpuls (punktmasse):

$$\vec{\tau} = 0 \Rightarrow \vec{L} = \text{konst.}$$

(Jf:  $\vec{F} = 0 \Rightarrow \vec{p} = \text{konst.}$ ; konserveringslov for impuls)

Merk: At  $\vec{L} = \text{konst.}$  for isolert system er like fundamentalt som at  $\vec{p} = \text{konst.}$  og  $E = \text{konst.}$  (når alle energiformer regnes med).

Eks: Keplers 2. lov, Flatesatsen

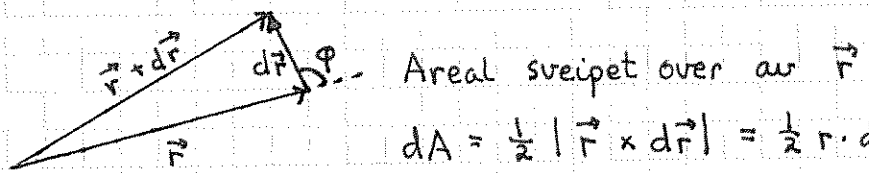


$S, P \approx \text{punktmasser}$  ( $R_s, R_p \ll r$ )

$$\vec{F} \sim -\hat{r} \Rightarrow \vec{\tau} = \vec{r} \times \vec{F} = 0$$

$$\Rightarrow \vec{L} = L_z \hat{z} = m \vec{r} \times \vec{v} = \text{konst.}$$

$$L_z = mr v \sin \varphi$$



$$dA = \frac{1}{2} |\vec{r} \times d\vec{r}| = \frac{1}{2} r \cdot dr \cdot \sin \varphi$$

$$[ dr \quad h \quad \alpha ] \quad h = dr \cos \alpha = dr \cos(\varphi - \pi/2) = dr \sin \varphi \quad ]$$

$$\Rightarrow \frac{dA}{dt} = \frac{1}{2} r \frac{dr}{dt} \sin \varphi = \frac{1}{2} r v \sin \varphi = \frac{1}{2m} L_z = \text{konst.}$$

$\Rightarrow \vec{r}$  (= vektor fra sol til planet) sveiper over like stort areal ( $dA$ ) pr tidsenhet ( $dt$ ) langs hele (ellipse-)banen rundt sola. (Keplers 2. lov)

[1. lov: Planetenes baner er ellipser, med sola i det ene av to brennpunkter.

3. lov:  $T^2/a^3 = \text{konst.}$  for alle planetene;  $T = \text{omloppstid}$ ,  $a = \text{store halvaksse}$ ]



For stiftt legeme; dvs system med masselementer  $m_i$ :

• pos.  $\vec{r}_i$  med hastighet  $\vec{v}_i$ :

$$\vec{L}_i = m_i (\vec{r}_i - \vec{r}_o) \times \vec{v}_i = \text{dreieimpulsen til } m_i \text{ relativt } \vec{r}_o$$

$$\vec{L} = \sum_i \vec{L}_i = \text{legemets totale dreieimpuls relativt } \vec{r}_o$$

$$\dot{\vec{L}}_i = \dots \text{ som på s. 74...} = (\vec{r}_i - \vec{r}_o) \times m_i \ddot{\vec{v}}_i = \vec{\tau}_i$$

$$\Rightarrow \dot{\vec{L}} = \sum_i \dot{\vec{L}}_i = \sum_i \vec{\tau}_i = \vec{\tau}$$

så hvis  $\vec{\tau} = 0$ , er  $\vec{L} = \text{konstant}$  også for stiftt legeme

(og for partikkelsystemer generelt)

Fra før har vi (s. 64):

$$K = K_{\text{trans}} + K_{\text{rot}} = \frac{1}{2} M V^2 + \frac{1}{2} I_o \omega^2$$

= total kinetisk energi for stiftt legeme med masse  $M$ ,  
tyngdepunktshastighet  $\vec{V} = \vec{R}_{\text{CM}}$ , instantan rotasjon om  
akse gjennom CM med vinkelhastighet  $\vec{\omega}$ , og tregheits-  
moment  $I_o$  mhp rotasjonsaksen

Naturlig spørsmål er da: Kan vi på tilsvarende måte

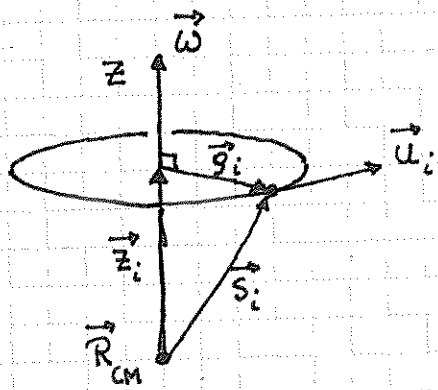
skrive  $\vec{L} = \vec{L}_{\text{CM}} + \vec{L}_{\text{rel}}$ , dvs som sum av bidrag fra

beregelsen til CM (relativt det valgte  $\vec{r}_o$ , selvagt!)

og bidrag fra masseelementenes bevegelse relativt CM?

Svaret er ja! Utgangspunkt for beviset er (som på s. 64)

Eulers teorem, som slår fast at et stiftt legemes instantane bevegelse relativt CM alltid kan beskrives som en rotasjon, med vinkelhastighet  $\vec{\omega}(t)$ , om en akse gjennom CM. (Eulers teorem bevises ikke her.)



$\vec{s}_i$  og  $\vec{u}_i$  er relativkoord. og relativhastighet:

$$\vec{r}_i = \vec{R}_{CM} + \vec{s}_i$$

$$\vec{v}_i = \vec{v} + \vec{u}_i \quad (\vec{r}_i = \vec{R}_{CM} + \vec{s}_i)$$

Fra figur:  $\vec{s}_i = \vec{z}_i + \vec{g}_i$

Fra for:  $\vec{u}_i = \vec{\omega} \times \vec{g}_i \quad (s \parallel \text{og } 74)$

$$= \vec{\omega} \times \vec{s}_i \quad (\text{siden } \vec{\omega} \times \vec{z}_i = 0)$$

$$\vec{L} = \sum_i m_i (\vec{r}_i - \vec{r}_o) \times \vec{v}_i$$

$$= \sum_i m_i (\vec{R}_{CM} - \vec{r}_o + \vec{s}_i) \times (\vec{v} + \vec{u}_i)$$

$$= \sum_i m_i (\vec{R}_{CM} - \vec{r}_o) \times \vec{v} + \sum_i m_i \vec{s}_i \times \vec{v} + \sum_i m_i (\vec{R}_{CM} - \vec{r}_o) \times \vec{u}_i$$

$$+ \sum_i m_i \vec{s}_i \times \vec{u}_i$$

$$1. \text{ sum: } \sum_i m_i (\vec{R}_{CM} - \vec{r}_o) \times \vec{v} = M (\vec{R}_{CM} - \vec{r}_o) \times \vec{v} = \vec{L}_{CM}$$

= banedreieimpulsen pga CM's bevegelse, relativt  $\vec{r}_o$

$$2. \text{ sum: } \sum_i m_i \vec{s}_i = \sum_i m_i (\vec{r}_i - \vec{R}_{CM}) = M \vec{R}_{CM} - M \vec{R}_{CM} = 0$$

$$\text{Husk: } \vec{R}_{CM} = \sum_i m_i \vec{r}_i / \sum_i m_i = \sum_i m_i \vec{r}_i / M \quad (\text{se også s 64})$$

$$\Rightarrow \sum_i m_i \vec{s}_i \times \vec{v} = 0 \quad (\vec{v} \text{ "ingår ikke" i summen over } i)$$

$$3. \text{ sum: } \sum_i m_i (\vec{R}_{CM} - \vec{r}_o) \times (\underbrace{\vec{\omega} \times \vec{s}_i}_{= \vec{u}_i}) = (\vec{R}_{CM} - \vec{r}_o) \times (\vec{\omega} \times \underbrace{\sum_i m_i \vec{s}_i}_{= 0}) = 0$$

$$4. \text{ sum: } \sum_i m_i \vec{s}_i \times \vec{u}_i = \vec{L}_{rel} = \text{bidrag pga massedementenes bevegelse relativt CM} \quad (\text{avhengig av valg av } \vec{r}_o !)$$

Vi ser nærmere på  $\sum_i m_i \vec{s}_i \times \vec{u}_i = \sum_i m_i \vec{s}_i \times (\vec{\omega} \times \vec{s}_i)$

Matematisk identitet:  $\vec{A} \times (\vec{B} \times \vec{C}) = \vec{B}(\vec{A} \cdot \vec{C}) - \vec{C}(\vec{A} \cdot \vec{B})$

Dermed:

$$\sum_i m_i \vec{s}_i \times (\vec{\omega} \times \vec{s}_i) = \sum_i m_i \{ \vec{\omega} s_i^2 - \vec{s}_i (\vec{s}_i \cdot \vec{\omega}) \}$$

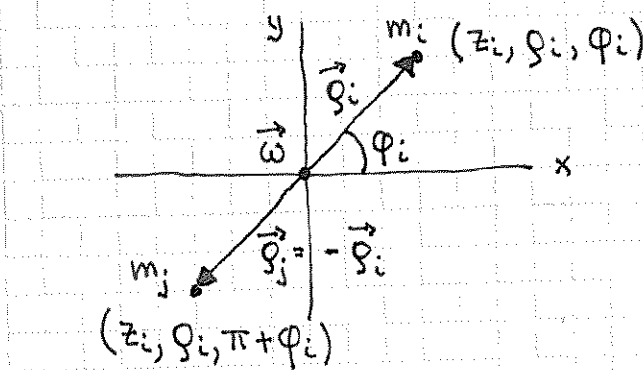
Her er:  $\vec{\omega} s_i^2 = \vec{\omega} (z_i^2 + g_i^2)$

$$\vec{s}_i (\vec{s}_i \cdot \vec{\omega}) = (\vec{z}_i + \vec{g}_i) (z_i \omega) = z_i^2 \vec{\omega} + z_i \omega \vec{g}_i$$

$$\Rightarrow \vec{\omega} s_i^2 - \vec{s}_i (\vec{s}_i \cdot \vec{\omega}) = g_i^2 \vec{\omega} - z_i \omega \vec{g}_i$$

$$\Rightarrow \sum_i m_i \vec{s}_i \times \vec{u}_i = \underbrace{\sum_i m_i g_i^2 \vec{\omega}}_{= I_0} - \omega \sum_i m_i z_i \vec{g}_i$$

Hvis legemet har sylinderSymmetri om en aksel som faller sammen med rotasjonsaksen, er  $\sum_i m_i z_i \vec{g}_i = 0$ , fordi bidraget fra  $m_i$  i posisjon  $(z_i, \vec{g}_i)$ , dvs sylinderkoordinatene  $(z_i, g_i, \varphi_i)$ , vil kanselleres av bidraget fra  $m_j (= m_i)$  i posisjon  $(z_j = z_i, \vec{g}_j = -\vec{g}_i)$ , dvs sylinderkoordinatene  $(z_i, g_i, \pi + \varphi_i)$ :



Vi vil stort sett ha dette oppfylt (men unntak finnes),

og da er  $\sum_i m_i \vec{s}_i \times \vec{u}_i = I_0 \vec{\omega} = \vec{L}_{rel}$

Konklusjon, for stift legeme (med sylinderSymmetri om akse som faller sammen med rot. aksen  $\hat{\omega}$ ):

$$\vec{L} = M(\vec{R}_{CM} - \vec{r}_o) \times \vec{V} + I_o \vec{\omega}$$

Total dreieimpuls = Banedreieimpuls + Spinn  
 (rel.  $\vec{r}_o$ ) (natt. av  $\vec{r}_o$ )

Kommentar til symmetriargumentet s 78:

Overgang til kontinuerlig massefordeling gir

$$\sum_i m_i z_i \vec{g}_i \rightarrow \int dm z \vec{g} = \int \underbrace{dV \cdot \mu \cdot z \vec{g}}_{dm}$$

Her er  $\mu$  legemets masse pr volumenhett, og hvis vi har sylinderSymmetri om rot. aksen ( $z$ -aksen), er  $\mu$  uavhengig av  $g$ ,

$$\text{dvs } \mu(\vec{r}) = \mu(z, g).$$

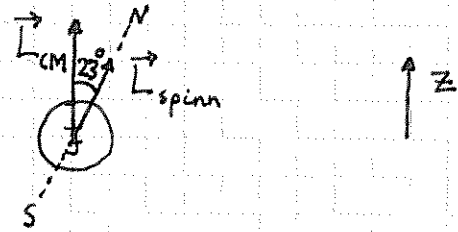
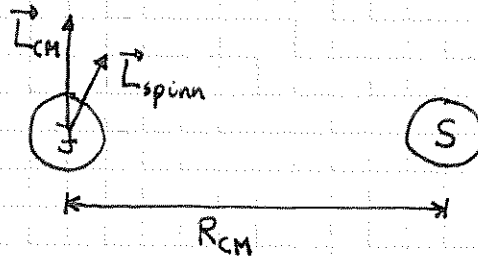
I såfall:

$$\int_V dV \mu z \vec{g} = \int_L dz \int_A dA \mu(z, g) \vec{g},$$

$$\text{og her blir } \int_A dA \mu(z, g) \vec{g} = 0$$

pga at bidragene fra  $\vec{g}$  og  $-\vec{g}$  kansellerer hverandre.

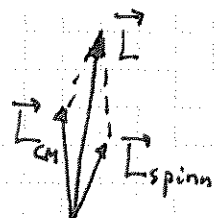
Eks 1:  $\vec{L}$  for jorda i banen rundt sola (tilnærmet sirkel)



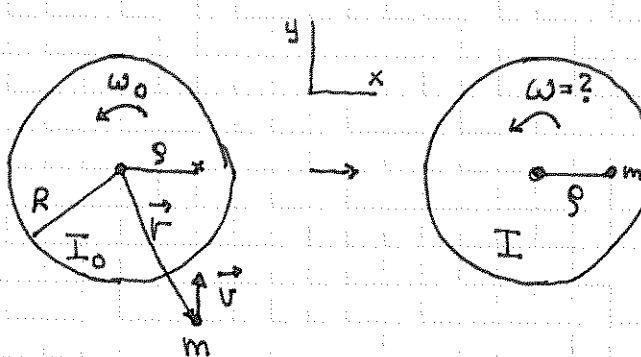
$$\vec{L}_{CM} = \vec{R}_{CM} \times M_J \vec{V}_J = R_{CM} M_J V_J \hat{z}$$

$$\vec{L}_{spinn} = I_0 \vec{\omega} \quad (\text{med } \omega = 2\pi/(24h))$$

$$\vec{L} = \vec{L}_{CM} + \vec{L}_{spinn} = \text{total dreieimpuls}$$



Eks 2: Karusell



Du har masse  $m$  og lander fullstendig uelastisk på karusellen, som vist i figuren. Hva blir  $\omega$  etter landingen?

Løsning: Kan ikke bruke energibevarelse (uelastisk støtf)

Kan ikke bruke impulsbevarelse (det virker ytre kraft  $\vec{F}$  fra akslingen på karusellen i statøyeblikket)

Kan bruke dreieimpulsbevarelse mhp referanse  $\vec{r}_0$  i akslingen, for da har  $\vec{\Sigma}_{ytre} = (\vec{r} - \vec{r}_0) \times \vec{F}$  ingen  $z$ -komponent, og

$L_z$  er bevart for systemet "du og karusellen".

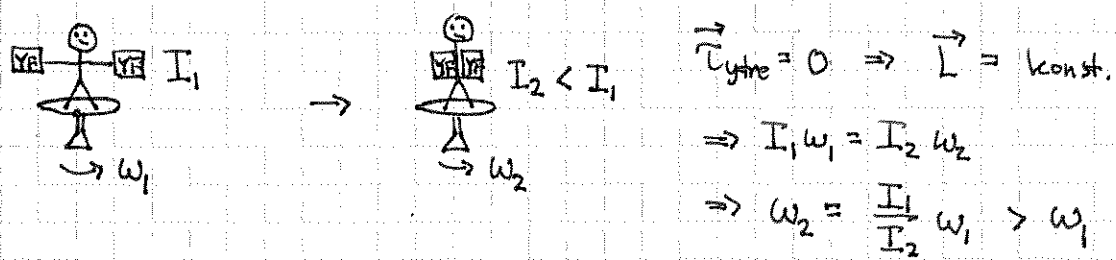
Før støtf:  $L_z^i = I_0 \omega_0 + mgv$  Efter:  $L_z^f = I\omega$ ;  $I = I_0 + mp^2$

$$\Rightarrow \omega = \frac{I_0 \omega_0 + mgv}{I_0 + mp^2} = \omega_0 \frac{I_0 + mgv/w_0}{I_0 + mp^2}$$

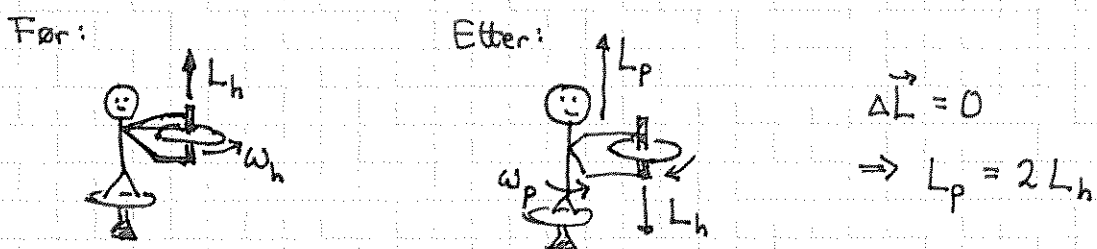
Ser at  $\omega > \omega_0$  hvis  $mgv/w_0 > mp^2$ , dvs  $v > gw_0$ , OK! Da har du skjemte hastighet enn landingsstedet og karusellen gis en dytt mot klokka!

### Eks 3: Piruett. Demo med foreleser, konturstol og 2 stk YF

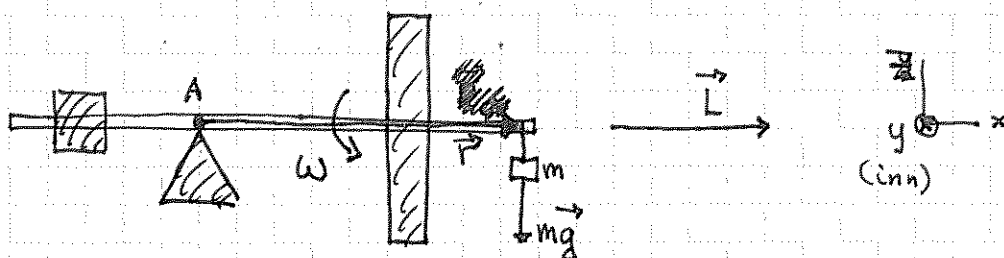
(81)



### Eks 4: Sykkeltrehjul og stol. Demo



### Eks 5: Gyroskop (Kvalitativt først)



Før m henges på er stang  $\vec{\omega}$ /roterende skive i likevekt,  $\vec{L} = L_i \hat{x}$

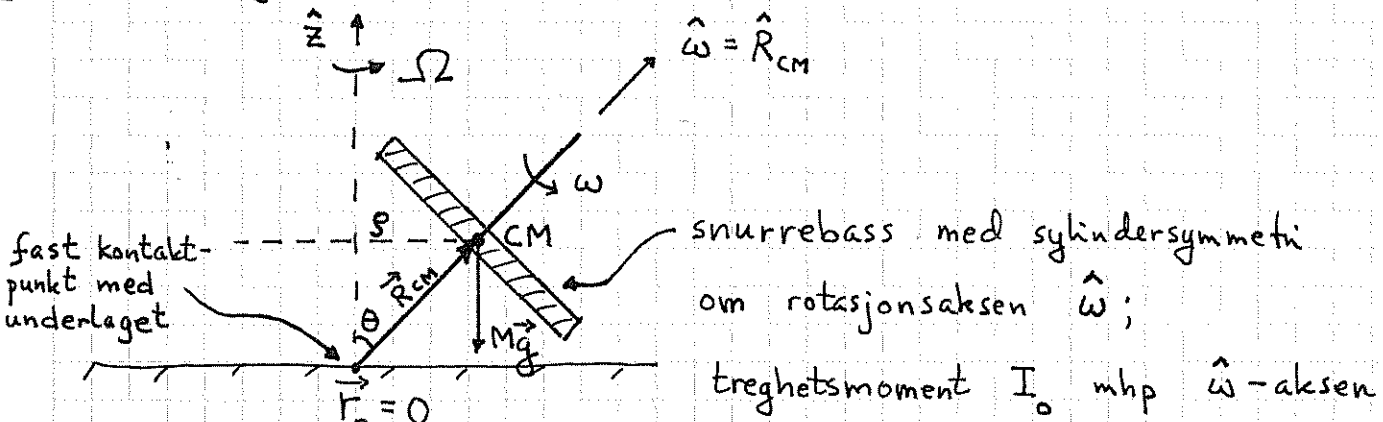
Ekstra tyngde  $mg \vec{y}$  i avstand  $r$  fra A

$$\Rightarrow \vec{r} = \vec{r} \times mg \vec{y} = mrg \hat{y}$$

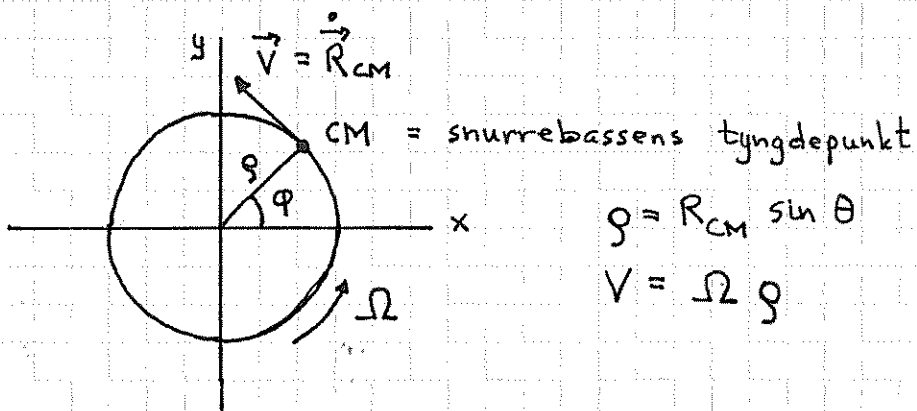
$\Rightarrow \Delta \vec{L} \sim \hat{y}$   $\Rightarrow$  rotasjon mot klokka (sett ovenfra), presesjon om z-aksen

Større tyngde  $Mg$  gir raskere presesjon, samt "vipping" opp og ned, nutasjon.

## Presesjon med snurrebass



- Rask rotasjon ("spinn") om  $\hat{\omega}$ -aksen, vinkelhastighet  $\omega$
- Langsom rotasjon av CM ("presesjon") om  $\hat{z}$ -aksen, vinkelhastighet  $\Omega = d\phi/dt$ :



For gitt  $M$ ,  $R_{CM}$ ,  $I_o$  og  $\omega$ , hva blir  $\Omega$ ?

Total dreieimpuls (mhp  $\vec{r}_o = 0$ ):

$$\vec{L} = M \vec{R}_{CM} \times \vec{V} + I_o \vec{\omega}$$

Bevegelsesligning (N2 for rotasjon):

$$\vec{\tau} = \dot{\vec{L}}$$

med dreiemoment (også mhp  $\vec{r}_o = 0$ )

$$\begin{aligned} \vec{\tau} &= \vec{R}_{CM} \times \vec{Mg} = R_{CM} Mg \sin(\pi - \theta) \hat{\phi} \\ &= \hat{\phi} R_{CM} Mg \sin \theta \end{aligned}$$

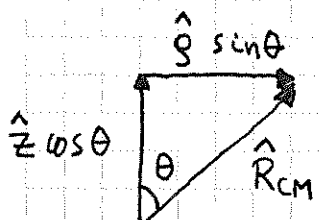
$$\frac{d\vec{L}}{dt} = \frac{d}{dt} \{ M \vec{R}_{CM} \times \vec{V} + I_0 \vec{\omega} \}$$

$$= M \vec{R}_{CM} \times \dot{\vec{V}} + I_0 \omega \dot{\hat{\omega}}$$

(fordi  $\vec{M} \vec{R}_{CM} \times \vec{V} = M \vec{V} \times \vec{V} = 0$ , og  $\omega = \text{konst.}$ )

$$|M \vec{R}_{CM} \times \dot{\vec{V}}| = |M \vec{R}_{CM} \times \left(-\frac{V^2}{g} \hat{g}\right)|$$

$$= M R_{CM} \cdot \frac{(\Omega g)^2}{g} \cdot |\hat{R}_{CM} \times (-\hat{g})|$$



$$\hat{R}_{CM} \times (-\hat{g}) = (\hat{i} \cos \theta + \hat{j} \sin \theta) \times (-\hat{g})$$

$$= -\cos \theta (\hat{i} \times \hat{g}) - \sin \theta (\hat{j} \times \hat{g}) \\ = \hat{\phi} = 0$$

$$\Rightarrow |M \vec{R}_{CM} \times \dot{\vec{V}}| = M R_{CM} \Omega^2 g \cos \theta = M R_{CM} \Omega^2 \sin \theta \cos \theta$$

$$|I_0 \dot{\vec{\omega}}| = I_0 \omega |\dot{\hat{\omega}}| = I_0 \omega |\dot{\hat{R}}_{CM}| = I_0 \omega \frac{1}{R_{CM}} |\dot{\vec{R}}_{CM}|$$

$$= I_0 \omega R_{CM}^{-1} \cdot V = I_0 \omega R_{CM}^{-1} \cdot \Omega R_{CM} \sin \theta$$

$$= I_0 \omega \Omega \sin \theta$$

Hvis  $\omega \gg \Omega$ , og  $I_0$  er av samme størrelsesorden som

$M R_{CM}^2$  (" $I_0 \sim M R_{CM}^2$ "), så ser vi at

$$|I_0 \dot{\vec{\omega}}| \gg |M \vec{R}_{CM} \times \dot{\vec{V}}|$$

Dvs:  $\dot{\vec{z}} \approx I_0 \dot{\vec{\omega}}$

som betyr at dynamikken i problemet domineres av snurrebassens spinn ( $I_0 \vec{\omega}$ ), mens banedreieimpulsen

$(M \vec{R}_{CM} \times \vec{V})$  kun utgjør et lite bidrag til den totale  $\vec{L}$

Nå kan vi bestemme  $\Omega$ :

$$|\vec{\omega}| \approx |I_0 \dot{\vec{\omega}}|$$

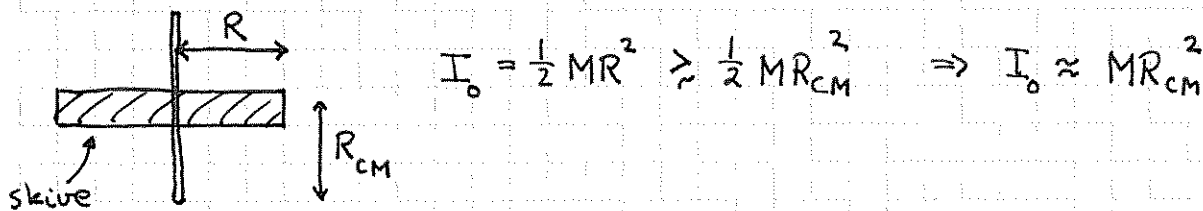
$$\Rightarrow MgR_{CM} \sin \theta \approx I_0 \omega \Omega \sin \theta$$

$$\Rightarrow \underline{\underline{\Omega \approx MgR_{CM} / I_0 \omega}}$$

Vi antok  $\omega \gg \Omega$ , som nå innebærer  $\omega \gg MgR_{CM} / I_0 \omega$ ,

dvs  $\omega^2 \gg MgR_{CM} / I_0$ . Antar vi nå at vi har en

"lubben" snurrebass, med  $I_0 \approx MR_{CM}^2$ , får vi det  
enkle overslaget  $\omega \gg \sqrt{g/R_{CM}}$ .



Ex: Leketøy,  $R_{CM} = 5\text{ cm} \Rightarrow \omega \gg \sqrt{10/0.05} \approx 14\text{ s}^{-1}$ , intet problem!

Da blir  $\Omega \approx g/wR_{CM} \approx 200/\omega$ , som med  $\omega = 20\pi\text{ s}^{-1}$

(dvs  $T = 0.1\text{ s}$ ) gir  $\Omega = 10/\pi \approx \cancel{6.37}\pi$ , dvs en  
presesjonsperiode  $T_\Omega = 2\pi/\Omega \approx 2\text{ s}$ . Rimelig!<sup>13</sup>

Ex: Sykkelhjul, kvalifiserte gjettninger!

$T_\omega \sim 1/5\text{ s}$ ;  $R_{CM} \sim 1/5\text{ m}$ ;  $M \sim 4\text{ kg}$ ;  $R \sim 1/4\text{ m}$ ,  $g \approx 10\text{ m/s}^2$

$$\begin{aligned} \Rightarrow T_\Omega &= \frac{2\pi}{\Omega} \approx \frac{2\pi I_0 \omega}{MgR_{CM}} = \frac{2\pi MR^2 2\pi/\Omega_\omega}{MgR_{CM}} \sim \frac{4\pi^2 \cdot (\frac{1}{4})^2 \cdot 5}{10 \cdot 1/5} \\ &= \frac{5\pi^2}{8} \approx \frac{48}{8} = 6\text{ s}. \quad \text{Rimelig!} \end{aligned}$$

(For flere detaljer: TFY 4345 Klassisk mekanikk)

## Roterende Koordinatsystem

Til nå: Koord. system i ro, dus inertialsystem,  $S' = (x', y', z')$

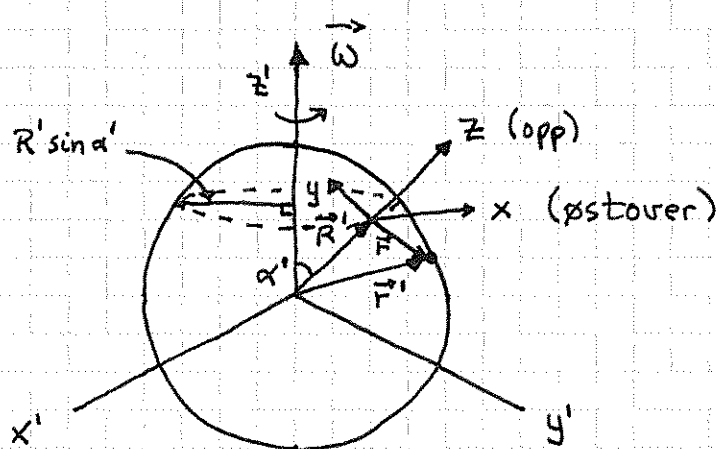
Nå: Koord. system som roterer med  $\vec{\omega}$  = konst.,  $S = (x, y, z)$

Eks: Jorda,  $\vec{\omega} = \frac{2\pi}{1 \text{ dag}} \hat{z}'$



[Ser bort fra  $L_{cm}$  pga.baneberegelsen]

rundt sola ]



$$\vec{R}' = \text{origo i } S$$

$$\vec{r}^* = \text{legemetets posisjon målt i } S'$$

$$\vec{r}' = \vec{R}' + \vec{r}$$

(som alle avhenger av tiden  $t$ )

Ser på  $\vec{A}$  = en eller annen fysisk vektorstørrelse som kan måles i både  $S$  (som roterer med jorda) og  $S'$  (som ligger fast); f.eks. posisjon, hastighet etc.

$$\left( \frac{d\vec{A}}{dt} \right)_{S'} = \text{endring i } \vec{A} \text{ pr tidsenhet, målt i } S'$$

$$\left( \frac{d\vec{A}}{dt} \right)_S = \text{_____} \parallel \text{_____} S$$

Siden  $S$  roterer med vinkelhastighet  $\vec{\omega}$  i  $S'$ , har vi

$$\boxed{\left( \frac{d\vec{A}}{dt} \right)_{S'} = \vec{\omega} \times \vec{A} + \left( \frac{d\vec{A}}{dt} \right)_S}$$

Bevises ikke, men "sannsynliggjøres" i et eksempel.

Eks:  $\vec{A} = \text{Trondheims posisjon.}$

Velger origo i  $S$  i Trondheim  $\Rightarrow \vec{r}' = \vec{R}'$

og  $\vec{r} = \vec{0} = \text{konstant.}$

Dermed:  $(\frac{d\vec{r}}{dt})_S = \vec{0}$ , og  $(\frac{d\vec{r}'}{dt})_{S'} = \vec{\omega} \times \vec{r}'$

Fra figur s. 85:  $\vec{\omega} \times \vec{r}' = \vec{\omega} \times \vec{R}' = \omega R' \sin \alpha' \cdot \hat{\phi}'$

OK:  $(\frac{d\vec{r}'}{dt})_{S'}$  er Trondheims hastighet målt i  $S'$ ,

som stemmer med høyre side av ligningen, da

$\omega \cdot R' \sin \alpha'$  nettopp er banehastigheten for uniform sirkelbevegelse med radius  $R' \sin \alpha'$  og vinkelhastighet  $\omega$ . Her er retningen  $\hat{\phi}' = \hat{x}$ , dvs østover.

Mål: Å finne sammenhengen mellom kraften  $\vec{F}'$  som virker på legemet i  $S'$  og kraften  $\vec{F}$  som virker på legemet i  $S$ . I følge Newton (N2) er dette det samme som å finne sammenhengen mellom akselerasjonene i  $S'$  og  $S$ .

Strategi: Bruk ligningen nederst s. 85, først med

$\vec{A} = \vec{r}' = \text{legemets posisjon målt i } S'$ , og derhest med  $\vec{A} = \vec{v}' = \frac{d\vec{r}'}{dt} = \text{legemets hastighet målt i } S'$ .

$$\bullet \vec{A} = \vec{r}' : \underbrace{\left( \frac{d\vec{r}'}{dt} \right)_{S'}}_{= \vec{v}'} = \vec{\omega} \times \vec{r}' + \vec{u}$$

$\vec{v}'$  = legemets hastighet målt i  $S'$

$$\vec{u} = \left( \frac{d\vec{r}'}{dt} \right)_S = \left( \frac{d\vec{r}}{dt} \right)_S = \text{legemets hastighet målt i } S$$

$$\begin{aligned} & [\vec{R}' \text{ ligger fast i } S (\vec{R}' = \text{origo i } S)] \\ & \Rightarrow \left( \frac{d\vec{R}'}{dt} \right)_S = 0 \end{aligned}$$

$$\bullet \vec{A} = \vec{v}' = \left( \frac{d\vec{r}'}{dt} \right)_{S'} :$$

$$\begin{aligned} \left( \frac{d^2\vec{r}'}{dt^2} \right)_{S'} &= \vec{\omega} \times \left( \frac{d\vec{r}'}{dt} \right)_{S'} + \left( \frac{d}{dt} \left( \frac{d\vec{r}'}{dt} \right)_{S'} \right)_S \\ &\quad \text{legemets akselerasjon} \\ &= \vec{\omega} \times [\vec{\omega} \times \vec{r}' + \vec{u}] + \left( \frac{d}{dt} [\vec{\omega} \times \vec{r}' + \vec{u}] \right)_S \\ &= \vec{\omega} \times (\vec{\omega} \times \vec{r}') + \vec{\omega} \times \vec{u} + \vec{\omega} \times \underbrace{\left( \frac{d\vec{r}'}{dt} \right)_S}_{= \vec{u}} + \frac{d\vec{u}}{dt} \\ &= \vec{\omega} \times (\vec{\omega} \times \vec{r}') + 2\vec{\omega} \times \vec{u} + \dot{\vec{u}} \end{aligned}$$

$$\text{Vektoridentitet: } \vec{A} \times (\vec{B} \times \vec{C}) = \vec{B}(\vec{A} \cdot \vec{C}) - \vec{C}(\vec{A} \cdot \vec{B})$$

(Se s. 78)

$$\Rightarrow \vec{\omega} \times (\vec{\omega} \times \vec{r}') = \vec{\omega}(\vec{\omega} \cdot \vec{r}') - \vec{r}'(\vec{\omega} \cdot \vec{\omega})$$

$$= \vec{\omega}(\omega \hat{z}' \cdot (z' \hat{z}' + g' \hat{g}')) - (z' \hat{z}' + g' \hat{g}') \omega^2$$

$$\begin{aligned} &= \vec{\omega} \underbrace{\omega z'}_{= 0} - z' \hat{z}' \omega^2 - \vec{g}' \omega^2 \\ &= -\omega^2 \vec{g}' \end{aligned}$$


$$\text{N2 i } S': \vec{F}' = m \left( \frac{d^2\vec{r}'}{dt^2} \right)_{S'}$$

$$\text{N2 i } S: \vec{F} = m \left( \frac{d^2\vec{r}}{dt^2} \right)_S = m \dot{\vec{u}}$$

Dermed:

$$\vec{F}' = m \left( \frac{d^2 \vec{r}}{dt^2} \right)_{S'} = -m\omega^2 \vec{g}' + 2m\vec{\omega} \times \vec{u} + \underbrace{m\vec{u}}_{= \vec{F}}$$

$\Rightarrow$

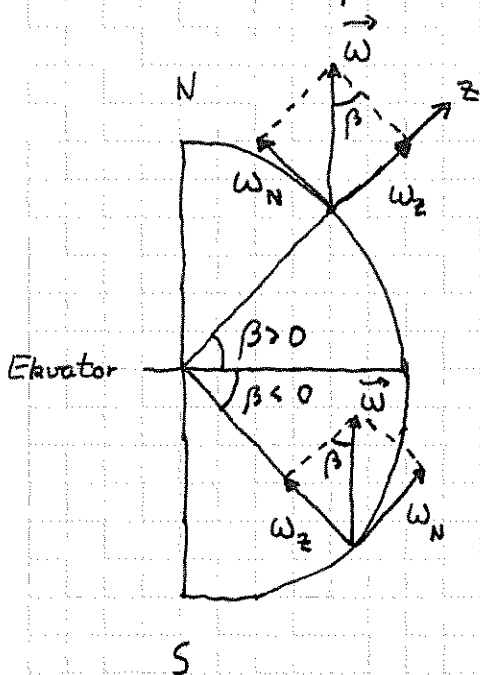
$$\boxed{\vec{F} = \vec{F}' + m\omega^2 \vec{g}' + 2m\vec{u} \times \vec{\omega}}$$

$m\omega^2 \vec{g}'$  = sentrifugalkraften; retning normalt på og bort fra rotasjonsaksen

$2m\vec{u} \times \vec{\omega}$  = Corioliskraften; retning normalt på både  $\vec{u}$  og  $\vec{\omega}$ , virker kun på legemer i bevegelse i S ( $\vec{u} \neq 0$ )

Hit 07.11.11

### Corioliskraften



- $\vec{F}_c = 2m\vec{u} \times \vec{\omega}$

- $\vec{\omega} = \omega_z \hat{z} + \omega_N \hat{N}$

- Anta hastighet horisontalt,  
 $\vec{u} = \vec{u}_h$

- Mest interessert i virkningen av  $\vec{F}_c$  horisontalt.

(Vertikalt domineres bevegelsen av tyngdekraften.)

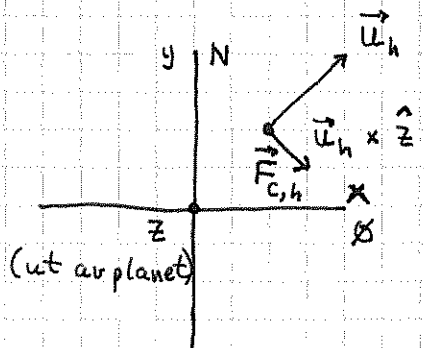
$\Rightarrow$  ser på

$$\vec{F}_{c,h} = 2m(\vec{u}_h \times \vec{\omega})_h$$

Med horizontal  $\vec{u}_h$  vil bare  $\omega_z \hat{z}$  bidra til  $\vec{F}_{c,h}$ : (89)

$$\vec{F}_{c,h} = 2m \omega_z \vec{u}_h \times \hat{z}$$

På nordlige halvkule:

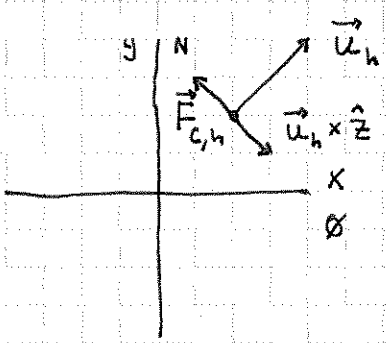


$$\omega_z > 0$$

$\Rightarrow \vec{F}_{c,h}$  samme retning som  $\vec{u}_h \times \hat{z}$

$\Rightarrow$  aubøyning mot høyre

På sørlige halvkule:

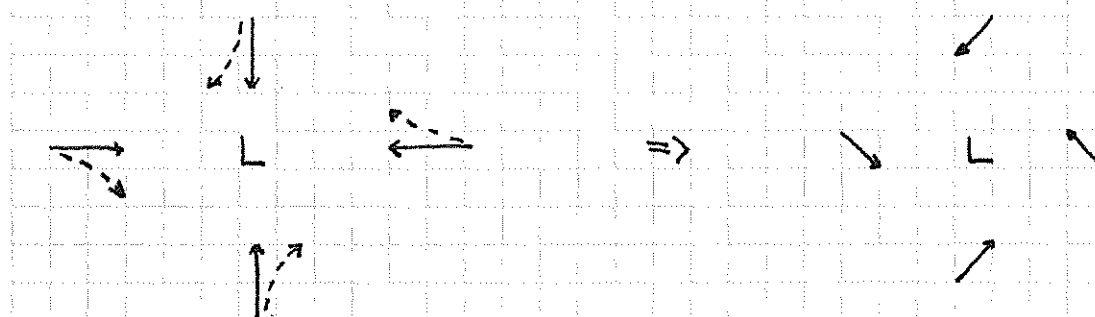


$$\omega_z < 0$$

$\Rightarrow \vec{F}_{c,h}$  motsatt retning av  $\vec{u}_h \times \hat{z}$

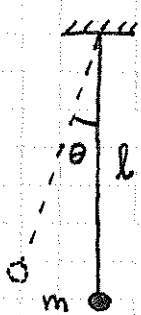
$\Rightarrow$  aubøyning mot venstre

Eks: Værkart med lavtrykk (nordlige halvkule)



Luft strømmer fra steder med høyt trykk til steder med lavt trykk, og dermed inn mot et lavtrykksenter (L).  $\vec{F}_{c,h}$  gir aubøyning mot høyre, og dermed strømning mot klokka rundt L.

## Foucault pendelen



Pendel i Realfagbygget:

$$l = 25 \text{ m}, T = 10 \text{ s}$$

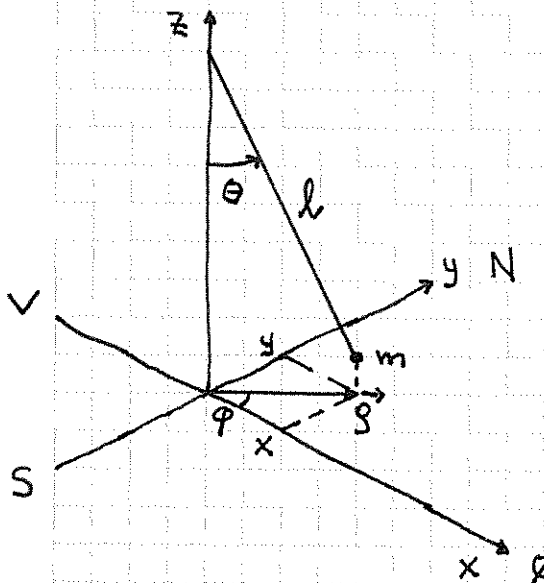
Max utsving fra likevektet: ca 1 m

$$\Rightarrow \theta \ll 1 \Rightarrow \sin \theta \approx \theta \text{ hele tiden}$$

Pendelen henger i et roterende koordinatsystem (Jorda!)

på breddegrad  $\beta = 63.5^\circ$ . "Rask" svingning fram og tilbake styres av tyngdekraftens komponent tangentielt til pendelkulens sirkelbane. Vi analyserer dette først.

I tillegg får pendelkula en liten avbøyning mot høyre pga Corioliskraften  $2m\vec{u} \times \vec{\omega}$ . Kulas hastighet er nesten helt horizontal,  $\vec{u} = \vec{u}_h = \dot{x}\hat{x} + \dot{y}\hat{y}$ , og vi kan bruke  $\vec{F}_{C,h}$  som øverst s. 89.

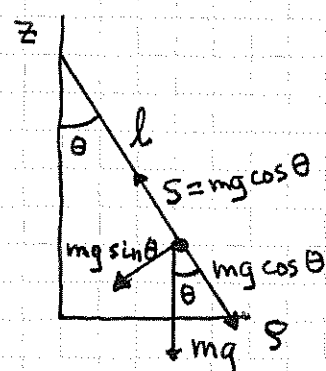


$$\vec{g} = x\hat{x} + y\hat{y}$$

$$g = l \sin \theta \approx l\theta$$

$$x = g \cos \varphi \approx l\theta \cos \varphi$$

$$y = g \sin \varphi \approx l\theta \sin \varphi$$



$$\text{N2 II sirkelbanen: } mg \sin \theta = ma \approx ml \ddot{\theta} \approx \theta$$

$$\Rightarrow \ddot{\theta} + \frac{g}{l} \theta = 0$$

(Fortegn:  $\theta > 0$  i figuren)

$$x = \underbrace{(l \cos\varphi) \theta}_{\text{konst.}} \Rightarrow \ddot{x} = (l \cos\varphi) \ddot{\theta}$$

$$\Rightarrow \text{samme ligning for } x \text{ som for } \theta: \ddot{x} + \frac{g}{l} x = 0$$

$$y = \underbrace{(l \sin\varphi) \theta}_{\text{konst.}} \Rightarrow \ddot{y} = (l \sin\varphi) \ddot{\theta}$$

$$\Rightarrow \text{samme ligning for } y \text{ som for } \theta: \ddot{y} + \frac{g}{l} y = 0$$

Generell løsning:  $x(t) = A \sin \Omega_0 t + B \cos \Omega_0 t$ ;  $\Omega_0^2 = g/l$

og tilsvarende for  $y(t)$ . [Kjent fra R2 på VGS!]

Coridiskraften gir et lite ekstra bidrag til disse ligningene:

$$\vec{U}_h \times \hat{z} = (\dot{x} \hat{x} + \dot{y} \hat{y}) \times \hat{z} = -\dot{x} \hat{y} + \dot{y} \hat{x}$$

$$\Rightarrow F_{c,h} = 2m \omega_z (\dot{y} \hat{x} - \dot{x} \hat{y}) \quad \text{der } \omega_z = \omega \sin \beta \quad (\text{se figur s. 88})$$

$\Rightarrow$  Total kraft i x-retning (vel: vi neglisjerer sentrifugalkraften!):

$$F_x = S_x + F_{c,hx} \quad (\vec{S} = \text{snordraget})$$

$$= -mg \cos \theta \cdot \underbrace{\sin \theta \cdot \cos \varphi}_{\approx 1} + 2m \omega \sin \beta \cdot \dot{y}$$

$$= x/l$$

$$= -mgx/l + 2m \omega \sin \beta \cdot \dot{y}$$

Total kraft i y-retning:

$$F_y = S_y + F_{c,hy}$$

$$= -mg \cos \theta \cdot \underbrace{\sin \theta \cdot \sin \varphi}_{\approx 1} - 2m \omega \sin \beta \cdot \dot{x}$$

$$= \underbrace{-g \cdot \sin \theta \cdot \cos \varphi}_{y/l} - 2m \omega \sin \beta \cdot \dot{x}$$

$$\text{Innfører } \varepsilon \equiv \omega \sin \beta \Rightarrow F_x = -mgx/l + 2m\varepsilon \dot{y}$$

$$F_y = -mgy/l - 2m\varepsilon \dot{x}$$

N2 i x- og y-retning gir da

(92)

$$-mgx/l + 2m\varepsilon\dot{y} = m\ddot{x}$$

$$-mgy/l - 2m\varepsilon\dot{x} = m\ddot{y}$$

$$\Rightarrow \ddot{x} - 2\varepsilon\dot{y} + \Omega_0^2 x = 0$$

$$\ddot{y} + 2\varepsilon\dot{x} + \Omega_0^2 y = 0$$

La oss se på tallverdier:

$$\Omega_0 = \sqrt{g/l} = \sqrt{9.81/25} \approx 0.63 \text{ s}^{-1}$$

$$\varepsilon = \omega \cdot \sin \beta = \frac{2\pi}{24 \cdot 3600} \cdot \sin 63.5^\circ \approx 6.5 \cdot 10^{-5} \text{ s}^{-1}$$

$$\Rightarrow \varepsilon \ll \Omega_0 \quad [\varepsilon/\Omega_0 \approx 10^{-4}]$$

Løsningen av de to koblede diff-ligningene er da,  
når vi velger initialbetingelsene  $x(0) = y(0) = 0$  og  $\vec{u}(0) = \hat{V}\vec{x}$ :

$$x(t) = \frac{V}{\Omega_0} \sin \Omega_0 t \cdot \cos \varepsilon t$$

$$y(t) = -\frac{V}{\Omega_0} \sin \Omega_0 t \cdot \sin \varepsilon t$$

faktoren  $\sin \Omega_0 t$ :

pendelens "raske" svingning fram og tilbake, periode

$$T = 2\pi/\Omega_0 = 2\pi\sqrt{l/g} = 10 \text{ s}$$

faktoren  $\cos \varepsilon t = \cos(\omega(\sin \beta) \cdot t)$ , evt.  $\sin \varepsilon t$ :

en langsom dreining av pendelens stringeretning, forårsaket

av Corioliskraften  $2m\vec{u} \times \vec{\omega}$ , retning med klokka på

nordlige halvkule (mot klokka på sørlige halvkule),

periode  $T_F = 2\pi/\varepsilon = 2\pi/\omega \sin \beta = 1 \text{ døgn} / \sin \beta \stackrel{\text{Trondheim}}{=} \stackrel{\beta=63.5^\circ}{\approx} 26.8 \text{ h}$

$\Rightarrow$  det tar ca 13.4 timer før pendelen å velte alle pendelpinnene i U3

## Kommentar til koblede ligninger og løsning s. 92:

(93)

Oppgitt løsning  $x(t)$  og  $y(t)$  er ikke eksakt løsning av de to koblede diff-ligningene, men en god tilnærming når  $\epsilon \ll \Omega_0$ .

La oss sette inn og se! Må regne ut  $\dot{x}$ ,  $\ddot{x}$ ,  $\dot{y}$  og  $\ddot{y}$ :

$$x = V \cos \Omega_0 t \cos \epsilon t - \frac{V\epsilon}{\Omega_0} \sin \Omega_0 t \sin \epsilon t$$

$$\dot{y} = -V \cos \Omega_0 t \sin \epsilon t - \frac{V\epsilon}{\Omega_0} \sin \Omega_0 t \cos \epsilon t$$

$$\ddot{x} = -V \Omega_0 \sin \Omega_0 t \cos \epsilon t - 2V\epsilon \cos \Omega_0 t \sin \epsilon t - \frac{V\epsilon^2}{\Omega_0} \sin \Omega_0 t \cos \epsilon t$$

$$\ddot{y} = V \Omega_0 \sin \Omega_0 t \sin \epsilon t - 2V\epsilon \cos \Omega_0 t \cos \epsilon t + \frac{V\epsilon^2}{\Omega_0} \sin \Omega_0 t \sin \epsilon t$$

Innsetting av disse uttrykkene i de to diff-ligningene resulterer i at alle ledd som ikke inneholder  $\epsilon$  (i faktoren foran produktet av de to trigonometriske funksjonene) adderer seg til null, og at alle ledd som inneholder  $\epsilon^2$  også adderer seg til null.

Med andre ord:  $x(t)$  og  $y(t)$  er løsninger "til orden  $\epsilon$ ", eller "til lineær orden i  $\epsilon$ ", eller "til  $O(\epsilon)$ ", som man også kan skrive dette. Dette er godt nok for oss! Ledd som inneholder  $\epsilon^2$  er mye mindre enn leddene som er proporsjonale med  $\epsilon^0$  og  $\epsilon^1$ , dersom  $\epsilon \ll \Omega_0$ .

Konkret er det slik at ligningen  $\ddot{x} - 2\epsilon \dot{y} + \Omega_0^2 x = 0$  inneholder to ledd som er proporsjonale med  $\epsilon^2$ , slik at venstre side blir  $\epsilon^2 \cdot \left\{ -\frac{V}{\Omega_0} \sin \Omega_0 t \cos \epsilon t + 2 \frac{V}{\Omega_0} \sin \Omega_0 t \cos \epsilon t \right\} \neq 0$ , så vi ser at "til orden  $\epsilon^2$ " er  $x(t)$  og  $y(t)$  ikke løsninger.

Men, som sagt, denne lille feilen bryr vi oss ikke om.

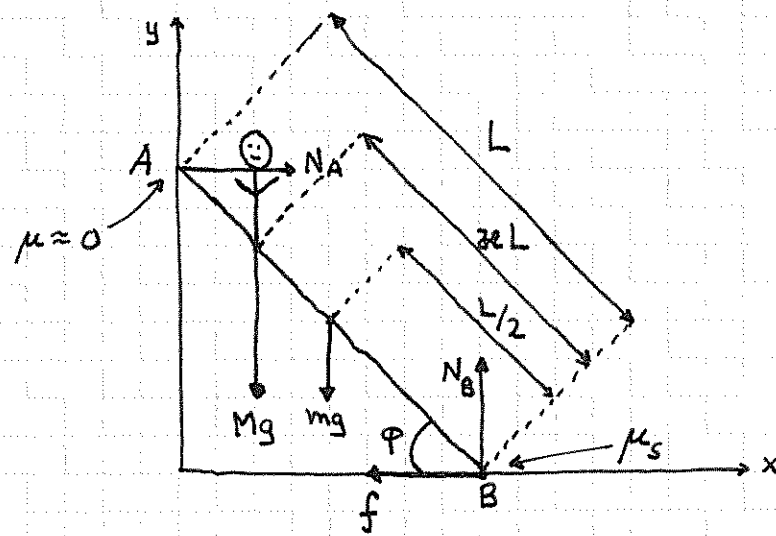
I Matlab-programmet Foucault\_anim.m illustreres dreiningen av svingerethingen ved at pendelkulas posisjon, ved max utswing, merkes av ca hver halve time, over et tidsrom på 13.5 timer, som er litt mer enn en halv periode  $T_F/2$  (se nederst s. 92).

Når et legeme er i statisk likevekt, er

$$\sum_i \vec{F}_i = 0 \quad (\text{sum av ytre krefter} = 0)$$

$$\sum_i \vec{\tau}_i = 0 \quad (\text{sum av ytre dreiemoment} = 0, \text{ mhp ethvert referansepunkt } \vec{r}_0)$$

Eks 1: Person i stige



Aktuelle spørsmål:

- Minimal  $\varphi$  uten at stigen glir?
- Maksimal  $\varphi$  uten at stigen glir? ( $\varphi_e$  = "kappa")

$$\sum F_x = 0 \Rightarrow f = N_A \quad (1)$$

$$\sum F_y = 0 \Rightarrow N_B = (m+M)g \quad (2)$$

$$\sum \tau_B = 0 \Rightarrow mg \frac{L}{2} \cos\varphi + Mg \varphi e L \cos\varphi - N_A L \sin\varphi = 0 \quad (3)$$

$$\text{Dessuten: } f_{\max} = \mu_s N_B \quad (4)$$

$$\text{Fra (3): } N_A = (m/2 + \varphi e M)g / \tan\varphi$$

$$\text{Kombinert med (1), (2) og (4): } m/2 + \varphi e M \leq \mu_s (m+M) \tan\varphi$$

$$\text{Dermed: } \varphi_{\min} = \arctan \left\{ \frac{m/2 + \varphi e M}{(m+M)\mu_s} \right\}$$

$$\varphi_{\max} = \frac{m+M}{M} \mu_s \tan\varphi - \frac{m}{2M}$$

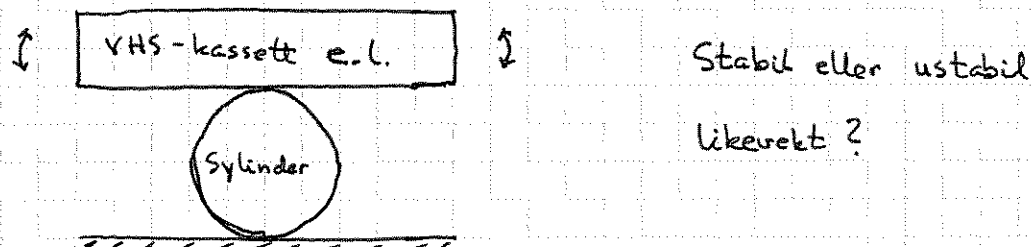
Eksempel, tallverdier:  $M = 70 \text{ kg}$ ,  $m = 5 \text{ kg}$ ,  $\mu_s = 0.3$

(95)

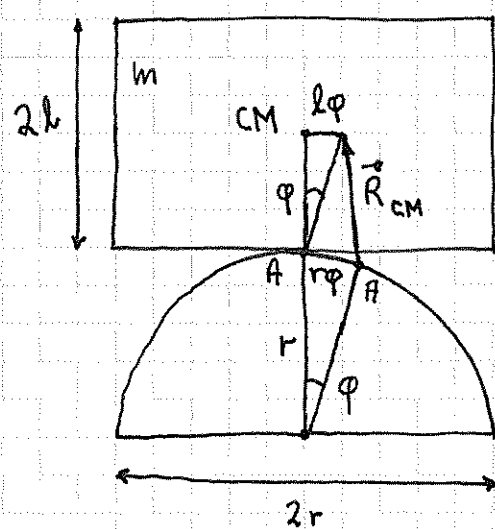
- Hvis  $\vartheta_e = 3/4$ :  $\varphi_{\min} = \arctan \left\{ \frac{5/2 + 70 \cdot 3/4}{75 \cdot 3/10} \right\} \approx 68^\circ$
- Hvis  $\varphi = 45^\circ$ :  $\vartheta_{\max} = \frac{75}{70} \cdot \frac{3}{10} \cdot 1 - \frac{5}{140} \approx 0.29$

Kommentar: Hvis  $\mu_s > 0$  mellom vegg og stige, (og det er den jo!) blir problemet ubestemt. Ekstra ligning  $\sum \tau_A = 0$  gir intet nytt (prøv selv!), så vi har da 4 ukjente ( $f_A, f_B, N_A, N_B$ ) men bare 3 ligninger. Må betrakte stigen som "ikke-perfekt" stort legeme (dvs elastisk) for å komme i mål.

### Eks 2: Balansering på sylinder



Kort argument:

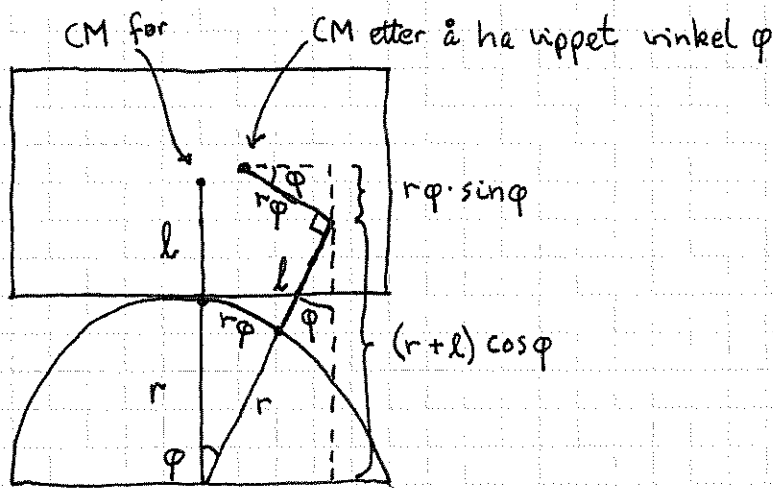


Når kassetten nippes en (lite) vinkel  $\varphi$ , flyttes CM (ca) horisontalt  $l\varphi$ , mens kontaktpunktet A flyttes (ca) horisontalt  $r\varphi$ .

Stabil likevekt hvis  $l\varphi < r\varphi$ , dvs  $l < r$ , fordi dreiemomentet  $\vec{\tau}_A = \vec{R}_{CM} \times \vec{mg}$

da gir rotasjon tilbake mot likevekt.

Alternativ løsning med energibetrakninger:



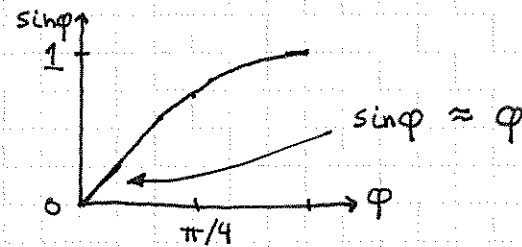
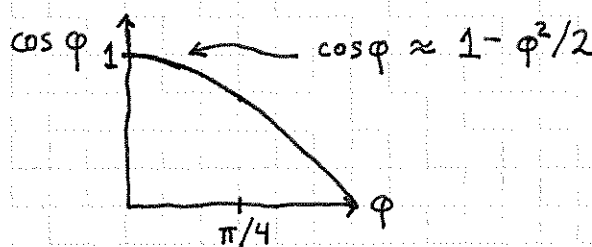
$$\text{CM før: } h_i = r + l$$

$$\text{CM etter: } h_f = (r + l) \cos \varphi + r \varphi \sin \varphi = h(\varphi)$$

$\Rightarrow$  Kassettenes potensielle energi: (Velger  $U=0$  ved  $\varphi=0$ .)

$$U(\varphi) = mg h_f - mg h_i = mg \{ (r+l)(\cos \varphi - 1) + r \varphi \sin \varphi \}$$

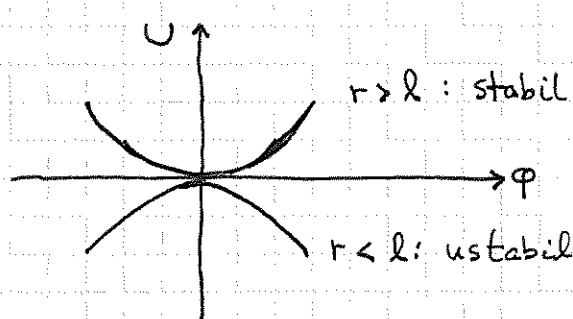
For små vinkler  $\varphi$  (dvs  $\varphi \ll 1$ ):



[Jf Taylorrekker; se også Rottmann.]

$$\Rightarrow U(\varphi) \approx mg \{ (r+l)(-\varphi^2/2) + r \varphi \cdot \varphi \} = mg \varphi^2 \left\{ -\frac{r}{2} - \frac{l}{2} + r \right\}$$

$$= \frac{1}{2} mg (r - l) \varphi^2$$



Hvis  $r > l$ , vil kassetten

kippe fram og tilbake omkring likevekt  $\varphi=0$ .

Vi har en harmonisk oscillator!

# Svingninger [YF 14, LL 9]

97

Svingninger = Oscillasjoner = periodisk oppførsel omkring en likevektsposisjon

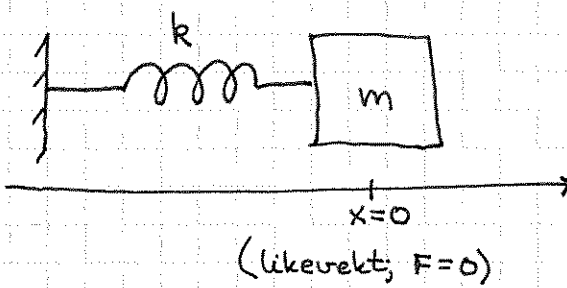
[Kommentar: Bolger er svingninger som forplanter seg i rommet. FY1002, TFY4160]

Eksempler: Pendel (klokke, huske,...); Gitarstreng; Tidevann; Avstanden mellom jorda og sola; Vibrerende atomer i molekyler og faste stoffer; .....

## Enkel harmonisk svingning

[YF 14.2, LL 9.1-9.3]

[Kjent fra R2, VGS]



$$\vec{F} = -kx \hat{x} \quad (\text{Hooke's law})$$

$x$  = utsving fra likevekt

$k$  = fjærkonstant  
(se s. 38)

N2 horisontalt (anta friksjonsfritt underlag, evt.  $mg \ll kx$ )

$$-kx = m\ddot{x} \Rightarrow \ddot{x} + \frac{k}{m}x = 0$$

Innfører  $\omega^2 = k/m$

$$\ddot{x} + \omega^2 x = 0$$

1D harmonisk oscillator

Ser at både  $\sin \omega t$  og  $\cos \omega t$  er løsning:

$$\frac{d^2}{dt^2}(\sin \omega t) = -\omega^2 \sin \omega t; \quad \frac{d^2}{dt^2}(\cos \omega t) = -\omega^2 \cos \omega t$$

$\Rightarrow$  Generell svingning er:  $x(t) = B \cos \omega t + C \sin \omega t$

$$\text{evt. } x(t) = A \cos(\omega t + \varphi)$$

[Identiske hvis  $B = A \cos \varphi$  og  $C = -A \sin \varphi$ , sjekk selv!]

## Størrelser og begreper:

$A = \text{amplituden} = \max \text{ utspring}$

$\omega = \text{vinkelfrekvens} = \text{vinkelhastighet} \quad [\omega] = \text{s}^{-1}$

$T = 2\pi/\omega = \text{perioden} = \text{tid pr svingning} \quad [T] = \text{s}$

$f = 1/T = \text{frekvensen} = \text{antall svingninger pr tidsenhet} \quad [f] = \text{Hz}$

$wt + \varphi = \text{svingningens fase}$

$\varphi = \text{fasekonstanten} \quad [\varphi] = 1$

14.11.11

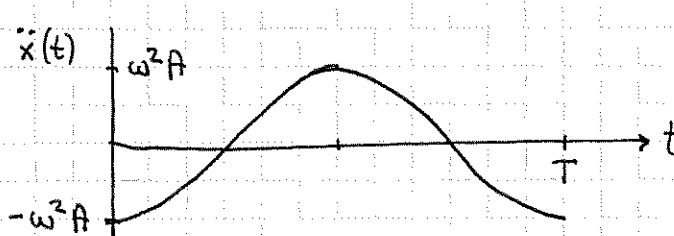
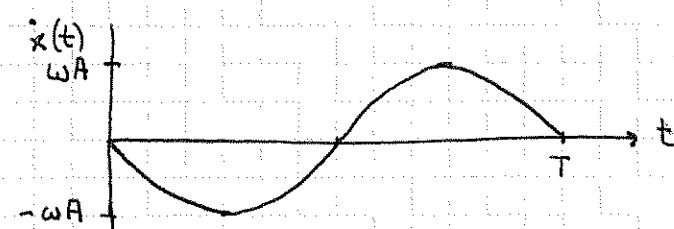
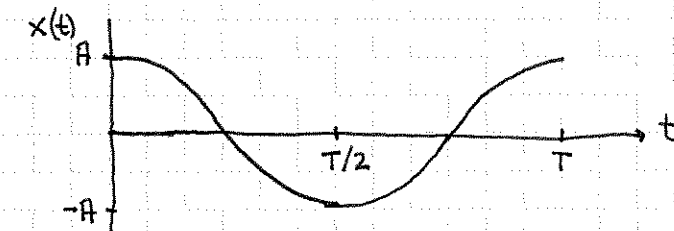
16.11.11

Fra  $x(t) = A \cos(\omega t + \varphi)$  finner vi lett  $\dot{x}(t)$  og  $\ddot{x}(t)$ :

$$\dot{x}(t) = -\omega A \sin(\omega t + \varphi)$$

$$\ddot{x}(t) = -\omega^2 A \cos(\omega t + \varphi) = -\omega^2 x(t)$$

Grafisk, med valget  $\varphi = 0$ :



$$\dot{x}(t) = \omega A \cos(\omega t + \varphi + \pi/2)$$

$\Rightarrow \dot{x}(t)$  faseforskjøvet  $\pi/2$

i forhold til  $x(t)$

$$\ddot{x}(t) = \omega^2 A \cos(\omega t + \varphi + \pi)$$

$\Rightarrow \ddot{x}$  faseforskjøvet  $\pi/2$  i

forhold til  $\dot{x}$  og  $\pi$  i

forhold til  $x$

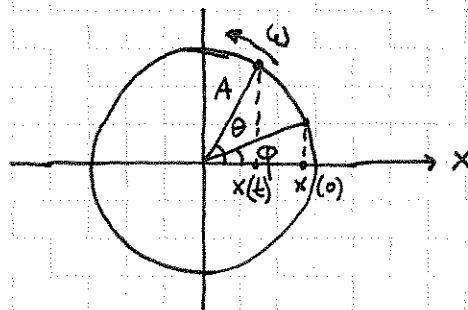
Kjennskap til to initialbetingelser, f.eks.  $x(0)$  og  $\dot{x}(0)$ , fastlegger  $A$  og  $\varphi$ :

$$x(0) = A \cos \varphi, \quad \dot{x}(0) = -\omega t \sin \varphi \Rightarrow \dot{x}(0)/\omega = -A \sin \varphi$$

$$\Rightarrow x(0)^2 + \dot{x}(0)^2/\omega^2 = A^2 \Rightarrow A = \sqrt{x(0)^2 + \dot{x}(0)^2/\omega^2}$$

$$\text{og } \tan \varphi = - \frac{\dot{x}(0)/\omega}{x(0)} \Rightarrow \varphi = -\arctan \left\{ \frac{\dot{x}(0)}{\omega x(0)} \right\}$$

Vi kan assosiere 1D harm. osc. med sirkelbevegelse:



$$\theta(t) = \omega t + \varphi = \text{fasen}$$

$A$  = amplituden

$$x(t) = A \cos \theta(t) = A \cos(\omega t + \varphi)$$

Energi betraktninger [YF 14.3, LL 9.4] (se også s. 38)

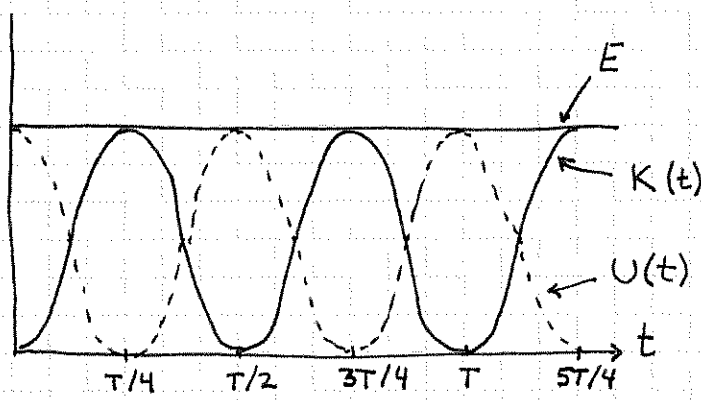
$$K(t) = \frac{1}{2} m \dot{x}(t)^2 = \frac{1}{2} \underbrace{m \omega^2 A^2 \sin^2(\omega t + \varphi)}_{=k} = \frac{1}{2} k A^2 \sin^2(\omega t + \varphi)$$

$$U(t) = \frac{1}{2} k x(t)^2 = \frac{1}{2} k A^2 \cos^2(\omega t + \varphi)$$

$$\text{Husk: } U = - \int_0^x \vec{F} \cdot d\vec{l} = - \int_0^x (-kx) \cdot dx = \frac{1}{2} k x^2; \text{ se s. 38}$$

$$\text{Total energi: } E = K + U = \frac{1}{2} k A^2 = \frac{1}{2} m \omega^2 A^2 = \text{konst.}$$

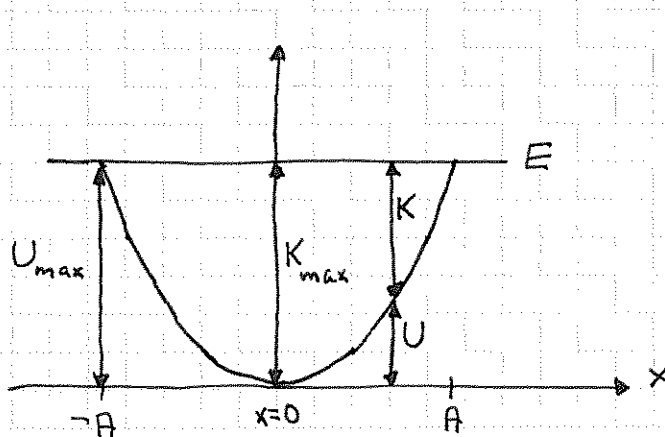
Vi har et konservativt system, og energien  $E$  er bevart.  
(se s 31-39)



Energien "pendler"  
mellan kinetisk og  
potensiell.

$$K_{\max} = U_{\max} = E$$

$$K_{\min} = U_{\min} = 0$$



$$\begin{aligned} \vec{F} &= -\nabla U = -\hat{x} \frac{dU}{dx} \\ &= -\hat{x} \frac{d}{dx} \left( \frac{1}{2} kx^2 \right) = -kx \hat{x}; \text{ OK!} \end{aligned}$$

Kjennetegn for harm. osc:

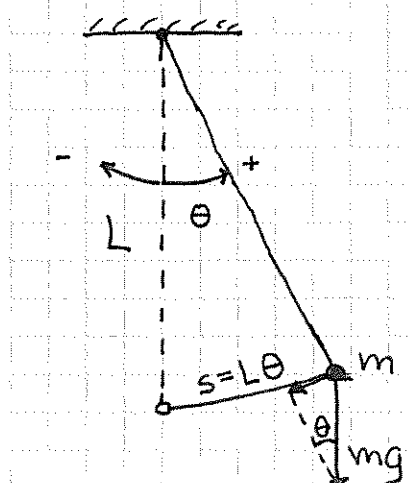
- $F$  prop. med utsving fra likevekt ( $F = -kx = -m\omega^2 x$ )
- $U$  prop. med kvadratet av utsvinget ( $U = \frac{1}{2} m\omega^2 x^2$ )
- Beregning:  $\ddot{x} + \omega^2 x = 0$
- "Utsving" kan være lengde, vinkel, temperatur, trykk osv.

Vi ser på et par eksempler!

# Eks 1: Matematisk pendel (jf. Foucault-pendelen)

101

[YF 14.5, LL 9.6]



Tyngdens komponent langs sirkelbuen:

$$-mg \sin \theta$$

N2

$$\Rightarrow -mg \sin \theta = m\ddot{s} = mL\ddot{\theta}$$

$$\Rightarrow \ddot{\theta} + \frac{g}{L} \sin \theta = 0$$

Anta små utsving,  $\theta \ll 1$ :  $\sin \theta \approx \theta$

$$\Rightarrow \ddot{\theta} + \frac{g}{L} \theta = 0$$

Dette er lign. for harm. osc., med  $\omega = \sqrt{g/L}$ ,  $T = 2\pi\sqrt{L/g}$ .

Løsning:  $\theta(t) = \theta_0 \cos(\omega t + \varphi)$ ;  $\theta_0$  = amplitude

Demo med  $L = 1\text{ m}$  gir  $T \approx 2\text{ s}$ , som stemmer bra

med  $2\pi\sqrt{1/9.8} \approx 2\text{ s}$ .

Vi ser at vi alternativt kunne ha brukt N2 for rotasjon  
(om festepunktet i taket):

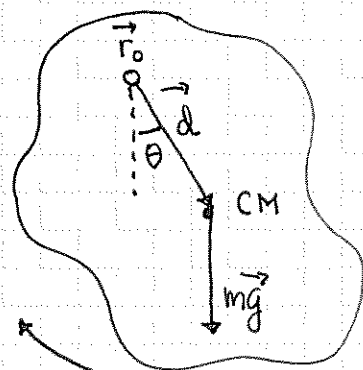
$$\tau = I\alpha = I\ddot{\theta}, \quad \text{med } I = mL^2 \quad \text{og}$$

$$\vec{\tau} = \vec{L} \times \vec{mg}; \quad \tau = -L \cdot mg \cdot \sin \theta \approx -L \cdot mg \cdot \theta$$

(Fortegn:  $\theta > 0 \Rightarrow \tau$  som gir rotasjon/swinging med klokka)

## Eks 2: Fysisk pendel [YF 14.6, LL 9.6]

Stort legeme, masse  $m$ , svinger om akse gjennom  $\vec{r}_o$ , treghetsmoment  $I$  mhp denne aksen:



$$\tau = I \ddot{\theta}$$

$$|\vec{\tau}| = |\vec{d} \times \vec{mg}| = mgd \sin \theta$$

$$\theta > 0 \Rightarrow \tau < 0 \Rightarrow \tau = -mgd \sin \theta$$

$$\Rightarrow -mgd \cdot \sin \theta = I \ddot{\theta}$$

$$\Rightarrow \ddot{\theta} + \frac{mgd}{I} \sin \theta = 0$$

$$\theta \ll 1 \Rightarrow \sin \theta \approx \theta \Rightarrow \ddot{\theta} + \omega^2 \theta = 0 \text{ med } \omega = \sqrt{mgd/I}$$

Kontroll av resultat: Bør få matematisk pendel hvis vi lar stort legeme  $\rightarrow$  punktmasse  $m$  i CM:

$$I = m \cdot d^2 \Rightarrow \omega = \sqrt{g/d}, \text{ OK!}$$

## Eks 3: Swingende trefjøl

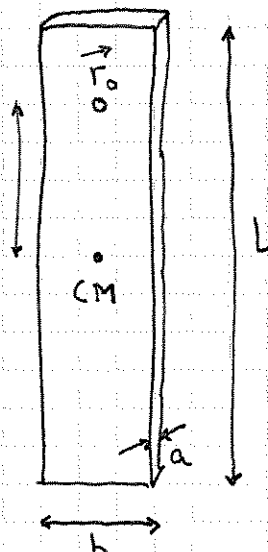
$$L = 942 \text{ mm}, b = 53 \text{ mm}, a = 8 \text{ mm}$$

Trefjøl svinger om akse gjennom  $\vec{r}_o$ , i avstand  $x$  fra CM.

$$I(x) = \frac{1}{12} m (L^2 + b^2) + m x^2$$

$$T(x) = 2\pi \sqrt{(L^2/12 + b^2/12 + x^2)/gx}$$

Se øving 12, oppgave 3.



Demo gir  $T(x=15 \text{ mm}) \approx 4 \text{ s}$  og

$$T(x=272 \text{ mm}) \approx 1.5 \text{ s.}$$

## Dempede svingninger [YF 14.7, LL 9.7]

Har i praksis alltid noe friksjon, slik at fri svingninger dempes.

Eks: 1) Langsom bevegelse i fluid (gass, væske):

$$\text{Friksjonskraft } f \xrightarrow{\rightarrow} = -b \cdot \dot{x} \cdot \hat{x}; \quad b = \text{dempingskonstant}$$

$$2) \text{Rask bevegelse i fluid: } \vec{f} \xrightarrow{\rightarrow} = -D \dot{x}^2 \hat{x} \quad (\text{turbulens})$$

$$3) \text{Torr friksjon: } \vec{f} \xrightarrow{\rightarrow} = -\mu_k N \hat{v}$$

Vi antar her tilfelle 1), og N2 blir  $-kx - b\dot{x} = m\ddot{x}$ , dvs

$$m\ddot{x} + b\dot{x} + kx = 0$$

Løsningen  $x(t)$  avhenger av om vi har svak ( $(b/2m)^2 < k/m$ )

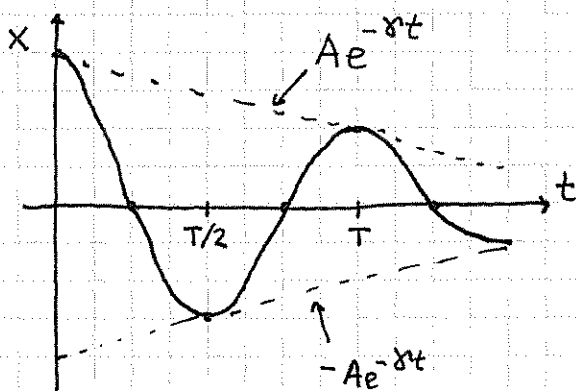
eller sterkt ( $(b/2m)^2 > k/m$ ) demping.

Svak demping ("underkritisk"):  $(b/2m)^2 < k/m$

$$x(t) = A e^{-\gamma t} \sin(\omega t + \varphi)$$

$$\text{der } \gamma \equiv b/2m \text{ og } \omega \equiv \sqrt{\omega_0^2 - \gamma^2}; \quad \omega_0^2 \equiv k/m$$

Som vanlig må A og  $\varphi$  fastlegges med kjennskap til to initialbetingelser, f.eks.  $x(0)$  og  $\dot{x}(0)$ .



Merk:

- Redusert frekvens pga demping:

$$\omega = \sqrt{\omega_0^2 - \gamma^2} < \omega_0$$

- Max utsning avtar eksponentielt,  $A e^{-\gamma t}$

Sterk demping ("overkritisk"):  $(b/2m)^2 > k/m$

104

$$x(t) = Ae^{-t/\tau_1} + Be^{-t/\tau_2}$$

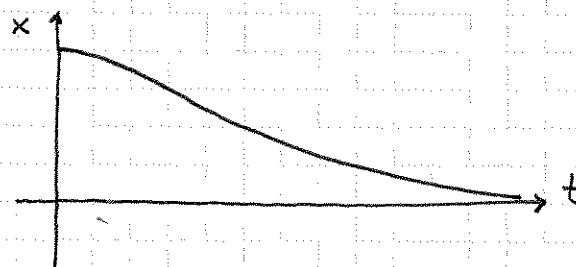
$$\tau_1 = \left\{ +\gamma + \sqrt{\gamma^2 - \omega_0^2} \right\}^{-1}, \quad \tau_2 = \left\{ +\gamma - \sqrt{\gamma^2 - \omega_0^2} \right\}^{-1}$$

med  $\gamma = b/2m$  og  $\omega_0 = \sqrt{k/m}$  som på s. 103. Huføres nå

$\gamma = \sqrt{\gamma^2 - \omega_0^2}$ , kan dette skrives slik:

$$x(t) = e^{-\gamma t} (Ae^{-\alpha t} + Be^{\alpha t})$$

Også her fastlegges de ubestemte integrasjonskonstantene, A og B, med hjernskap til f.eks.  $x(0)$  og  $\dot{x}(0)$ .



Merk:

- Ingen svingninger her.

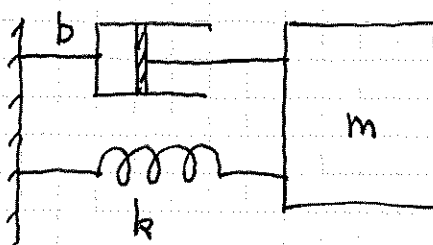
Hvis  $(b/2m)^2 = k/m$ , dvs  $\gamma = \omega_0$ , har vi såkalt kritisk demping.

Støtdempere i biler er nær kritisk damped.

### Tunge svingninger og resonans [YF 14.8, LL 9.9]

Hvis en ytre kraft  $F_y(t)$  virker på oscillatoren, får vi

tunge svingninger. Vi antar  $F_y = F_0 \cos \omega t$ :



$$F_0 \cos \omega t$$

Merk: Her er  $\omega$

frekvensen til den

ytre kraften, dvs

vi "velger"  $\omega$

selv.

$$N2 \text{ blir: } -kx - bx + F_0 \cos \omega t = m\ddot{x}$$

(105)

$$\Rightarrow m\ddot{x} + bx + kx = F_0 \cos \omega t$$

$$\text{Løsning: } x(t) = A(\omega) \sin(\omega t + \varphi(\omega)) + x_h(t)$$

der  $x_h(t)$  er løsningen uten  $F_0(t)$  (h for "homogen", dvs null på høyre side av diff. ligningen), dvs  $x_h(t)$  er løsningen på s. 103 (hvis svak demping) eller s. 104 (hvis sterk demping).

Vansett:  $x_h(t) \rightarrow 0$  hvis vi bare venter en stund!

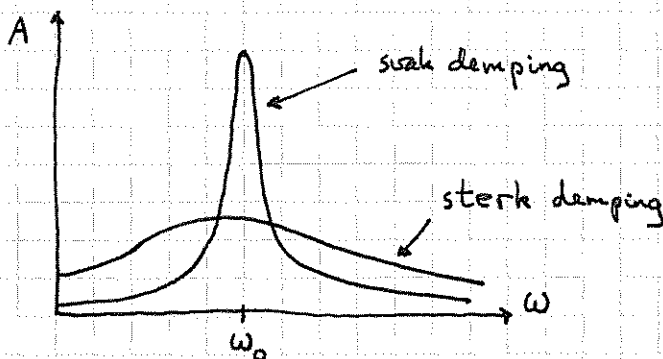
Vi antar at vi har fått  $F_0(t)$  virke på m tilstrekkelig lenge til at  $x_h(t) \approx 0$ . Da er

$$x(t) = A(\omega) \sin(\omega t + \varphi(\omega))$$

med frekvensavhengig amplitud

$$A(\omega) = \frac{F_0/m}{\sqrt{(\omega^2 - \omega_0^2)^2 + b^2 \omega^2 / m^2}} \quad (\omega_0^2 = k/m)$$

Resonans: Hvis  $\omega \approx \omega_0$ , blir A stor, og vi har resonans.

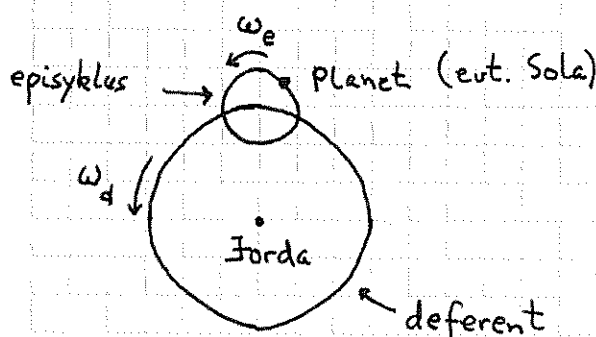


Merk at  $A(\omega_0) \rightarrow \infty$  hvis  $b \rightarrow 0$ .

Hitt 21.11.11

## Kort historikk:

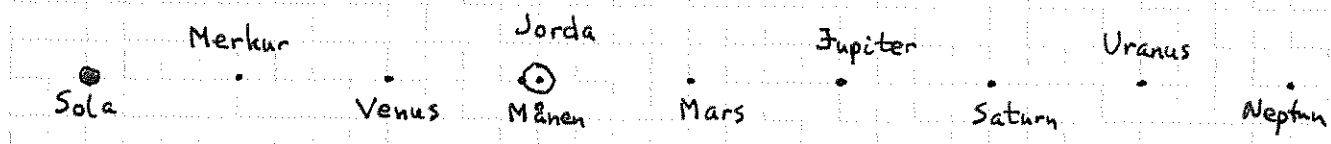
- Claudius Ptolemaeus (90-168). Romersk-egyptisk matematiker og astronom. Geosentrisk modell: Jorda i sentrum.



Rekkefølge (utover): Månen - Merkur - Venus - Sola - Mars - Jupiter - Saturn - Fixstjernene -  
"Sphere of prime mover"

- Nicolaus Copernicus (1473-1543). Polsk matematiker og astronom. Heliocentrisk modell: Sola i sentrum.

Fortsatt sirkulære baner, inklusive episykler.



Kontroversielt tema på denne tiden!

Behov for nøyaktige observasjoner!

- Tycho Brahe (1546-1601). Dansk adelsmann og astronom.

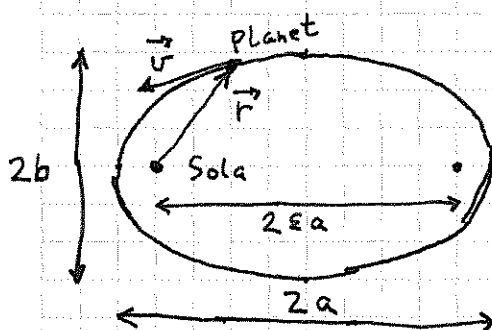
Malte posisjonen til planeter og stjerner med en nøyaktighet på  $\Delta\varphi \sim 1'$

$$(1' = 1 \text{ buemnutt} = \frac{1}{60} \text{ grad})$$

- Johannes Kepler (1571-1630). Tysk matematiker, astronom. Brahes assistent.  
Analyserte Brahes obserasjoner i en 20-årsperiode.  
Resultat: Keplers 3 lover (K1, K2, K3); se nedenfor.
- Isaac Newton (1642-1727). Engelsk fysiker, matematiker, astronom, teolog....  
Utledet sin universelle gravitasjonslov fra Keplers lover.  
Publisert i "Principia" i 1687.
- Albert Einstein (1879-1955). Tyskfødt fysiker, bodde i USA 1933-1955.  
1905: Spesiell relativitetsteori (SR)  
1916: Generell ————— (GR) = "SR + gravitasjon";  
en slags geometrisk gravitasjonssteori  
1921: Nobelpris i fysikk, priiset for sin teori for fotoelektrisk effekt

### Keplers lover [YF 13.5, LL 11.5]

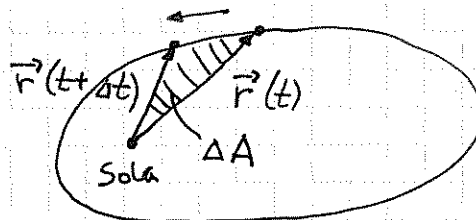
K1: Planetbanene er ellipseformede, med sola i det ene brennpunktet.



$$\text{Eksentrisitet: } \varepsilon = \sqrt{1 - (b/a)^2}$$

( $\varepsilon = 0$ : sirkel;  $\varepsilon = 1$ : rett linje)

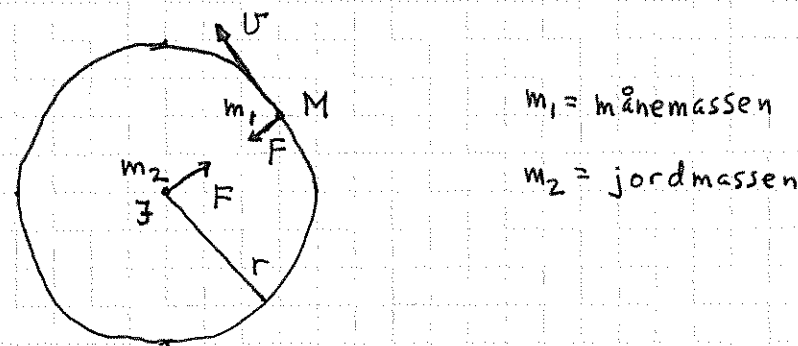
K2:  $\vec{F}(t)$  sveiper over konstant areal pr tidsenhet,  
 $dA/dt = \text{konst.}$  (Se s. 75;  $\vec{z} = 0 \Rightarrow \vec{l} = \text{konst.}$ )



K3:  $T^2/a^3 = \text{konst.}$  for alle planetene

Newton's gravitasjonslov [YF 13.1, LL 2.5, 11.1]

La oss "leke Newton" og bruke "være" lover N2 og N3 til å utlede formen på gravitasjonskraften  $F$ , med utg. punkt i Keplers lover. Vi antar sirkulær bane, som nesten er OK for månens bane rundt jorda ( $\epsilon \approx 0.055$ ):



- K2  $\Rightarrow \vec{l} = \text{konst.} \Rightarrow \vec{F} \sim -\hat{r}$
- Sirkel  $\Rightarrow F = m_1 \cdot v^2/r = m_1 \omega^2 r = m_1 \left(\frac{2\pi}{T}\right)^2 r$
- K3:  $T^2 = C \cdot a^3 = C \cdot r^3 \Rightarrow F = m_1 \cdot \frac{4\pi^2}{Cr^3} \cdot r = \frac{4\pi^2}{C} \cdot \frac{m_1}{r^2}$
- N3  $\Rightarrow F_{12} = F_{21} \Rightarrow F$  må også være prop. med  $m_2$
- Konklusjon:  $\boxed{\vec{F} = -G \frac{m_1 m_2}{r^2} \hat{r}}$  Gravitasjonsloven

Konstanten  $G$  (gravitasjonskonstanten) ble målt av Cavendish i 1798, og av dere på laben i 2011:

$$G \approx 6,674 \cdot 10^{-11} \text{ Nm}^2/\text{kg}^2$$

(Relativ usikkerhet pr i dag,  $\Delta G/G \approx 10^{-4}$ )

$\Rightarrow$  Tyngdekraft på Jordas overflate:

$$M = 5,974 \cdot 10^{24} \text{ kg} \quad (\text{jordas masse})$$

$$R = 6378 \text{ km} \quad (\text{jordradien})$$

~~$$\Rightarrow F = (GM/R^2) \cdot m = mg$$~~

$$\text{med } g = GM/R^2 \approx 9.81 \text{ m/s}^2$$

## Potensiell energi og gravitasjon [YF 13.3, LL 11.1]

Tyngdekraften er en konservertiv kraft (se s. 31).

$$U(\vec{r}) = - \int_{\vec{r}_0}^{\vec{r}} \vec{F} \cdot d\vec{r}, \text{ der vi velger } U=0 \text{ i } \vec{r}_0 \quad (\text{se s. 32})$$

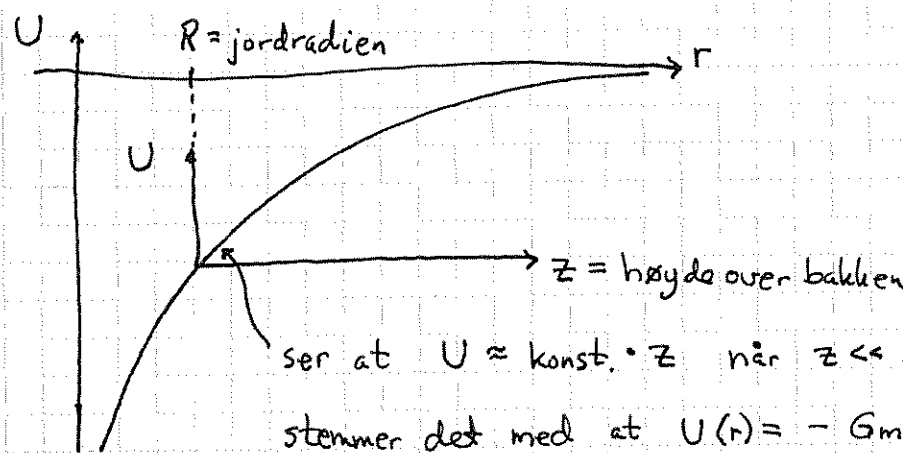
Her lar vi  $\vec{r}_0 \rightarrow \infty$ , dvs vi velger  $U(r=\infty) = 0$ ;

$$U(r) = - \int_{\infty}^r \underbrace{(-GmM/r^2)}_{\vec{F}} \cdot \underbrace{d\vec{r}}_{\vec{dr}}$$

$$= GmM \int_{\infty}^r \frac{dr}{r^2} = GmM \left| \frac{-1}{r} \right|_{\infty}^r$$

$$= - \frac{GmM}{r}$$

= pot. energi for to masser  $m$  og  $M$  i inbyrdes avstand  $r$



$$\text{Ja! } U(z) = -GmM \left\{ \frac{1}{R+z} - \frac{1}{R} \right\} \quad (\text{Velger nå } U=0 \text{ for } z=0)$$

$$= GmM \frac{R+z - R}{R(R+z)}$$

$$= GmM \frac{z}{R(R+z)} \underset{z \ll R}{\approx} GmM \frac{z}{R^2}$$

$$= m \cdot \frac{GM}{R^2} \cdot z = \underline{mgz} \quad \text{OK!!}$$

[Oppgave: Vis at feilen vi gjør ved å bruke  $U(z) = mgz$   
blir  $\Delta U/U = z/R$ .]

### Satellitter [YF 13.4]

Går ofte i (praktisk tatt) sirkulære baner  $\Rightarrow$  Ting blir enkelt!

$$\text{N2: } F = ma; \quad F = GmM/r^2 \quad \text{og} \quad a = v^2/r$$

$$\Rightarrow \frac{GmM}{r^2} = m \frac{v^2}{r}$$

$$\Rightarrow v = \sqrt{\frac{GM}{r}}$$

Geostasjonær bane:  $T = 24 \text{ h}$ , og satellitten er rett over samme sted  
på ekvator hele tiden. Da blir  $r = 42246 \text{ km}$ . (Se sving 13.)

## Energi:

$$E = K + U = \frac{1}{2}mv^2 + \left(-\frac{GmM}{r}\right) = \frac{1}{2}m \cdot \frac{MG}{r} - \frac{GmM}{r}$$

$$= -\frac{1}{2} \frac{mMG}{r} \quad (\text{Dvs: } K = -\frac{1}{2}U = -E)$$

## Potensial og felt [LL 11.1]

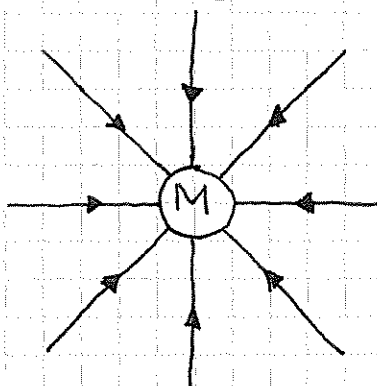
Generelle begreper, kommer med full styrke i elmag etc etc!

Feltstyrke  $\stackrel{\text{def}}{=}$  Kraft pr masseenhet:

$$\vec{g} = \lim_{m \rightarrow 0} \frac{\vec{F}}{m} = -\frac{MG}{r^2} \hat{r}$$

Dvs: M ("referansemassen") omgir seg med feltet  $\vec{g}$   
(avhengig om "testmassen" m er der eller ikke)

Visualisering av  $\vec{g}$  (et vektorfelt) med feltlinjer:



- retning på feltlinjene: tangentiell med  $\vec{g}$
- antall feltlinjer pr flateenhet er prop. med  $|\vec{g}|$

Potensial  $\stackrel{\text{def}}{=}$  Potensiell energi pr masseenhet:

$$V(r) = \lim_{m \rightarrow 0} \frac{U(r)}{m} = -\frac{MG}{r}$$

Dvs: M omgir seg med det skalare potensieltalet  $V(r)$

[Vi ser at  $V = \text{konst.}$  på kuleflater sentrent i sentrum av M;  
slike flater kalles, naturlig nok, elnpotensialflater.]

Sammenhengen mellom feltet  $\vec{g}$  og potensialet  $V$ :

Fra før har vi:

$$U(r) = - \int_{r_0}^r \vec{F} \cdot d\vec{r} \quad \text{og} \quad \vec{F} = -\nabla U$$

(s. 32) (s. 35)

Divisjon på begge sider av begge disse ligningene med konstanten  $m$  gir direkte:

$$V(r) = - \int_{r_0}^r \vec{g} \cdot d\vec{r} \quad \text{og} \quad \vec{g} = -\nabla V$$

Disse sammenhengene gjelder generelt for alle typer konservative krefter og felt, og tilhørende pot. energi og potensial.

Eksempel:

Kraft mellom to elektriske ladninger  $q$  og  $Q$  i innbyrdes avstand  $r$ :  $\vec{F} = (q \cdot Q / 4\pi\epsilon_0 r^2) \hat{r}$   
(der  $\epsilon_0$  er en naturkonstant)

$$\text{Elektrisk felt (fra referanseladning } Q\text{)}: \vec{E} = \frac{\vec{F}}{q} = \frac{Q}{4\pi\epsilon_0 r^2} \hat{r}$$

$$\text{Pot. energi for de to ladningene: } U(r) = \frac{qQ}{4\pi\epsilon_0 r}$$

$$\text{Potensial (omkring ref. ladn. } Q\text{)}: V(r) = \frac{Q}{4\pi\epsilon_0 r}$$

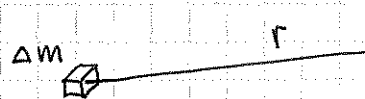
$$\text{Sammenhenger: } \vec{F} = -\nabla U, \quad \vec{E} = -\nabla V,$$

$$U(r) = - \int_{r_0}^r \vec{F} \cdot d\vec{r}, \quad V(r) = - \int_{r_0}^r \vec{E} \cdot d\vec{r}$$

Mye mer om dette i FY1003 / TFY4155!

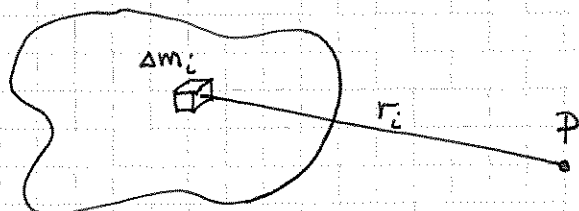
# Potensial og felt fra massefordelinger [YF 13.6, LL 11.2]

Potensial fra liten masse  $\Delta m$ :



$$\Delta V(r) = -\frac{G \cdot \Delta m}{r}$$

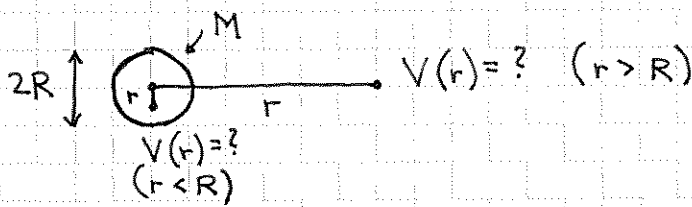
Potensial fra massefordeling:



$V_p$  = potensial i punkt P

$$V_p = \sum_i V_p^i = -G \sum_i \frac{\Delta m_i}{r_i} \xrightarrow{\Delta m_i \rightarrow 0} -G \int \frac{dm}{r}$$

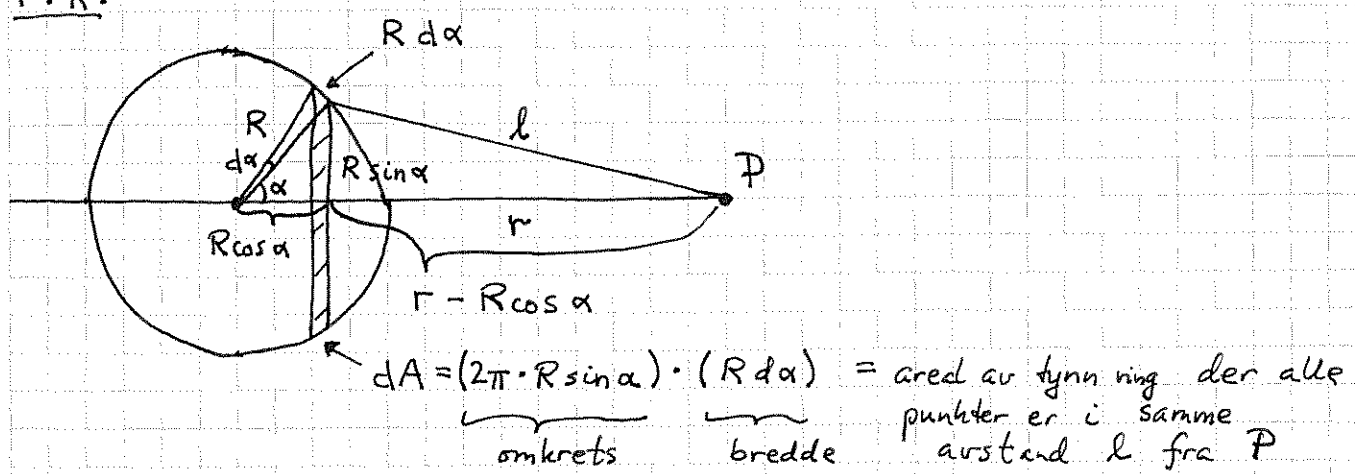
Eks 1: Kuleskall



$$V(r) = ? \quad (r > R)$$

$$V(r) = ? \quad (r < R)$$

r > R:



$$\text{Pythagoras} \Rightarrow \ell^2 = (R \sin \alpha)^2 + (r - R \cos \alpha)^2$$

$$= R^2 \sin^2 \alpha + r^2 - 2rR \cos \alpha + R^2 \cos^2 \alpha$$

$$= R^2 + r^2 - 2rR \cos \alpha$$

Bidrag til  $V$  i punktet  $P$  fra symmetri:

$$\delta V = -G \frac{dm}{l} ; \quad dm/M = dA/A = 2\pi R \sin\alpha \cdot R d\alpha / 4\pi R^2 \\ = \frac{1}{2} \sin\alpha d\alpha$$

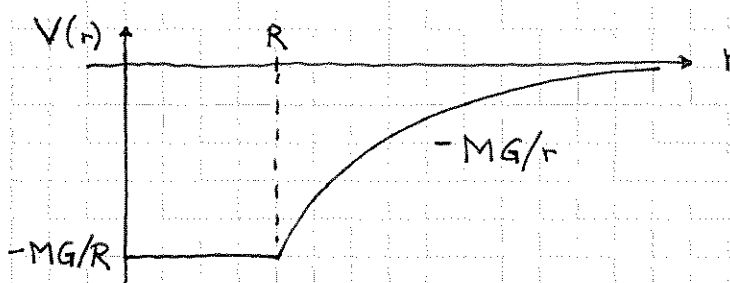
Totalt potensial i  $P$ :

$$V(r) = \int \delta V = -G \int \frac{dm}{l} = -\frac{MG}{2} \int_0^\pi \frac{\sin\alpha d\alpha}{\sqrt{R^2 + r^2 - 2rR \cos\alpha}} \\ = -\frac{MG}{2rR} \int_0^\pi \frac{\sqrt{R^2 + r^2 + 2rR} - \sqrt{R^2 + r^2 - 2rR}}{rR} d\alpha \\ = -\frac{MG}{2rR} \left\{ (R+r) - (r-R) \right\} = -\frac{MG}{r}$$

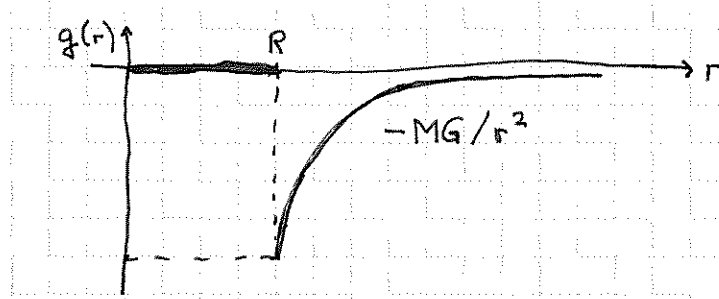
$r < R$ :

Alt blir som for  $r > R$ , bortsett fra at  $\sqrt{R^2 + r^2 - 2rR} = R - r$ ,

slik at  $V(r) = \dots = -\frac{MG}{2rR} \left\{ (R+r) - (R-r) \right\} = -\frac{MG}{R}$

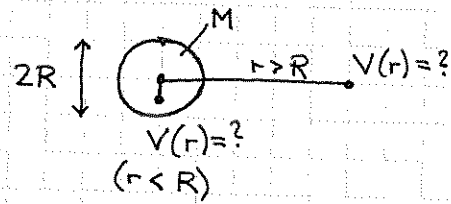


Feltet:  $\vec{g}(r) = -\nabla V(r) = -\hat{r} \frac{dV}{dr} = \begin{cases} 0 & ; r < R \\ -\hat{r} \frac{MG}{r^2} & ; r > R \end{cases}$



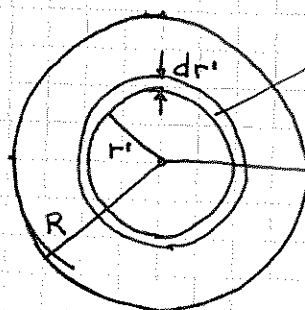
## Eks 2: Kompakt kule

115



Strategi: Del opp kula i tynne kuleskall, bruk resultat fra Eks 1, og integrer.

$r > R$ :



(volum!)

$$dV' = 4\pi r'^2 \cdot dr'$$

$$\begin{aligned} \frac{dm'}{M} &= \frac{dV'}{V'} = \frac{4\pi r'^2 dr'}{\frac{4}{3}\pi R^3} \\ &= \frac{3}{R^3} r'^2 dr' \end{aligned}$$

Bidrag fra tynt kuleskall til potensialet i  $P$ :

$$dV = -G \frac{dm'}{r} = -\frac{3MG}{rR^3} r'^2 dr'$$

Totalt potensial i  $P$ :

$$V(r) = \int dV = -\frac{3MG}{rR^3} \int_0^R r'^2 dr' = -\frac{3MG}{rR^3} \cdot \frac{1}{3}R^3 = -\frac{MG}{r}$$

$r < R$ :

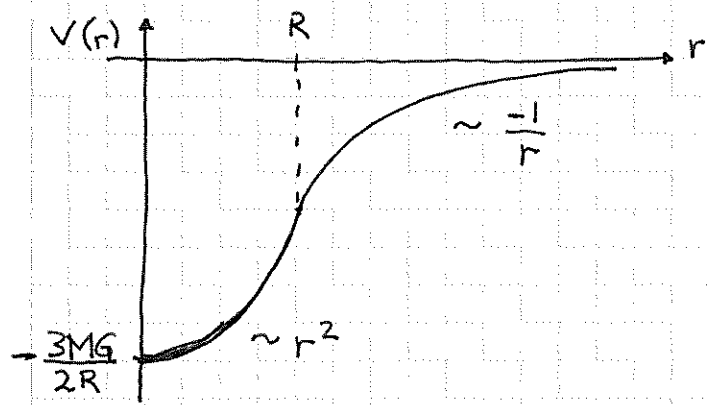
For tynne kuleskall med radius  $r' < r$ :  $dV = -\frac{G \cdot dm'}{r}$

$$r' > r : dV = -\frac{G \cdot dm'}{r'}$$

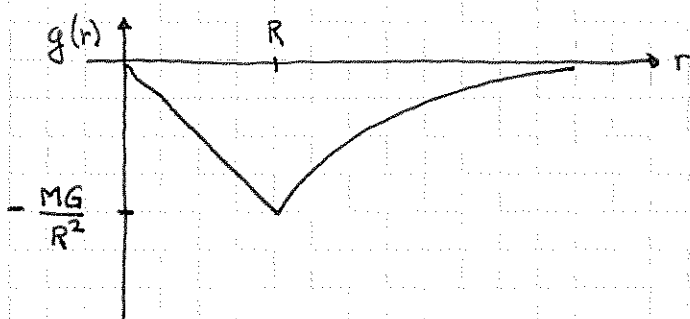
$$\Rightarrow V(r) = -\frac{3MG}{R^3} \left\{ \int_0^r \frac{r'^2 dr'}{r} + \int_r^R \frac{r'^2 dr'}{r'} \right\}$$

$$= -\frac{3MG}{R^3} \left\{ \frac{1}{3}r^2 + \frac{1}{2}R^2 - \frac{1}{2}r^2 \right\}$$

$$= -\frac{3MG}{2R} \left\{ 1 - \frac{r^2}{3R^2} \right\}$$



Feltet:  $\vec{g}(r) = -\nabla V(r) = -\hat{r} \frac{dV}{dr} = \begin{cases} -\hat{r} \frac{MGr}{R^3}; & r < R \\ -\hat{r} \frac{MG}{r^2}; & r > R \end{cases}$



$\Rightarrow$  Kraft på masse m ved  $r = R$ :

$$\vec{F}(r=R) = m \cdot \vec{g}(R) = -\hat{r} MmG / R^2,$$

Som om hele massen M var plassert i sentrum av kula!

[ Denne antagelsen har vi da også gjort "hele tiden"

for tyngdekraften på en masse m på jordoverflaten,

$$\vec{F} = m\vec{g} \text{ med } g = 9.81 \text{ m/s}^2.$$

Hitt 28.11.11